

МІНІСТЕРСТВО ОСВІТИ І НАУКИ УКРАЇНИ  
КРИВОРІЗЬКИЙ НАЦІОНАЛЬНИЙ УНІВЕРСИТЕТ  
ФАКУЛЬТЕТ МЕХАНІЧНОЇ ІНЖЕНЕРІЇ ТА ТРАНСПОРТУ  
КАФЕДРА ТЕХНОЛОГІЙ МАШИНОБУДУВАННЯ

## КВАЛІФІКАЦІЙНА БАКАЛАВРСЬКА РОБОТА

зі спеціальності 131 – Прикладна механіка

на тему: Конструкторсько-технологічна підготовка виготовлення деталі «Вал-шестерня» редуктору екскаватора та обґрунтування параметрів надійності процесу за допомогою CAD/CAM/CAE систем

Виконав: здобувач  
групи ПМ-20  
Журавель О. Г.  
Керівник випускної роботи:  
к.т.н., доцент  
Цивінда Н. І.

Кривий Ріг  
2024 р.

МІНІСТЕРСТВО ОСВІТИ І НАУКИ УКРАЇНИ  
КРИВОРІЗЬКИЙ НАЦІОНАЛЬНИЙ УНІВЕРСИТЕТ  
ФАКУЛЬТЕТ МЕХАНІЧНОЇ ІНЖЕНЕРІЇ ТА ТРАНСПОРТУ  
КАФЕДРА ТЕХНОЛОГІЙ МАШИНОБУДУВАННЯ

## ПОЯСНЮВАЛЬНА ЗАПИСКА ДО КВАЛІФІКАЦІЙНОЇ БАКАЛАВРСЬКОЇ РОБОТИ

зі спеціальності 131 – Прикладна механіка

на тему: Конструкторсько-технологічна підготовка виготовлення деталі «Вал-шестерня» редуктору екскаватора та обґрунтування параметрів надійності процесу за допомогою CAD/CAM/CAE систем

Виконав здобувач гр. ПМ-20

\_\_\_\_\_  
(підпис)

Журавель О.Г.

Керівник КБР

\_\_\_\_\_  
(підпис)

Цивінда Н.І.

Нормоконтроль

\_\_\_\_\_  
(підпис)

Рязанцев А.О.

Завідувач кафедри

\_\_\_\_\_  
(підпис)

Нечаєв В.П.

м. Кривий Ріг  
2024 р.

Криворізький національний університет  
Факультет: механічної інженерії та транспорту  
Кафедра: технології машинобудування  
Ступінь вищої освіти: бакалавр  
Спеціальність: 131 Прикладна механіка

Затверджую  
Зав. кафедри доцент, к.т.н., Нечаєв В.П.

\_\_\_\_\_  
(підпис)

\_\_\_\_\_  
(дата)

## ЗАВДАННЯ на кваліфікаційну бакалаврську роботу

Здобувач гр. ПМ-20 Журавель Олександр Григорович

**1. Тема:** Конструкторсько-технологічна підготовка виготовлення деталі «Вал-шестерня» редуктору екскаватора та обґрунтування параметрів надійності процесу за допомогою CAD/CAM/CAE систем

Керівник проекту: доц., к.т.н. Цивінда Н.І.

Затверджена наказом по КНУ № 253с від « 08 » 04 2024 р.

**2. Термін подання здобувачем закінченої роботи \_\_\_\_\_ р.**

**3. Вихідні дані до роботи:** 1. Найменування вузла. 2. Креслення деталі «Вал-шестерня». 3. Річна програма випуску деталей

**4. Зміст пояснювальної записки:** 1 Аналіз службового призначення машини, вузла, 2 Аналіз службового призначення деталі. Опис конструктивних особливостей, 3 Аналіз службового призначення деталі, 4 Вибір ріжучих та допоміжних інструментів за міжнародними стандартами, 5 Проектування спеціального інструменту, 6 Розрахунок спеціального інструменту в САЕ системі SolidWorks, 7 Моделювання та проектування операції механічної обробки, 8 Організаційно-економічна підготовка виробництва

**5. Перелік графічного матеріалу:** 1. Вал-шестерня, 2. Інструментальне налагодження, 3. Дискова модульна фреза, 4. Моделювання процесу обробки, 5. Інженерний аналіз спеціального різального інструменту, 6. Розробка пристосування для фрезерної операції

### 6. Календарний план:

№ з/п	Етапи виконання кваліфікаційної роботи бакалавра	Термін виконання
1.	Розробка та узгодження технічного завдання	08.04
2.	Аналіз службового призначення машини, вузла	
3.	Проектування технологічного процесу складання	
4.	Службове призначення деталі. Вибір матеріалу і варіанти замін	

5.	Аналіз службового призначення деталі. Опис конструктивних особливостей деталі та умов її експлуатації
6.	Аналіз якості поверхонь деталі
7.	Технічний контроль робочого креслення
8.	Аналіз службового призначення деталі
9.	Якісний аналіз технологічності
10.	Кількісний аналіз технологічності
11.	Вибір діючого заводського чи типового технологічного процесу. Задачі проектування
12.	Вибір та економічне обґрунтування способу отримання заготовки
13.	Проектування заготовки
14.	Вибір і обґрунтування баз
15.	Розробка маршрутно-операційної технології обробки деталі
16.	Розробка технологічних операцій
17.	Вибір розмірів і припусків на обробку
18.	Розрахунок режимів різання
19.	Вибір ріжучих та допоміжних інструментів за міжнародними стандартами
20.	Проектування спеціального інструменту
21.	Розрахунок спеціального інструмента в САЕ системі SolidWorks
22.	Моделювання та проектування операції механічної обробки
23.	Організаційно-економічна підготовка виробництва
24.	Попередній захист

**Дата видачі завдання:** «\_\_\_\_» 2024 р.

Завдання видав керівник КБР \_\_\_\_\_ / Цивінда Н.І./

Завдання отримав  
здобувач освіти \_\_\_\_\_ /Журавель О.Г./

## РЕФЕРАТ

**Об'єкт проектування – сучасна конструкторсько- технологічна підготовка до виготовлення вал-шестірні редуктора поворотного ЕКГ4,6 з застосуванням CAD, CAM, CAE технологій.**

Для досягнення мети проведено аналіз службового призначення деталі, вибрано матеріал, проаналізовані вимоги до якості поверхонь, виконано аналіз робочого креслення та визначена технологічність деталі.

Ціль досягалася розробкою маршруту виготовлення деталі, який включає в себе аналіз заводського технологічного процесу; вибір та проектування заготовки; вибору та обґрунтування баз, розробки послідовності обробки поверхонь; розробки маршруту обробки деталі.

Розробка технологічного процесу обробки вал-шестірні проводилась через уточнення змісту технологічних операцій, розрахунку та вибору режимів різання, а також нормуванню технологічних операцій.

**ЕКСКАВАТОР, РЕДУКТОР, НАДІЙНІСТЬ, ТОЧНІСТЬ, ТЕХНОЛОГІЧНІСТЬ, ЗАГОТОВКА, ПРИПУСК, РЕЖИМИ РІЗАННЯ, НОРМИ ЧАСУ, ЕКОНОМІЧНА ЕФЕКТИВНІСТЬ , CAD, CAM, CAE, БЕЗПЕКА ПРАЦІ**

## ABSTRACT

The object of the design is a modern design and technological preparation for the manufacture of a gear shaft of a rotary EKG4,6 reducer using CAD, SAM, SAE technologies.

To achieve the goal, the service purpose of the part was analyzed, the material was selected, the requirements for surface quality were analyzed, the working drawing was analyzed, and the manufacturability of the part was determined.

The goal was achieved by developing a part manufacturing route, which includes an analysis of the factory technological process; selection and design of the workpiece; selection and substantiation of bases, development of the sequence of surface treatment; development of the part processing route.

The development of the technological process of gear shaft processing was carried out through the clarification of the content of technological operations, the calculation and selection of cutting modes, as well as the standardization of technological operations.

**EXCAVATOR, REDUCER, RELIABILITY, PRECISION, TECHNOLOGY, PREPARATION, ALLOWANCE, CUTTING MODES, TIME STANDARDS, ECONOMIC EFFICIENCY, CAD, SAM, SAE, WO**

Змн.	Арк.	№ докум.	Підпис	Дата	КНУКБР.13124.1-06.Р		
Розроб.		Журавель					
Перевір.		Цвінда					
Реценз.							
Н. Контр.		Рязанцев					
Зав. каф.		Нечасєв					
РЕФЕРАТ					Lіт.	Арк.	Аркушів
					Кафедра ТМ, гр. ГМ-20		

## ЗМІСТ

## Вступ

1 Аналіз службового призначення машини, вузла	8
1.1 Проектування технологічного процесу складання	8
1.2 Службове призначення деталі. Вибір матеріалу і варіанти замін	27
2 Аналіз службового призначення деталі. Опис конструктивних особливостей деталі та умов її експлуатації	29
2.1 Аналіз якості поверхонь деталі	29
2.2 Технічний контроль робочого креслення	31
2.2 Якісний аналіз технологічності	32
2.3 Кількісний аналіз технологічності	33
2.4 Вибір діючого заводського чи типового технологічного процесу.	
Задачі проектування	33
2.5 Вибір та економічне обґрунтування способу отримання заготовки	38
3 Проектування технологічного процесу виготовлення деталі	
3.1 Проектування заготовки	41
3.2 Вибір і обґрунтування баз	42
3.3 Розробка маршрутно-операційної технології обробки деталі	45
3.4 Розробка технологічних операцій	46
3.5 Вибір розмірів і припусків на обробку	50
3.6 Розрахунок режимів різання	52
4 Вибір ріжучих та допоміжних інструментів за міжнародними стандартами	60
4.1 Вибір типу інструментів з обробки поверхонь деталі	60
4.2 Вибір сучасного металорізального інструменту	61
4.3 Вибір типорозміру різальних інструментів	69
4.4 Вибір типорозміру допоміжних інструментів	73
4.5 Проектування пристрою для шпонково-фрезерної операції	75
5 Проектування спеціального інструменту	76
5.1 Розрахунок геометричних параметрів спеціального інструменту	76
6 Розрахунок спеціального інструменту в САЕ системі SolidWorks	82
7 Моделювання та проектування операції механічної обробки	87
7.1 Проектування чистової токарної операції	87
8 Організаційно-економічна підготовка виробництва	89
8.1 Охорона праці та екологія виробництва	89
8.2 Оцінка техніко-економічної ефективності виробництва	91
Висновки	95
Список використаних джерел	96

Змн.	Арк.	№ докум.	Підпис	Дата
Розроб.	Журавель			
Перевір.	Цвітіна			
Реценз.				
Н. Контр.	Рязанцев			
Зав. каф.	Нечаєв			

КНУ.КБР.131.24.1-06.3

Зміст

Літ.	Арк.	Аркушів

Кафедра ТМ,  
гр. ГМ-20

## ВСТУП

Рівень розвитку машинобудування – один із самих значимих факторів технічного прогресу, так як корінні перетворення в будь – якій сфері виробництва можливі лише в наслідок створення більш сучасних машин і розробки принципово нових технологій. Розвиток і удосконалення технології виробництва сьогодні тісно пов'язаний з автоматизацією, створенням робототехнічних комплексів, широким використанням обчислювальної техніки, використанням обладнання з числовим програмним керуванням. Все це складає базу, на якій створюються автоматизовані виробництва, стають можливими оптимізація технологічних процесів, створення гнучких автоматизованих комплексів.

В даній роботі аналізується конструкторська-технологічна підготовка виготовлення деталі «Вал-шестерня» редуктору екскаватора та обґрунтування параметрів надійності процесу за допомогою CAD/CAM/CAE систем.

Забезпечення надійності процесу може здійснитись тільки за допомогою автоматизації технологічного та конструкторського підготовлення. Матеріали для роботи бралися під час виробничих практик на гірничо-добувних підприємствах міста.

Тому, тема актуальна і серед безлічі технічних рішень які можуть пропонуватись та змінюватись дана кваліфікаційна бакалаврська робота є одним із реальних варіантів, які можна впровадити у виробництво

Змн.	Арк.	№ докум.	Підпис	Дата
Розроб.	Журавель			
Перевір.	Цвінда			
Реценз.				
Н. Контр.	Рязанцев			
Зав. каф.	Нечаєв			

*КНУ.КБР.131.24.1-06.В*

*Вступ*

Літ.	Арк.	Аркушів

*Кафедра ТМ,  
гр. ГМ-20*

# 1 АНАЛІЗ СЛУЖБОВОГО ПРИЗНАЧЕННЯ МАШИНИ, ВУЗЛА

## 1.1 Проектування технологічного процесу складання

### 1.1.1 Розрахунок лінійного ланцюга вузла редуктора

Розрахунок лінійного розмірного ланцюга методом max - min

На рисунку 1.1 зображене редуктор повороту екскаватора. Вузол є силовим, працює на низьких швидкостях та не потребує підвищеної точності виготовлення.

Лінійний зазор між підшипником та кришкою рівний  $A_{\Sigma} = 1^{+0,8}_{-0,2}$  мм, тобто  $T_{\Sigma}=1,0$  мм;  $\Delta C_{\Sigma} = + 0,3$  мм.

Для забезпечення нормальної роботи вузла необхідно забезпечити:  $A_{\Sigma\min} = - 0,2$  мм;  $A_{\Sigma\max} = + 0,8$  мм

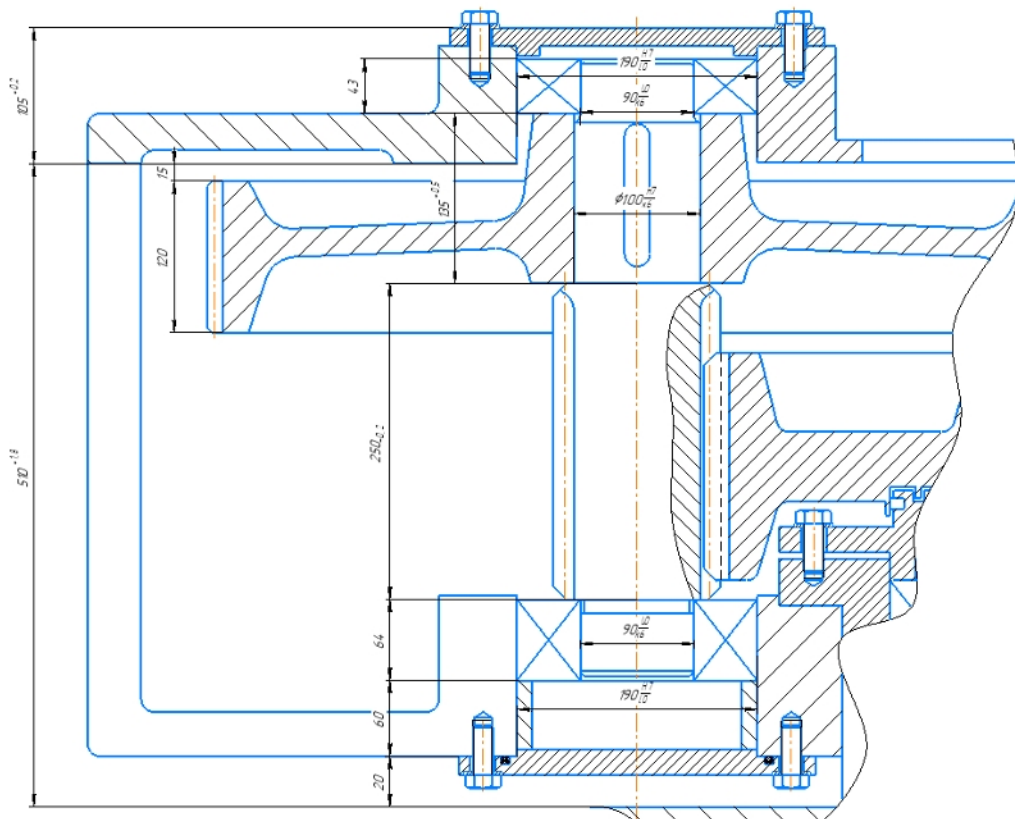


Рисунок 1.1 – Редуктор повороту екскаватора

Рухаючись з права наліво від замикаючої ланки включаємо у розмірний ланцюг усі ланки, які впливають на зазор.

Наносимо розмірний ланцюг на креслення та визначаємо характер ланки стрілкою зверху

Змн.	Арк.	№ докум.	Підпис	Дата
Розроб.	Журавель			
Перевір.	Цвінда			
Реценз.				
Н. Контр.	Рязанцев			
Зав. каф.	Нечаєв			

КНУ.КБР.131.24.1-06.01.АСПМВ

Аналіз службового  
призначення машини, вузла

Літ.	Арк.	Аркушів

Кафедра ТМ,  
гр. ГМ-20

Усім поверхням, які сопрягаються та попали у розмірний ланцюг, присвоюємо номер.

Зображену схему розмірного ланцюга  $A$  з вказівкою торцевих биттів у таблиці 1.1.

Розрахунок кількості одиниць допуска виконується по виразу (9г) [1] виходячи з нормальної точності на відхилення від розташування поверхонь:

$$a = \frac{0,7 \cdot (T_{\Sigma} - \Sigma T_{cm})}{\sum_{i=1}^n i_i} \quad (1.1)$$

де:

$T_{\Sigma}$  – допуск вихідної ланки;

$\Sigma T_{cm}$  – сума допусків стандартних деталей;

$i$  – одиниця допуска, яка залежить від величини розміру.

$$a = \frac{0,7 \cdot (1000 - 150 - 120)}{12,44} = \frac{511}{12,44} = 41,08 \text{ мкм.}$$

Перевірку вірності назначення допусків виконуємо по виразу (1.2) [1]:

$$T_{\Sigma} = \sum_{i=1}^n (T_{Ai} + \beta_i) \quad (1.2)$$

де  $T_{Ai}$  – допуски складаючих ланок;

$\beta_i$  – торцові биття поверхонь, які спрягаються;

$n$  – кількість ланок в ланцюзі

$$T_{\Sigma} = 0,110 + 0,030 + 0,046 + 0,150 + 0,115 + 0,063 + 0,120 + 0,025 + 0,080 + 0,050 + 0,050 + 0,120 + 0,045 = 1,004 \text{ мм}$$

Похибка розрахунку:

$$\varepsilon = \frac{T_{\Sigma} - [T_{\Sigma}]}{[T_{\Sigma}]} \cdot 100\%, \quad (1.3)$$

Де  $T_{\Sigma}$  – розрахунковий допуск;

$[T_{\Sigma}]$  – допуск вихідної ланки

$$\varepsilon = \frac{1004 - 1000}{1000} \cdot 100 = 0,4\%,$$

тобто розрахунок виконано вірно.

Границі відхилення назначаються на всі ланки, крім залежної. Допуск розташовуються в тіло деталі. На розмірах, які визначають товщину або довжину деталі, відхилення проставляють в мінус, відхилення на глибину уступів – в плюс, відстань між стінками корпусів – симетрично.

Залежна ланка призначена компенсувати випадково назначені відхилення. У якості залежної ланки вибирається деталь, яку легко обробити з будь-якою точністю.

Змн.	Арк.	№ докум.	Підпис	Дата	Арк.

В якості залежної ланки вибираємо А<sub>5</sub> та виділяємо її квадратом.  
Значення середин полів допусків визначаються по формулі:

$$\Delta C_i = \frac{es_i + ei_i}{2} \quad (1.4)$$

де:

$es$ ,  $ei$  – відповідно верхнє та нижнє граничне відхилення ланки.

Координата середини поля допуску торцового биття визначається по формулі:

$$\Delta \beta_i = \frac{\beta_i}{2} \quad (1.5)$$

де:

$\beta_i$  – торцове биття

Визначення граничних відхилень залежної ланки починається з визначення координати середини поля допуску цієї ланки. Так як ланка зменшуюча, то

$$\Delta \tilde{C}_x = \sum_{i=1}^n (\Delta \vec{C}_i + \Delta \vec{\beta}_i) - \sum_{j=1}^m (\Delta \tilde{C}_j + \Delta \tilde{\beta}_j) - \Delta C_\Sigma \quad (1.6)$$

де:

$\Delta \vec{C}_i, \Delta \tilde{C}_j$  – значення середин палів допусків відповідно збільшуючих та зменшуючих ланок;

$\Delta \vec{\beta}_i, \Delta \tilde{\beta}_j$  – координати середин: полів допусків торцевих биттів відповідно збільшуючих та зменшуючих ланок;

$\Delta C_\Sigma$  – середина поля допуску вихідної ланки

$$\Delta \tilde{C}_{A5} = 0 - (-0,015 - 0,023 - 0,075 - 0,0315 - 0,060 - 0,0125 + 0,040 + 0,025 + 0,025 + 0,060 + 0,0225) - 0,3 = -0,2555 \text{ мм.}$$

Граничні відхилення залежної ланки визначаються по виразам (1.4) [1]:

$$\left. \begin{aligned} ei_i &= \Delta C_i - \frac{T_i}{2} \\ es_i &= \Delta C_i + \frac{T_i}{2} \end{aligned} \right\} \quad (1.7)$$

де:

$\Delta C_i$  – середина поля допуску залежної ланки;

$T_i$  – допуск залежної ланки.

$$ei_{A5} = -0,2555 - \frac{0,115}{2} = -0,313 \text{ мм.}$$

$$es_{A5} = -0,2555 + \frac{0,115}{2} = -0,198 \text{ мм.}$$

Перевірку вірності визначення граничних розмірів проводимо по виразам (1.3 та 1.4) [1]:

Змн.	Арк.	№ докум.	Підпис	Дата	Арк.
					KНУ.КБР.13124.1-06.01.АСПМВ

$$\Delta C_{\Sigma} = \sum_{i=1}^n \left( \Delta \vec{C}_i + \frac{\vec{\beta}_i}{2} \right) - \sum_{j=1}^m \left( \Delta \vec{C}_j + \frac{\vec{\beta}_j}{2} \right) \quad (1.8)$$

де:

$\Delta C_i, \Delta C_j$  – значення середин полів допусків відповідно збільшуючих та зменшуючих ланок;

$\Delta \beta_i, \Delta \beta_j$  – торцьові биття відповідно збільшуючих та зменшуючих ланок;

$$\Delta C_{\Sigma} = 0 - (-0,015 - 0,023 - 0,075 - 0,2555 - 0,0315 - 0,060 - 0,0125 + 0,040 + 0,025 + 0,025 + 0,060 + 0,0225) = 0,3 \text{ мм.}$$

$$es_{\Sigma} = 0,3 + \frac{1,0}{2} = 0,8 \text{ мм.}$$

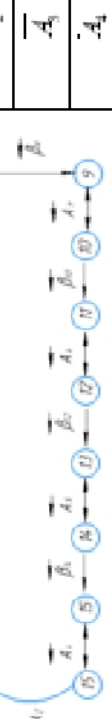
$$ei_{\Sigma} = 0,3 - \frac{1,0}{2} = -0,2 \text{ мм.}$$

$$A_{\Sigma} = 1^{+0,8}_{-0,2} \text{ мм}$$

Розрахунок виконано вірно, але вимоги до точності лінійних розмірів значно великі, тому переходимо до розрахунку розмірного ланцюга методом регулювання

Змн.	Арк.	№ докум.	Підпис	Дата		КНУ.КБР.13124.1-06.01.АСЛМВ	Арк.

Таблиця 1.1 – Розрахунок лінійного розмірного ланцюга А методом max – min

Позначення розмірного ланцюга	Ланцюг А - забезпечення зазору між кришкою та підшипниками	Значення вихідної ланки				$A_E = 1_{-0,2}^{+0,3}$ ММ, $T_E = 1,0$ ММ; $\Delta C_E = + 0,3$ ММ			
		Схема розмірної ланки	Позначення ланки	Номінальний розмір	i	Квалітет	Допуск	Розмір з відрхиленням	$\Delta C_i$
			$\bar{A}_1$	552	3,89	8	0,110	$552 \pm 0,055$	0
			$\bar{A}_2$	5	0,73	9	0,030	$5^0_{-0,030}$	-0,015
			$\bar{A}_3$	55	1,86	8	0,046	$55^0_{-0,046}$	-0,023
			$\bar{A}_4$	64	ct	ct	0,150	$64^0_{-0,150}$	-0,075
			$\bar{A}_5$	250	2,89	9	0,115	$250^0_{-0,198}$	-0,255
			$\bar{A}_6$	135	2,52	8	0,063	$135^0_{-0,068}$	-0,0315
			$\bar{A}_7$	40	ct	ct	0,120	$40^0_{-0,120}$	-0,060
			$\bar{A}_8$	2	0,55	9	0,025	$2^0_{-0,025}$	-0,0125
			$\bar{A}_9$	190	$\Sigma=12,4$	9	0,080		0,040
			$\beta_1$	4	ct	ct	0,050		0,025
			$\beta_2$	190					0,025
			$\beta_3$	190					0,025
			$\beta_4$	500		9	0,120		0,060
			$\bar{\beta}_1$	190					0,022
			$\beta_2$						0,045
			$\beta_3$						
			$\beta_4$						
								$\Sigma=1,004$	

Розрахунок лінійного ланцюга методом регулювання.

В якості ланки компенсатора выбрана ніжка кришки (ланка  $A_8$ ), так як вона приєднується останньою та її розмір можна змінювати без розбирання вузла.

Умови задачі залишаються попередніми:

$$A_{\Sigma} = 1^{+0,8}_{-0,2} \text{ мм}, T_{\Sigma} = 1,0 \text{ мм}; \Delta C_{\Sigma} = +0,3 \text{ мм.}$$

Назначаємо технологічно досягаємі допуски на усі ланки і заносимо їх значення до таблиці 1.2

Визначаємо граничні відхилення на усі ланки, крім  $A_8$ .

Допуск технологічно досягаємої замикаючої ланки визначається по формулі (1.2)

$$T_{\Sigma} = 2,8 + 0,12 + 0,46 + 0,150 + 1,15 + 1,0 + 0,120 + 0,14 + 0,5 + 0,05 + 0,05 + 0,8 + 0,045 = 7,385 \text{ мм.}$$

Координата середини поля допуска визначається по формулі (1.8)

$$\Delta C_{\Sigma} = 0 - (-0,06 - 0,23 - 0,075 - 0,575 - 0,5 - 0,060 + 0,25 + 0,025 + 0,025 + 0,4 + 0,0225) = +0,7775 \text{ мм.}$$

Гранічні відхилення технологічно досягаємої замикаючої ланки визначаються по формулі (1.7)

$$es_{\Sigma} = 0,7775 + \frac{7,385}{2} = 4,47 \text{ мм.}$$

$$ei_{\Sigma} = 0,7775 - \frac{7,385}{2} = -2,915 \text{ мм.}$$

$$A_{\Sigma} = 1^{+4,47}_{-2,915} \text{ мм.}$$

Величина компенсації визначається по виразу (33) [1]:

$$T_k = T_{\Sigma} - [T_{\Sigma}], \quad (1.9)$$

де:

$T_{\Sigma}$  – допуск замикаючої ланки,

$[T_{\Sigma}]$  – потрібний допуск замикаючої ланки

Змн.	Арк.	№ докум.	Підпис	Дата	КНУ.КБР.13124.1-06.01.АСЛМВ	Арк.

Таблиця 1.2 – Розрахунок лінійного розмірного ланцюга А методом регулювання

Призначення розмірного ланцюга	Ланцюг А - забезпечення зазору між кришкового та підшипникам	Значення вихідної ланки			$A_{\Sigma} = L_{0,2}^{+0,8} \text{ ММ}, T_{\Sigma} = 1,0 \text{ ММ}$ $\Delta C_{\Sigma} = +0,3 \text{ ММ}$		
		Позначення ланки	Номінальний розмір	і	Квалітер	Допуск	Розмір з відхиленням
<b>Схема розмірної ланки</b>							
			$\overline{A}_1$	552	3,89	8	2,8
			$\overline{A}_2$	5	0,73	9	0,12
			$\overline{A}_3$	55	1,86	8	0,46
			$\overline{A}_4$	64	ст	0,150	$64^0_{-0,150}$
			$\overline{A}_5$	250	2,89	9	1,15
			$\overline{A}_6$	135	2,52	8	1,0
<b>Найменування ланок розмірного ланцюга</b>							
		$\overline{A}$ – відстань між торцями корпуша	$\overline{A}_1$	40	ст	0,120	$40^0_{-0,120}$
		$\overline{A}_2$ – висота нижньої кришки	$\overline{A}_2$	2	0,55	9	0,14
		$\overline{A}_3$ – ширина кільця	$\beta_1$	190	$\Sigma=12_{,44}$	9	0,5
		$\overline{A}_4$ – ширина підшипника	$\overline{\beta}_1$	190	ст	0,050	0,025
		$\overline{A}_5$ – відстань між торцями валу	$\overline{\beta}_2$	190	ст	0,050	0,025
		$\overline{A}_6$ – ширина зубчатого колеса	$\overline{\beta}_3$	500	9	0,8	0,4
		$\overline{A}_7$ – бічня кільця	$\overline{\beta}_4$	190	ст	0,045	0,0225
		$\overline{\beta}_5$ – бічня підшипників				$\Sigma=7,38$	

Змн.	Арк.	№ докум.	Підпис	Дата

$$T_k = 7,385 - 1,0 = 6,385 \text{ мм.}$$

Необхідна кількість ступенів компенсатора визначається по виразу (35) [1]:

$$N = \frac{T_k}{[T_\Sigma] - T_{комп}} + 1 \quad (1.10)$$

$$N = \frac{6.385}{1 - 0.14} + 1 = 8.4 \text{ ст}$$

Округляємо отримане значення ступенів до  $N = 8$  ст.

Уточнений допуск ступені ланки компенсатора визначається по виразу (36) [1]:

$$T_{cm} = \frac{T_k}{N - 1}$$

$$T_{cm} = \frac{6.385}{8 - 1} = 0.91 \text{ мм.} \quad (1.11)$$

Середній розмір ланки компенсатора, выбраної із кількості зменшуючих ланок, який при пригонці зменшується, визначається по виразу (37) [1]:

$$\begin{aligned} \bar{A}_{C8} &= \bar{A}_{комп48} + \Delta C_{комп} + \Delta C_\Sigma - [\Delta C_\Sigma] \\ \bar{A}_{C8} &= 2 + 0 + 0,7775 - 0,3 = 2,4775 \text{ мм} \end{aligned} \quad (1.12),$$

Границі значення ланки компенсатора визначаються по виразу (39) [1]:

$$\left. \begin{aligned} A_{8\text{tax}} &= A_{C8} + \frac{T_k}{2} \\ A_{8\text{tip}} &= A_{C8} - \frac{T_k}{2} \end{aligned} \right\} \quad (1.13)$$

$$A_{8\text{max}} = 2,4775 + \frac{6,385}{2} = 5,67 \text{ мм.}$$

$$A_{8\text{tip}} = 2,4775 - \frac{6,385}{2} = -0,715 \text{ мм.}$$

Розміри змінних деталей, які взяті із зменшуючих ланок визначаються по виразу (40) [1]:

Змн.	Арк.	№ докум.	Підпис	Дата	КНУКБР.13124.1-06.01.АСПМВ	Арк.

$$\left. \begin{aligned}
 \text{I ст. } A_8 &= A_{8\max} \pm \frac{T_{\text{компA8}}}{2} = 5,67 \pm 0,07 \text{ мм} \\
 \text{II ст. } A_8 &= (A_{8\text{tax}} - T_{\text{ct}}) \pm \frac{T_{\text{компA8}}}{2} = (5,67 - 0,91) \pm \frac{0,14}{2} = 4,76 \pm 0,07 \text{ мм.} \\
 \text{III ст. } A_8 &= (A_{8\text{tax}} - 2 \cdot T_{\text{ct}}) \pm \frac{T_{\text{компA8}}}{2} = (5,67 - 2 \cdot 0,91) \pm 0,07 = 3,85 \pm 0,07 \text{ мм} \\
 \text{IV ст. } A_8 &= (A_{8\text{tax}} - 3 \cdot T_{\text{ct}}) \pm \frac{T_{\text{компA8}}}{2} = (5,67 - 3 \cdot 0,91) \pm 0,07 = 2,94 \pm 0,07 \text{ мм} \\
 \text{V ст. } A_8 &= (A_{8\text{tax}} - 4 \cdot T_{\text{ct}}) \pm \frac{T_{\text{компA8}}}{2} = (5,67 - 4 \cdot 0,91) \pm 0,07 = 2,03 \pm 0,07 \text{ мм} \\
 \text{VI ст. } A_8 &= (A_{8\text{tax}} - 5 \cdot T_{\text{ct}}) \pm \frac{T_{\text{компA8}}}{2} = (5,67 - 5 \cdot 0,91) \pm 0,07 = 1,12 \pm 0,07 \text{ мм} \\
 \text{VII ст. } A_8 &= (A_{8\text{tax}} - 6 \cdot T_{\text{ct}}) \pm \frac{T_{\text{компA8}}}{2} = (5,67 - 6 \cdot 0,91) \pm 0,07 = 0,21 \pm 0,07 \text{ мм} \\
 \text{VIII ст. } A_8 &= (A_{8\text{tax}} - 7 \cdot T_{\text{ct}}) \pm \frac{T_{\text{компA8}}}{2} = (5,67 - 7 \cdot 0,91) \pm 0,07 = -0,7 \pm 0,07 \text{ мм}
 \end{aligned} \right\} \quad (1.14)$$

Похибка розрахунку:

$$\text{VIII ст. } A_8 \approx A_{8\min} \quad (1.15)$$

$$\varepsilon = \frac{\text{VIII}_{\text{cm}} A_8 - A_{8\text{msn}}}{A_{8\text{msn}}} \cdot 100\%$$

$$\varepsilon = \frac{|-0.7| - |-0.715|}{|-0.715|} \cdot 100\% = 2,1\%$$

Використання восьми розмірів ланки компенсатора може виявитись не технологічним в конкретних умовах виробництва.

### 1.1.2 Розрахунок кутових розмірних ланцюгів вузла редуктора

В результаті розрахунку розмірних ланцюгів редуктора необхідно забезпечити потрібну величину зміщення та перекосу вісей сопрягаємих шестерен.

Кутові розмірні ланцюги проходять через опори валів, якими являються підшипники кочення. Спочатку визначається відносне зміщення вісей валів, які розташовані в опорах, потім – перекіс в опорах та в перетині, яке проходить колеса.

Вихідною ланкою для кутових розмірних ланцюгів являється допуск на міжвісьову відстань зубчатого зачеплення, який залежить від точності зубчатих коліс та виду спряження (бічного зазору). Допуск на міжвісьову відстань  $fa$  береться з таблиці 5.17 [1].

Розрахунок кутового розмірного ланцюга  $\gamma$  [1]

Переріз 1-2 проходить через опори вала 12 та утворює основний кутовий ланцюг  $\gamma$ , який відповідає за розташування вала у корпусі. Усім вісям та поверхням, які потрапили у цей розтин дается номер.

Всього утворилось 2 розмірних ланцюга:

- а) ланцюг  $\gamma$ , який визначає відносне зміщення та перекіс вісей вала у підшипниковых опорах;
- б) ланцюг  $K_\xi$  – визначає перекіс зубчатого колеса відносно опори 9.

Змн.	Арк.	№ докум.	Підпис	Дата	Арк.
					КНУ.КБР.13124.1-06.01.АСПМВ

Схема кутового розмірного ланцюга зображена у таблиці 1.3.

Ланцюг  $\gamma$  складається з наступних величин:

$S1 = S4$  – посадка внутрішнього кільця підшипника на вал.

$S2 = S3$  – посадка зовнішнього кільця підшипника в корпус

$e_{15}=e_{24}$  – ексцентриситет посадкових шийок вала

$e_{17}=e_{22}$  – половина радіального биття підшипників кочення

$e_{19}$  – зміщення вісей отворів у корпусі.

Величина вихідної ланки  $e_2$  визначається із зачеплення

Спочатку вибираємо підшипник класу точності 6. Границі відхилення на посадкові розміри підшипників та їх радіальне биття вибираємо з таблиці 4.82 [1]. При визначенні  $e_{17}$  та  $e_{22}$  радіальні биття внутрішнього та зовнішнього кілець сумуються по виразу:

$$e_{17} = \frac{e_{17\text{вн}} + e_{17\text{зовн}}}{2} \quad (1.16)$$

Зміщення вісей отворів у корпусі вибирається з тієї ж таблиці та повинно знаходитись у границях половини гарантованого бічного зазору  $f_n$ .

Допуски зазорів визначаються по формулі:

$$T_{si} = S_{\max} - S_{\min}, \quad (1.17)$$

де  $S_{\max}$  – максимальний зазор:

$$S_{\max} = ES - ei, \quad (1.18)$$

де  $ES$  – верхнє відхилення отвору;

$ei$  – нижнє відхилення вала;

$S_{\min}$  – мінімальний зазор:

$$S_{\min} = EJ - es, \quad (1.19)$$

де  $EJ$  – нижнє відхилення отвору;

$es$  – верхнє відхилення вала.

$$S_{1,4\max} = 0 - (+0,013) = -0,013 \text{ мм}$$

$$S_{1,4\min} = (-0,015) - (0,035) = -0,050 \text{ мм}$$

Тобто у спряження забезпечується натяг, але в розрахунок вмикається тільки зазор, тобто:

$$TS_{1,4} = 0 \text{ мм};$$

Змн.	Арк.	№ докум.	Підпис	Дата	Арк.
					КНУ.КБР.13124.1-06.01.АСПМВ

$$S_{2\max} = 0,04 - (-0,018) = 0,058 \text{ мм}; \\ S_{2\min} = 0 - 0 = 0 \text{ мм};$$

$$S_{3\max} = 0 - (-0,020) = 0,066 \text{ мм}; \\ S_{3\min} = 0 - 0 = 0 \text{ мм};$$

$$TS_2 = 0,058 - 0 = 0,058 \text{ мм}; \\ TS_3 = 0,066 - 0 = 0,066 \text{ мм};$$

Координата середини поля допуска зазора визначається по формулі (59) [1]:

$$et_{si} = \frac{em_D + em_d}{2} \quad (1.20)$$

де  $em_D$ ,  $em_d$  – координати середини полів допусків відповідно отвору та вала:

$$\left. \begin{array}{l} em_D = \frac{ES + EI}{2} \\ em_d = \frac{es + ei}{2} \end{array} \right\} \quad (1.21)$$

$$em_{D2} = \frac{0,040 + 0}{2} = 0,020 \text{ мм}$$

$$et_{d2} = \frac{0 - 0,018}{2} = -0,009 \text{ мм}$$

$$et_{D3} = \frac{0,046 + 0}{2} = 0,023 \text{ мм}$$

$$et_{d3} = \frac{0 - 0,020}{2} = -0,010 \text{ мм}$$

$$et_{S2} = 0,020 - 0,009 = 0,011 \text{ мм}$$

$$et_{S3} = 0,023 - 0,010 = 0,013 \text{ мм}$$

Дані заносимо до таблиці 1.3

Змн.	Арк.	№ докум.	Підпис	Дата	КНУКБР.13124.1-06.01.АСЛМВ	Арк.

Таблиця 1.3 – Розрахунок кутового розмірного ланцюга

Позначення та призначення розмірного ланцюга		Визначення величини відносного зміщення та відносного перекосу вісі валів в підшипникових опорах	Призначення відхиленні ланки розмірного ланцюга	$f_a = \pm 0,05 \text{ мм}$
Зображення розмірного ланцюга		Шукана величина	Значення шуканої величини	
			$e_{\Sigma}$ $e_{T\Sigma}$ $T_{\Sigma}$ $P_{\Sigma}$ $f_a = \pm 0,05 \text{ мм}$	$0^{+0,433}_{-0,0217} \text{ мм}$ $0,0108 \text{ мм}$ $0,065 \text{ мм}$ $0,017 \text{ мм}$
Ланка	Найменування розміру чи посадки	Величина	$\epsilon_{T_i}$	$\epsilon_{T_{ii}}$
1	2	34	4	5
$\epsilon_{15}, \epsilon_{24}$	Експеримент посадкових шийок валу	$90 - \frac{0,04}{2} = 0,02$	0,01	7
				8

Продовження таблиці 1.3

1	2	3	4	5	6	7	8
$\epsilon_{17}, \epsilon_{22}$	0,5 радіального биття підшипників кочення	$\frac{0,018 + 0,023}{2} = 0,0205$ $= 0,0215$	$\frac{0,018 + 0,025}{2} = 0,0195$ $= 0,0215$	0,0102	0,0107		
$\epsilon_{19}$	Неспіввісність осей отворів в корпусі		0,025	0,0125			
$S_1, S_4$	Посадка внутрішнього кілья підшипника на вал	$90 \frac{L6}{m6} \left( \frac{-0,015}{+0,035} \right)$ $+0,013$	$-0,0075$ $+0,024$	0	0		
$S_2, S_3$	посадка зовнішнього кілья підшипника в корпус	$160 \frac{H7}{I6} \left( \frac{+0,040}{-0,018} \right)$ $-0,020$	$+0,020$ $-0,009$	0,0	0,058		
			$+0,023$ $-0,010$	0,0	0,066		
				23			

Змн.	Арк.	№ докум.	Підпис	Дата

Допуск на вихідну ланку визначається по вірогідному методу по виразу [1]:

$$T_{e\Sigma} = \sqrt{0,36 \cdot \sum_{i=1}^n T_{Si}^2 + 0,56 \cdot \sum_{j=1}^m T_{ej}^2} \quad (1.22)$$

$$T_{e\Sigma} = \sqrt{0,36 \cdot (2 \cdot 0^2 + 0,058^2 + 0,066^2) + 0,56(2 \cdot 0,02^2 + 0,0205^2 + 0,0215^2 + 0,025^2)} = \\ \sqrt{0,0027792 + 0,0012922} = 0,065 \text{ мм}$$

Визначаємо координату середини поля допуску по виразу [1]:

$$em_{e\Sigma} = \sum_{i=1}^n [\bar{e} \vec{m}_{si} + 0,5 \cdot \vec{T}_{ei} + 0,05 \cdot (\vec{T}_{si} + \vec{T}_{ei})] - \sum_{j=1}^m [\bar{e} \vec{m}_{sj} + 0,5 \cdot \vec{T}_{ej} + 0,05 \cdot (\vec{T}_{sj} + \vec{T}_{ej})] \quad (1.23)$$

$$em_{e\Sigma} = [0 + 0,011 + 0,5 (0,02 + 0,0205 + 0,025) + 0,05 (0 + 0,058 + 0,02 + 0,0205 + 0,025)] - [0 + 0,13 + 0,5 (0,02 + 0,0215) + 0,05 (0 + 0,066 + 0,02 + 0,0215)] = 0,049925 - 0,039125 = 0,0108 \text{ мм.}$$

Визначаємо граничні відхилення замикаючої ланки величини зміщення вісі вала в опорах по виразу (1.24) [1]:

$$\left. \begin{array}{l} es_{e\Sigma} = em_{e\Sigma} + \frac{T_{e\Sigma}}{2} \\ ei_{e\Sigma} = em_{e\Sigma} - \frac{T_{e\Sigma}}{2} \end{array} \right\} \quad (1.24)$$

$$es_{e\Sigma} = 0,0108 + \frac{0,065}{2} = 0,0433 \text{ мм.}$$

$$ei_{e\Sigma} = 0,0108 - \frac{0,065}{2} = -0,0217 \text{ мм.}$$

$$e\Sigma = 0^{+0,0433}_{-0,0217} \text{ мм.}$$

Спрощений розрахунок відносного перекосу вісей визначається по виразу (1.25) [1]. З співвідношень знаходимо:

$$\frac{T_{e\Sigma}}{L} = \frac{P_{\Sigma}}{\ell_1} \Rightarrow P_{\Sigma} = \frac{e\Sigma \cdot \ell_1}{L} \quad (1.25)$$

де:

$L$  – відстань між підшипниками;

$\ell_1$  – відстань між підшипником та колесам

$$P_{\Sigma} = \frac{0,065 \cdot 115}{437} = 0,017 \text{ мм.}$$

Змн.	Арк.	№ докум.	Підпис	Дата	Арк.
					КНУКБР.13124.1-06.01.АСПМВ

Отриманий перекос не повинен перевищувати мінімальний гарантований бічний зазор:

$$\begin{aligned} f_n &> P_{\Sigma} \\ 0,1 &> 0,017, \end{aligned} \quad (1.26)$$

тобто перекіс вісі вала під зубчате колесо значно менше допустимого значення.

### Розрахунок кутового розмірного ланцюга $\alpha$ [1]

Розтин 1-2 проходить через опори вала 4 та утворює повний кутовий ланцюг  $\alpha$ , який відповідає за розташування вала у корпусі. Усім вісям та поверхням, які потрапили у цей розтин дается номер.

Всього утворилося 2 розмірних ланцюга:

а) ланцюг  $\alpha$ , який визначає відносне зміщення та перекіс вісей вала у підшипниковых опорах;

б) ланцюг  $\beta$  – визначає перекіс колеса відносно опори 9.

Схема кутового розмірного ланцюга зображена у таблиці 1.4.

Спочатку вибираємо підшипник класу точності 6. Границі відхилення на посадкові розміри підшипників та їх радіальні биття вибираємо з таблиці 4.82 [1]. При визначення  $e_3$  та  $e_8$  радіальні биття внутрішнього та зовнішнього кілець сумуються по формулі (1.16).

Зміщення вісей отворів у корпусі вибирається з тієї ж таблиці та повинно знаходитись у границях половини гарантованого бічного зазору  $f_n$ .

Допуски зазорів визначаються по формулам (1.17), (1.18), (1.19):

$$\begin{aligned} S_{1,4 \max} &= 0 - (+0,015) = -0,015 \text{ мм}; \\ S_{1,4 \min} &= -0,018 - 0,040 = -0,058 \text{ мм}; \\ S_{2,3 \max} &= 0,057 - (-0,025) = 0,082 \text{ мм}; \\ S_{2,3 \min} &= 0 - 0 = 0 \text{ мм}; \\ T_{S_{2,3}} &= 0,082 - 0 = 0,082 \text{ мм}. \end{aligned}$$

Координата середини поля допуску зазору визначається по формулам (1.20), (1.21):

$$\begin{aligned} em_{D_{2,3}} &= \frac{0 + 0,057}{2} = 0,0285 \text{ мм.} \\ em_{d_{2,3}} &= \frac{0 - 0,025}{2} = -0,0125 \text{ мм.} \\ em_{S_{2,3}} &= 0,0285 - 0,0125 = 0,016 \text{ мм.} \end{aligned}$$

Дані заносимо до таблиці 1.4

Допуск на вихідну ланку визначається по формулі:

Змн.	Арк.	№ докум.	Підпис	Дата	Арк.
					KHUKBR.13124.1-06.01.AСПМВ

$$Te_{\Sigma} = \sqrt{0,36 \cdot (2 \cdot 0^2 + 2 \cdot 0,082^2) + 0,56 \cdot (2 \cdot 0,04^2 + 2 \cdot 0,024^2 + 0,060^2)}$$

$$= \sqrt{0,00242064 + 0,00445312} = 0,083 \text{ мм}$$

Визначаємо координату середини поля допуску по формулі (1.23):

$$et_{e\Sigma} = [0 + 0,016 + 0,5 (0,04 + 0,024 + 0,060) + 0,05 (0 + 0,082 + 0,04 + 0,024 + 0,060)] - [0 + 0,016 + 0,5 (0,04 + 0,024) + 0,05 (0 + 0,082 + 0,04 + 0,024)] = 0,0883 - 0,0553 = 0,033 \text{ мм}$$

Граничні відхилення замикаючої ланки величини зміщення вісі вала в опорах визначаємо по формулі (1.24):

$$es_{e\Sigma} = 0,033 + \frac{0,083}{2} = 0,0745 \text{ мм.}$$

$$ei_{e\Sigma} = 0,033 - \frac{0,083}{2} = -0,0085 \text{ мм.}$$

$$e_{\Sigma} = 0^{+0,0745}_{-0,0085} \text{ мм.}$$

Визначаємо відносний перекіс вісей по формулі (1.25):

$$P_{\Sigma} = \frac{0,083 \cdot 740}{896} = 0,069 \text{ мм.}$$

Змн.	Арк.	№ докум.	Підпис	Дата		КНУКБР.13124.1-06.01.АСЛМВ	Арк.

Таблиця 1.4 – Розрахунок кутового розмірного ланцюга

Позначення та призначення розмірного ланцюга		Визначення величини відносного зміщення та відносного перекосу віси вала в підпінникових опорах	Призначення вихідної ланки розмірного ланцюга	$f_a = \pm 0,06 \text{ ММ.}$
Зображення розмірного ланцюга		Шукаєма величина	Значення шуканої величини	
			$e_{\Sigma}$ $e_{m\Sigma}$ $T_{1\Sigma}$ $P_{\Sigma}$	$0^{+0,0745} \text{ ММ.}$ $0^{-0,0085} \text{ ММ.}$ $0,033 \text{ ММ.}$ $0,083 \text{ ММ.}$ $0,069 \text{ ММ.}$
Ланка	Найменування розміру чи посадки	Величина	TSi	$\alpha_i$
1	2	3	4	5
$e_1, e_{10}$	Експеримент посадкових шток валу	$180 = \frac{0,08}{2} = 0,04$	0,02	6
$e_3, e_{18}$	0,5 радіального биття підпінників кочення	$\frac{0,018 + 0,030}{2} = 0,024$	0,012	

## Продовження таблиці 1.4

$e_3, e_{18}$	підшипників кочення			
$e_5$	Неспіввісність вісей отворів в корпусі	$320 = 0,060$	0,030	
$S_1, S_4$	Посадка внутрішнього кільця підшипника на вал	$180 \frac{L6}{m6} \left( \begin{array}{c} -0,018 \\ +0,040 \\ +0,015 \end{array} \right)$	$\frac{-0,009}{+0,0275}$	0 0
$S_2, S_3$	Посадка зовнішнього кільця підшипника в корпус	$320 \frac{H7}{l6} \left( \begin{array}{c} +0,057 \\ -0,025 \end{array} \right)$	$\frac{+0,0285}{-0,0125}$	0,016 0,082

Змн.	Арк.	№ докум.	Підпис	Дата

Отриманий перекіс не повинен перевищувати мінімальний гарантований бічний зазор:

$$0,12 > 0,069,$$

тобто перекіс вісі вала під колесо значно менше допустимого значення.

Таблиця 1.5 – Технологічна карта складання фрагменту редуктора повороту екскаватора

№ переходу	Зміст переходу	Пристосування	Інструмент	$T_{\text{осн.}}$ , хв.
1	Встановити вал 12 у пристрій спеціальний	спеціальний пристрій		0,007
2	Пригнати і запресувати шпонку 13		Напильник, колотушка	0,8
3	Змастити всі посадкові місця валу 12 салідолом			0,26
4	Встановити шестерню 1 ступицею вниз в пристосуванн – підставку	підставка		0,017
5	Встановити вал 12 зі спонкою 13 проти паза шестерні 1 і запресувати	прес (молоток)		0,26
6	Напресувати внутрішнє кільце підшипника 24 на вал 12 до упору	оправка		0,14
7	Повернути складаємий комплект на $180^\circ$	кран		0,2
8	Напресувати внутрішнє кільце підшипника 25 на вал 12 до упору	оправка		0,14
9	Відкласти зібраний комплект у тару			0,05

Змн.	Арк.	№ докум.	Підпис	Дата	КНУ.КБР.13124.1-06.01.АСПМВ	Арк.
------	------	----------	--------	------	-----------------------------	------

## 1.2 Службове призначення деталі. Вибір матеріалу і варіанти замін

Вал-шестерня є одним з ключових деталей вузлу поворотного механізму кар'єрного екскаватора ЕКГ - 4.6. Він призначений для видобування щільних і твердих гірських порід з їх подальшим завантаженням у транспортні засоби або конвеєри.

Обертання вертикального валу редуктору передається через зубчасте колесо від валу до шестерні. Наслідком закритої конструкції вузла є пошкодження та знос деталі твердими породами, що, в свою чергу, спричиняє підвищений знос поверхонь вал-шестерні.

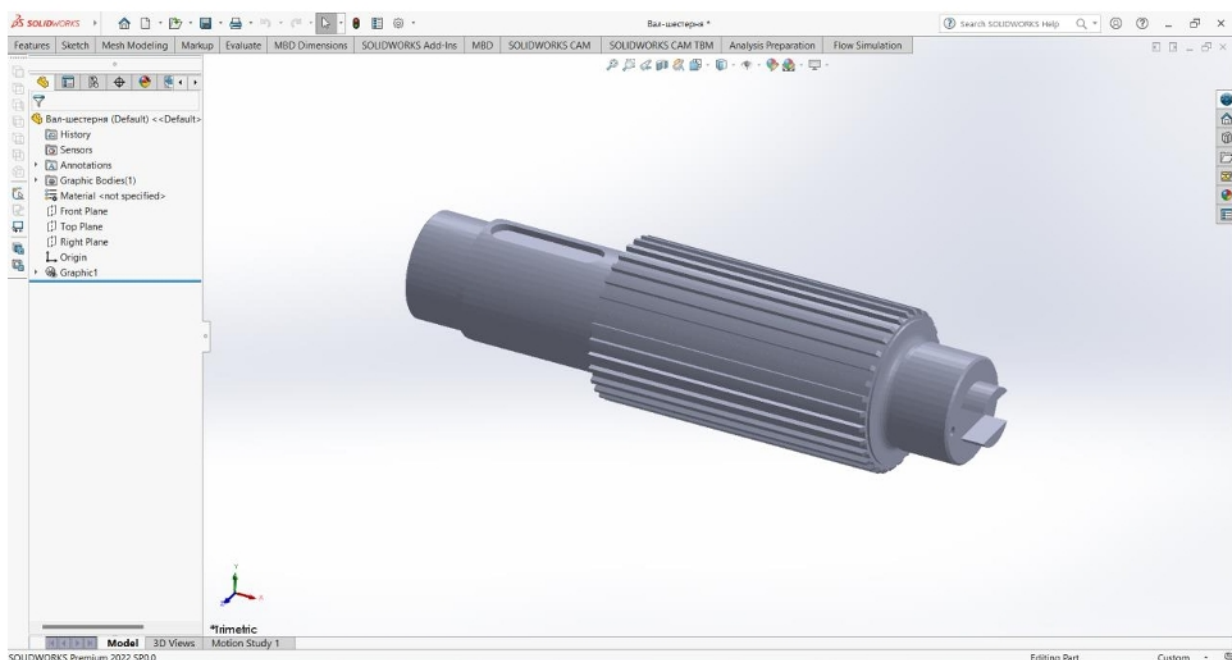


Рисунок 1.2 – 3D модель «Вал-шестерні» зроблена в SolidWorks

Вал-шестерня, що передає значні навантаження на великих швидкостях, повинен відповідати вимогам міцності та стійкості до зносу, тому він виготовлений зі сталі 40Х конструкційної легованої сталі

Таблиця 1.6-Хімічний склад сталі 40Х відповідно до ДСТУ 7806:2015 [5]

C	Si	Mn	Ni	Cr	Cu	P	S
0,36 – 0,44	0,17 – 0,37	0,5 – 0,8	0,8 – 1,1	до 0,3	до 0,3	0,035	0,035

Змн.	Арк.	№ докум.	Підпис	Дата	КНУ.КБР.13124.1-06.01.АСПМВ		Арк.

Таблиця 1.2- Механічні властивості сталі 40Х ДСТУ 7806:2015

Термообробка	Межа плинності $\delta_{0,2}$ , МПа	Тимчасовий опір $\delta_B$ , МПа	Мінімальне відносне видовження $\delta_B$ , %	Відносне звуження $\psi$ , %
Гартування 860°C, охолодження в мастилі. Відпуск 500°C охолодження в воді або в маслі	780	980	10	45

Таблиця 1.3 - Аналоги сталі 40Х:

Назва країни	Назва сталі
США	5135, 5140, 5140H, 5140RH, G51350, G51400, H51350, H51400
Японія	SCr435, SCr435H, SCr440, SCr440H
Євросоюз	37Cr4, 37Cr4KD, 41Cr4, 41Cr4KD, 41CrS4
Китай	35Cr, 38CrA, 40Cr, 40CrA, 40CrH, 45Cr, 45CrH, ML38CrA, ML40Cr
Швеція	2245
Польща	38HA, 40H
Румунія	40Cr10, 40Cr10q
Чехія	14140
Австралія	5132H, 5140
Південна Корея	SCr435, SCr435H, SCr440, SCr440H

Змн.	Арк.	№ докум.	Підпис	Дата	Арк.

КНУ.КБР.13124.1-06.01.АСПМВ

**2 АНАЛІЗ СЛУЖБОВОГО ПРИЗНАЧЕННЯ ДЕТАЛІ. ОПИС КОНСТРУКТИВНИХ ОСОБЛИВОСТЕЙ ДЕТАЛІ ТА УМОВ ІІ ЕКСПЛУАТАЦІЇ**

**2.1 Аналіз якості поверхонь деталі**

Пронумеруємо поверхні на кресленні деталі і використаємо цю нумерацію для позначення в тексті

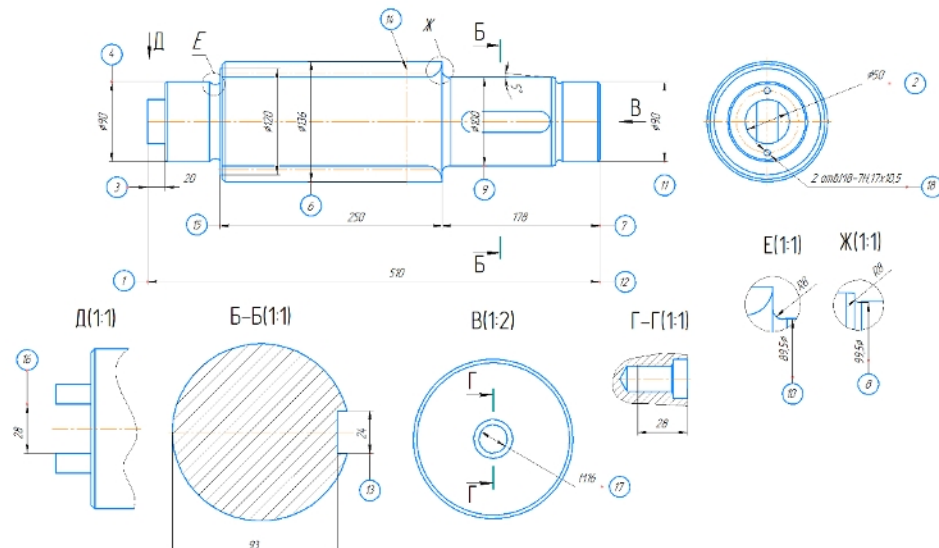


Рисунок 2.1 – Номери позицій валу

Таблиця 2.1 - Взаємозв'язок норм точності

№	Номінальний розмір, мм	Квалітет IT	Допуск T, мкм	Шорсткість Ra, мкм	Відхилення форми розташування поверхні
1	2	3	4	5	6
1,12	510	13	1100	12,5	
2	Ø50	14	620	12,5	
3	20	14	520	12,5	

Змн.	Арк.	№ докум.	Підпис	Дата
Розроб.	Журавель			
Перевір.	Цвінда			
Реценз.				
Н. Контр.	Рязанцев			
Зав. каф.	Нечасєв			

Аналіз службового  
призначення

КНУ.КБР.131.24.1-06.02.АСП

Літ.	Арк.	Аркушів
Кафедра ТМ, гр. ГМ-20		

## Продовження таблиці 2.1

1	2	3	4	5	6
4	Ø90	6	22	0,8	База А, радіальне биття 0,05 мм відносно бази Б, відхилення від циліндричності 0,01 мм
5,10	12 Ø89,5	14 14	430 870	12,5 12,5	
6	Ø136	13	540	3,2	Радіальне биття 0,052 мм відносно баз А і Б
7	178	14	630	12,5	
8	12 Ø99,5	14 14	430 870	12,5 12,5	
9	Ø100	6	22	0,8	Радіальне биття 0,02 мм відносно баз А і Б
11	Ø90	6	22	0,8	База Б радіальне биття 0,02 мм відносно бази А, відхилення від циліндричності 0,01 мм
13	24 93	9 11	52 252	3,2 6,3	
14	m=4, z=32	8	36	1,6	
15	250	13	720	1,6,	
16	28	12	210	6,3	
17	M16×2 Ø22	14 14	430 520	12,5 12,5	
18	M8×1,25	7	15	12,5	Позиційний допуск 0,5 мм.

Перевіримо умову T1>T2> T3 для Ø90: 0,022>0,02> 0,008. Умова виконується

Змн.	Арк.	№ докум.	Підпис	Дата	Арк.
					KHУКБР.13124.1-06.02.АСП

## 2.2 Технічний контроль робочого креслення

Деталь зображена на кресленні два головними видами, двома місцевими видами та двома перерізами показано два перерізи та два виносні елементи для повного уявлення про її форму. Лінійні розміри наведені за допомогою координатного та ланцюгового методів.

Діаметральні розміри мають допуск і відповідності щодо їх відносного розташування. Між головними поверхнями має бути відхилення від циліндричності не більше 0,01 мм.

На кресленні наведено вимогу щодо радіального биття посадкових шийок, яка дорівнює 0,02 мкм, що відповідає відхиленню осей посадкових поверхонь на 0,025 мкм, що є нормальнюю точністю.

Також вказано допуск на радіальне биття зубчастого вінця відносно баз А і Б, але не вказано радіального биття шийки Ø100h6. Отже, ми вказуємо радіальне биття шийки на 0,02 мкм, що становить нормальну точність. Розміри та допуски на них, а також записи на кресленні щодо незазначеніх допусків отворів і валів за H14, h14, а інших за IT14/2, є достатніми для встановлення точності кожного із розмірів на кресленні. Вимоги щодо місця розміщення також достатні для однозначного визначення основних поверхонь між собою та допоміжних щодо основних.

Усі інші поверхні деталі піддаються обробці, що засвідчується записом у правому верхньому куті -  $\sqrt{Ra}12,5(V)$ .

Змн.	Арк.	№ докум.	Підпис	Дата	КНЧ.КБР.13124.1-06.02.АСЛ	Арк.

### 2.3 Якісний аналіз технологічності

Матеріал деталі має меншу оброблюваність порівняно із середньою, оскільки ця сталь є високолегованою.

Під час виготовлення деталі в умовах серійного виробництва рекомендується використовувати її у вигляді прокату або поковки вільним куванням. Форма деталі є простою і має форму ступінчастого валу зі зменшенням діаметрів кінців валу та складається з тіл обертання. Базові поверхні виробу мають достатню довжину і є зручними для  $L$  встановлення та закріплення. У зв'язку з високою жорсткістю деталі:  $\frac{L}{d} = \frac{510}{136} \approx 3,75$ , може бути задіяно декілька інструментів одночасно, при цьому можна вести обробку на високих режимах різання (швидкість, подача, глибина).

Обробку можливо виконувати на верстатах нормальної та підвищеної точності: Ra12,5; Ra6,3; Ra3,2; Ra1,6; Ra0,8. Ці розміри легко досяжні на вищевказаних верстатах. Немає складної конфігурації поверхонь, що дає змогу використовувати стандартні інструменти під час оброблення.

Для встановлення та закріплення деталі можна скористатися стандартним набором пристосувань, таких як трикулачковий патрон, призми, центри.

Вимога до твердості поверхні становить від 202 до 269 НВ і виникає після цементації та загартування, які проводяться перед шліфуванням. Це покращує оброблюваність сталі, адже досягається оптимальне співвідношення жорсткості та міцності.

Деталь має такий нетехнологічний паз з шириною 28H12, який під час фрезерування обрізає центрний отвір. Тому потрібно свердлити новий центрний отвір після фрезерування паза або фрезерувати паз наприкінці обробки.

Нарізання зубчатого вінця восьмого ступеня точності не викликає труднощів і може бути оброблений дисковою модульною фрезою. Після загартування зубчастий вінець не обробляється. Щодо шпонкового паза, до нього не висувають завищених вимог, тому його фрезерують за один прохід кінцевою фрезою.

Форми канавок Ж і Е обробляються різцем для контурного точіння.

За наявності отворів на торці деталі знижує її технологічність, оскільки в перерізі Г-Г отвір розташовується на місці центрового отвору. Відтак такий отвір можна виготовити лише після того, як центральні отвори вже не знадобляться, тобто після шліфування шийок.

Змн.	Арк.	№ докум.	Підпис	Дата	КНУКБР.13124.1-06.02.АСП	Арк.

## 2.4 Кількісний аналіз технологічності

Розраховуємо коефіцієнт використання матеріалу [2]:

$$K_{\text{в.м.}} = \frac{Q_{\partial}}{Q_3}, \quad (2.1)$$

де  $Q_{\partial} = 30$  кг—маса деталі;

$Q_3 = 45$  кг—маса заготовки.

$$K_{\text{в.м.}} = \frac{30}{45} = 0,67 \quad (2.2)$$

Розраховуємо коефіцієнт точності обробки. Для цього розраховуємо середню точність, яка дорівнює [2]:

$$T_{cp} = \frac{6 \cdot 3 + 8 + 9 + 11 + 12 + 13 \cdot 4 + 14 \cdot 7}{18} = 11,56. \quad (2.3)$$

Це свідчить, що деталь має середню точність.

Розраховуємо коефіцієнт шорсткості. Для цього розраховуємо середню шорсткість:

$$III_{cp} = \frac{0,8 \cdot 3 + 1,6 \cdot 2 + 3,2 \cdot 2 + 6,3 \cdot 3 + 12,5 \cdot 8}{18} = 7,27 \text{ мкм}. \quad (2.4)$$

З визначеної середньої шорсткості видно, що деталь має середню шорсткість. Розраховуємо коефіцієнт уніфікації деталі:

$$K_y = \frac{Q_{y.p.} \cdot 28}{Q_3 \cdot 34} = 0,82, \quad (2.5)$$

де  $Q_{y.p.}$  – кількість уніфікованих поверхонь;

$Q_3$  – загальна кількість поверхонь.

Так як вирахуваний коефіцієнт уніфікації  $K_y \leq 0,95$ , то всі показники, крім коефіцієнта уніфікації, знаходяться в нормі, тому деталь загалом є технологічною.

**2.5 Вибір діючого заводського чи типового технологічного процесу. Задачі проектування**

Наведений чинний заводський технологічний процес потребує незначних коригувань. Під час його аналізу було виявлено деякі неточності, зокрема: виготовлення паза 16 та отворів 17 і 18 призводить до зменшення розмірів центральних отворів або взагалі унеможливлює їхнє використання під час шліфування. Це неприпустимо, оскільки для гарантування співвісності основних і допоміжних поверхонь шліфування має виконуватися саме в центрах. Тому

Змн.	Арк.	№ докум.	Підпис	Дата	КНУКБР.13124.1-06.02.АСП	Арк.

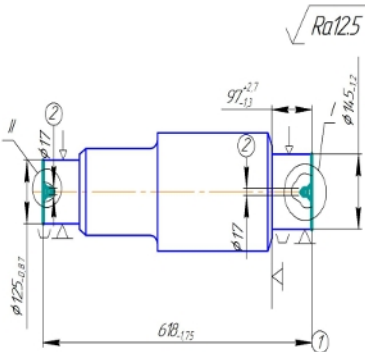
доцільно спершу виконати шліфування, а потім виготовити паз 16 та отвори 17 і 18.

Найпершою операцією, з огляду на серійний тип виробництва і розміри вала, слід обрати фрезерно-центральну операцію. Підрізання торців призведе до зменшення основного часу та допоміжного часу при наступних токарних операції

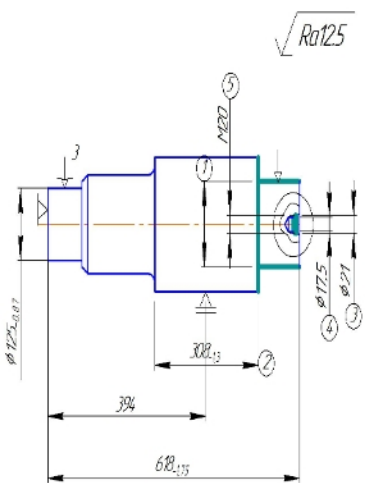
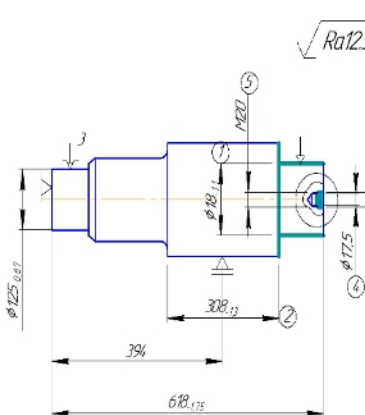
Оскільки верстати, приведені в заводському технологічному процесі (додатки), призначені для одиничного виробництва деталей, а наше завдання полягає в проектуванні технологічного процесу для серійного виробництва, то необхідно замінити їх на верстати з ЧПК. Для чого проведемо техніко-економічне обґрунтування застосування верстатів з ЧПК та вплив цього рішення на собівартість деталі. Також необхідно скласти керуючи програму в САМ системі FutureCAM.

Також для фрезерування зубчатого зачеплення необхідно спроектувати спеціальну дискову фрезу та провести динамічне та статичне дослідження в САЕ системі Solid Works. Всі перелічені доповнення будуть враховані при складанні технологічного процесу на дану деталь.

Таблиця 2.2 – Типовий технологічний процес

№ найменування операції	Ескіз обробки	№ переходу	Зміст переходу	Верстат
1	2	3	4	5
005 Фрезерно- центральна		A	1. Фрезерувати торець 1 2. Свердлити центр. отвір $d=17$	MP77

Продовження таблиці 2.2

1	2	3	4	5
010 Токарно чорнова	<p>Установ А:</p>  <p>Установ В:</p> 	1 2 3 4 5	<p>Точити поверхні 1</p> <p>Підрізати торець 2</p> <p>Розсвердлити отвір 3</p> <p>Зенкерувати отвір 4</p> <p>Нарізати різьбу M20, 5</p>	16К20П
		1 2 3 4 5	<p>Точити поверхню 1</p> <p>Підрізати торець 2</p> <p>Розсвердлити отвір 3</p> <p>Зенкерувати отвір 4</p> <p>Нарізати різьбу M20, 5</p>	

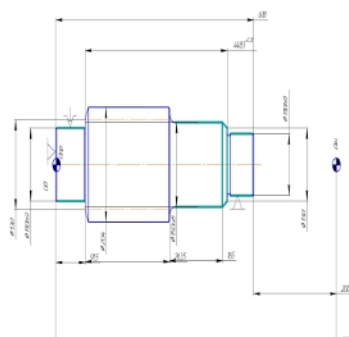
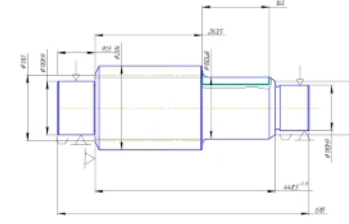
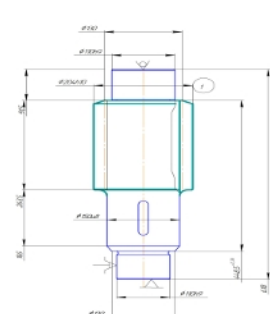
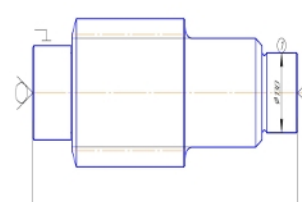
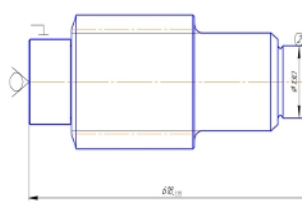
Змн.	Арк.	№ докум.	Підпис	Дата

Продовження таблиці 2.2

1	2	3	4	5
015 Токарна Напівчистова	<p>Установ А:</p> <p>Установ В:</p>	1 2 3 4 5 6	Зняти фаску 1 Точити поверхню 2 Зробити проточку 3 Підрізати торець 4 Зняти фаску 5 Точити поверхню 6	
		1 2 3 4 5 6 7 8 9	Зняти фаску 1 Точити поверхню 2 Зробити проточку 3 Підрізати торець 4 Зняти фаску 5 Точити поверхню 6 Зробити радіус 7 Підрізати торець 8 Зробити фаску 9	16К20Ф3

Змн.	Арк.	№ докум.	Підпис	Дата

## Продовження таблиці 2.2

1	2	3	4	5
020 Токарно чистова		1 2 3 4 5	Точити поверхню 1 Підрізати торець 2 Точити поверхню 3 Точити поверхню 4 Точити поверхню 5	16К20Ф3
025 Вертикально - фрезерна		1	Фрезерувати шпоночний паз 1	6Р11
030 Зубонарізна		1	Нарізати різьбу m=12 Z=14 1	5М161
035 Кругло-шліфувальна	<p>Установ А:</p>  <p>Установ В:</p> 	1 1	Шліфувати поверхню 1 Шліфувати поверхню 2	3М161

Змн.	Арк.	№ докум.	Підпис	Дата	Арк.

## 2.6 Вибір та економічне обґрунтування способу отримання заготовки

Отримати дану заготовку можна отримати поковкою вільним куванням, або взяти з прокату. Для вирішення питання, яка заготовка краще, необхідно зробити техніко-економічне обґрунтування. Порівнюємо дві заготовки по приведеним затратам, тобто на скільки збільшиться собівартість, коли ми будемо оброблювати прокат до форми поковки.

$$Z_0 = A + Z_0 + E_H * Z_K + O_s$$

241,78	155	37,676	0,15	9,686	47,658
--------	-----	--------	------	-------	--------

де

$A$  - вартість заготовки:

$$A = M * C_0 * K_C * K_{оп} * K_B * K_M * K_T - (M - q) * Ц$$

155	30	4,799	1	0,83	0,74	1,21	1	30	45	3,2
-----	----	-------	---	------	------	------	---	----	----	-----

$M$  - маса заготовки, кг

$C_0$  - вихідна оптова ціна 1кг заготовки, грн;

$$C_0 = 40000$$

$K_C, K_{оп}, K_B, K_M, K_T$  - коефіцієнт, який враховує відповідно:

- \* групу складності заготовки
- \* обсяг виробництва заготовок (група серйозності)
- \* вагу заготовки
- \* матеріал заготовки
- \* клас точності вилівка

$q$  - чиста маса деталі, кг

$Ц$  - ціна 1 кг відходів, грн

$Z_0$  - зарплата по операціям механічної обробки, які відрізняються, грн:

$$Z_0 = \frac{27,88 * 33,6 * 1,4 * 1,08 * 1,14 * 1,4}{T_{шт} * C_p * K_1 * K_2 * K_3 * K_4}$$

37,676	60
--------	----

$T_{шт}$  - норма штучно-калькуляційного часу на операцію, яка відрізняється, хв

$C_p$  - часова тарифна ставка четвертого розряду роботи, грн

$K_1, K_2, K_3, K_4$  - коефіцієнти, які враховують відповідно:

- \* преміальні доплати становників ( $K_1 = 1,4$ )
- \* додаткову заплату ( $K_2 = 1,08$ )
- \* відрахування на соціальне страхування ( $K_3 = 1,4$ )
- \* зарплату наладчиків верстатів ( $K_4 = 1,4$ )

$O_s$  - поточні затрати по експлуатації верстата, грн:

$$O_s = \frac{120 * 27,88}{C_1 * T_{шт} * K_5}$$

47,658	60	1,17
--------	----	------

$C_1$  - годинні поточні затрати по експлуатації верстата, грн;  $C_1 = 0,003 \cdot C_0$

$K_5$  - коефіцієнт виконання норм ( $K_5 = 1,17$ )

$E_H$  - нормативний коефіцієнт ефективності ( $E_H = 0,15$ )

$Z_K$  - питомі капітальні затрати на операцію, грн

Змн.	Арк.	№ докум.	Підпис	Дата

*Приведені затрати, пов'язані з виготовленням деталі з заготовки одержаної покекою вільним куванням та прокату, грн*

$$Z = A + Z_0 + E_H * Z_K + O_s$$

241,78	155	37,676	0,15	9,686	47,658
--------	-----	--------	------	-------	--------

де

**A** - вартість заготовки:

$$A = M * C * K_C * K_{оп} * K_B * K_M * K_T - (M - q) * \mathcal{Ц}$$

155	30	4,799	1	0,83	0,74	1,21	1	30	45	3,2
-----	----	-------	---	------	------	------	---	----	----	-----

**M** - маса заготовки, кг

**C** - вихідна оптова ціна 1кг заготовки, грн;

$$C_0 = 40000$$

**K<sub>C</sub>, K<sub>оп</sub>, K<sub>B</sub>, K<sub>M</sub>, K<sub>T</sub>** - коефіцієнт, який враховує відповідно:

- \* групу складності заготовки
- \* обсяг виробництва заготовок (група серййності)
- \* вагу заготовки
- \* матеріал заготовки
- \* клас точності випливка

**q** - чиста маса деталі, кг

**Ц** - ціна 1 кг відходів, грн

**Z<sub>0</sub>** - зарплата по операціям механічної обробки, які відрізняються, грн:

$$Z_0 = \frac{27,88 * 33,6 * 1,4 * 1,08 * 1,14 * 1,4}{T_{шт} * C_p * K_1 * K_2 * K_3 * K_4}$$

37,676
--------

**T<sub>шт</sub>** - норма штучно-калькуляційного часу на операцію, яка відрізняється, хв

**C<sub>p</sub>** - часова тарифна ставка четвертого розряду роботи, грн

**K<sub>1</sub>, K<sub>2</sub>, K<sub>3</sub>, K<sub>4</sub>** - коефіцієнти, які враховують відповідно:

- \* преміальне доплати становчників (**K<sub>1</sub> = 1,4**)
- \* додаткову заплату (**K<sub>2</sub> = 1,08**)
- \* відрахування на соціальне страхування (**K<sub>3</sub> = 1,4**)
- \* зарплату нападчиків верстатів (**K<sub>4</sub> = 1,4**)

**O<sub>s</sub>** - поточні затрати по експлуатації верстата, грн:

$$O_s = \frac{120 * 27,88}{60 * K_5}$$

47,658
--------

**C<sub>1</sub>** - годинні поточні затрати по експлуатації верстата, грн; **C<sub>1</sub> = 0,003 \* C<sub>0</sub>**

**K<sub>5</sub>** - коефіцієнт виконання норм (**K<sub>5</sub> = 1,17**)

**E<sub>H</sub>** - нормативний коефіцієнт ефективності (**E<sub>H</sub> = 0,15**)

**Z<sub>K</sub>** - питомі капітальні затрати на операцію, грн

Змн.	Арк.	№ докум.	Підпис	Дата	Арк.

$$Z_k = \frac{16906 + K_4 * 27,88}{60 * \Phi * \eta_b}$$

9,686	4015	0,202
-------	------	-------

$B$  - балансова вартість верстата, грн

$K_4$  - вартість площи цеха, грн

$$K_4 = \Pi * \Phi * \gamma$$

36969	500	29,575	2,5
-------	-----	--------	-----

$\Pi$  - вартість  $1m^2$  площи механічного цеха, грн

$\Phi$  - габаритні розміри верстата (довжина \* ширину),  $m^2$

$\gamma$  - коефіцієнт, який враховує додаткову площину

$\Phi$  - річний фонд часу роботи верстата, годин

$\eta_b$  - коефіцієнт використання верстата:

$$\Phi = 5,495 * 4,55$$

$$\eta_b = \frac{27,88 * 180}{60 * \Phi * K_5 * m}$$

0,018	3975	1,17	1
-------	------	------	---

$B$  - річна програма випуску деталей, шт

$m$  - кількість верстатів, зайнятих на одній операції

Змн.	Арк.	№ докум.	Підпис	Дата

### 3 ПРОЕКТУВАННЯ ТЕХНОЛОГІЧНОГО ПРОЦЕСУ ВИГОТОВЛЕННЯ ДЕТАЛІ

#### 3.1 Проектування заготовки

Призначаємо основні припуски і граничні відхилення на діаметри уступів і виступів і водимо у таблицю 3.1 за табл. 2 [3].

Таблиця 3.1 – Основні припуски і граничні відхилення на діаметри уступів і виступів

№	Розмір деталі, мм	Основний припуск, мм	Граничні відхилення, мм	Додатковий припуск, мм	Розмір заготовки, мм	Прим.
1	Ø90	9	±3	5	Ø104	99
2	Ø100	10	±3	6	Ø116	110
3	Ø136	11	±3	8	Ø155	147
4	Ø90	9	±3	5	Ø104	99
5	Ø50	9	±3	4	Ø63	59
6	L=510	28	±13		L=538	538
7	L <sub>1</sub> =50	14	±6		L <sub>1</sub> =64	64
8	L <sub>2</sub> =178	18	±6		L <sub>2</sub> =181	181
9	L <sub>3</sub> =255	22	±6		L <sub>3</sub> =277	277
10	L <sub>4</sub> =82	14	±6		L <sub>4</sub> =85	85

З формул розраховуємо припуск на загальну довжину деталі [3].:

$$2,5(\delta \pm \frac{\Delta}{2}) \quad (3.1)$$

де  $(\delta \pm \frac{\Delta}{2})$  – основний припуск та граничні відхилення на найбільший розмір перерізу.

$$2,5 (11 \pm 5) = 28 \pm 13$$

Основний припуск для інших розмірів розраховуємо аналогічно.

Знаходимо припуск на довжину проміжних виступів:

Змн.	Арк.	№ докум.	Підпис	Дата	КНУКБР.131.24.1-06.03.ПТП		
Розроб.	Журавель				Проектування технологічного процесу	Літ.	Арк.
Перевір.	Цвінда						
Реценз.							
Н. Контр.	Рязанцев						
Зав. каф.	Нечасєв					Кафедра ТМ, гр. ГМ-20	

$$1,5 \left( \delta \pm \frac{\Delta}{2} \right) \quad (3.2)$$

$$1,5 (9 \pm 5) = 14 \pm 8 \text{ мм}$$

Припуски на всі інші розміри розраховуємо згідно правилу розмірних ланцюгів

Додатковий припуск  $S$  призначаємо по таблиці 3 [3] на діаметри всіх перетинів, окрім основного, в залежності від різниці діаметрів найбільшого і перерізів деталі, що розглядаються.

Площа перерізу ступіні з найбільшим діаметром:

$$F_{max} = D_{max} \cdot L_{i_{max}} \quad (3.3)$$

де  $D_{max}$  – найбільший діаметр валу,

$L_{i_{max}}$  – довжина ступіні валу з найбільшим діаметром.

$$F_{max} = 538 \cdot 155 = 79515 \text{ мм}^2$$

Поперечні перерізи інших ступеней валу:

$$F_i = D_i \cdot l_i \quad (3.4)$$

де  $l_i$  - довжина  $i$ -тої ступіні вала,

$D_i$  - діаметр  $i$ -тої ступіні вала.

$$F_2 = 63 \cdot 34 = 2142 \text{ мм}^2$$

$$F_3 = 104 \cdot 64 = 6656 \text{ мм}^2$$

$$F_4 = 116 \cdot 127 = 14732 \text{ мм}^2$$

$$F_5 = 104 \cdot 54 = 5616 \text{ мм}^2$$

Отже за основний переріз приймаємо переріз  $\emptyset 155 \pm 8 \text{ мм}$  і переносимо додатковий припуск на нього.

Проводимо перевірку виконуваності уступів по висоті (табл.4) та довжині (табл.5) [3]. при ширині бойка  $B_6 = 200 \text{ мм}$ .

Розрахуємо мінімальну довжину засічки, що необхідна для виконання виїмки або уступа:

$$l_{min} = 0,4 \cdot B_6 = 0,4 \cdot 200 = 80 \text{ мм} \quad (3.5)$$

Перевірка кінцевих уступів.

Змн.	Арк.	№ докум.	Підпис	Дата	Арк.
					KHUKBR.13124.1-06.03.ПТП

Уступ виконується, якщо їх висоти не менші за значень, що наведені в таблиці 4 [3], та їх довжина більше, по відношенню до ширини бойка, що береться з таблиці 5 [3].

Кінцеві уступи діаметром 104 і 63 мм та довжиною 54 мм і 63 мм. відповідно не виконуються, так як довжина менша за регламентовану в таблиці 5, тому подовжуємо їх з сусіднimi.

Отримана поковка:

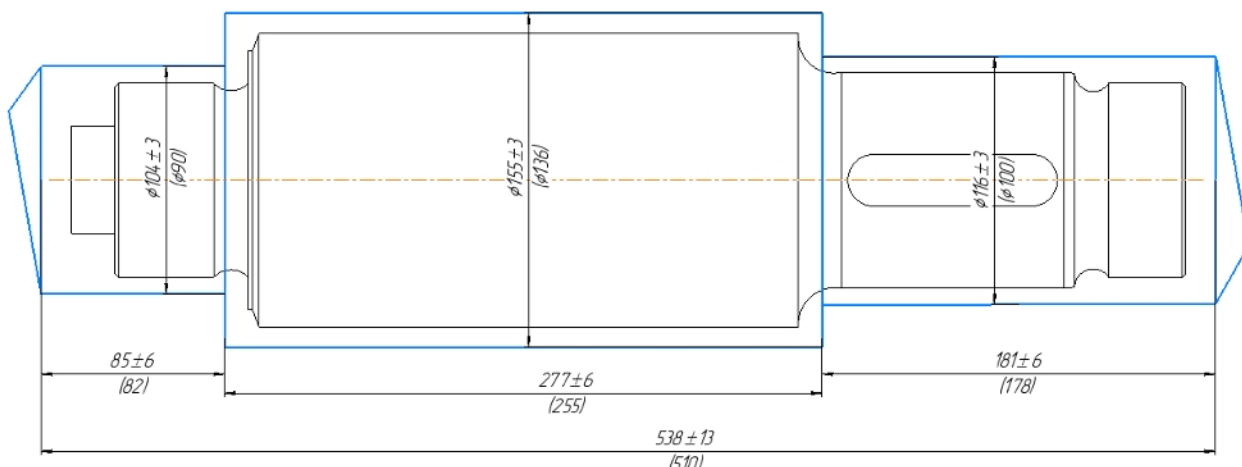


Рисунок 3.1 - Ескіз заготовки «Вал-шестерня» (поковка)

### 3.2 Вибір і обґрунтування баз

Шийки під підшипники 4, 11 та торець 15 є основними конструкторськими базами для даного валу за ДСТУ 2232-93 [4] Базування та бази в машинобудуванні. Терміни та визначення.

Поверхня під зубчасте колесо 9 та поверхні: 3, 12, 13, 16, 17, 18 є конструкторськими базами.

Торець 15, зовнішні циліндричні поверхні 4 та 11, а також центральні отвори 1 та 12 є технологічними базами, що визначають положення деталі при обробці

На схемі видно, як вал встановлюють в трьохкулачковий патрон і піджимають обертаючим центром. Саме таке закріплення валу лишає його 5 ступенів вільності і є достатнім для закріплення на верстаті

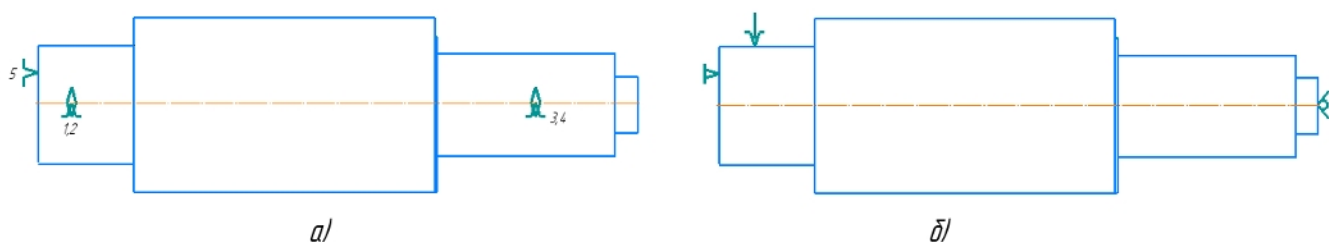


Рисунок 3.2 – Схема базування валу:  
а) теоретична; б) умовна.

На першій операції оброблюємо торці 1 і 12, а також свердлимо в них центральні отвори

Змн.	Арк.	№ докум.	Підпис	Дата	Арк.
					KNU.KBR.13124.1-06.03.ПТП

В цьому випадку базуватися вал буде наступним чином: шийки під підшипник 4 і 11 виступають в ролі подвійної напрямної бази, що полишають деталь чотирьох ступенів вільності, та опорною базою виступає торець 15.

Схема базування приведена на рисунку 3.2.

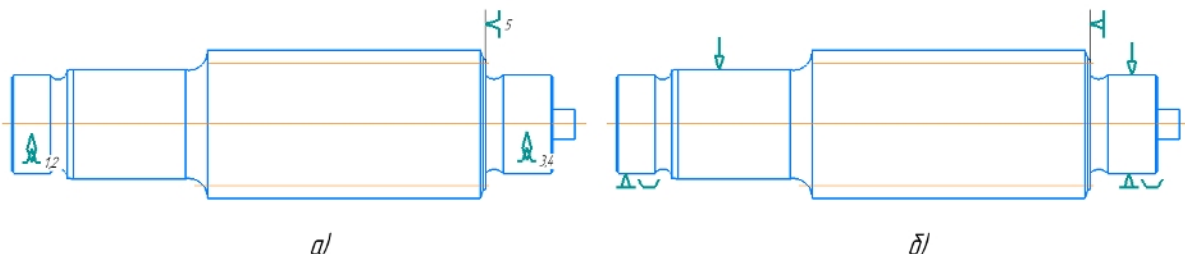


Рисунок 3.3 – Схема базування валу на першій操業ї:  
а) теоретична; б) умовна.

Опорна база і подвійна напрямна будуть реалізовані за допомогою затискних планок і призм

При зубофрезерній та токарних操業ях, схема базування відображенна на рисунку 2.1

Під час свердлінні отворів 17, фрезерування шпонки та пазу 16 використовується схема базування на рисунку 3.2

При свердлінні отворів 18 використовуємо схему базування, що наведена на рисунку 2.2, але замість торцю 15, за упорну базу обираємо поверхню 12

При шліфуванні валу його базують за отворами в торцях 1 та 12, які є упорними базами та подвійною направляючої. Данна схема базування наведена під рисунком 2.3

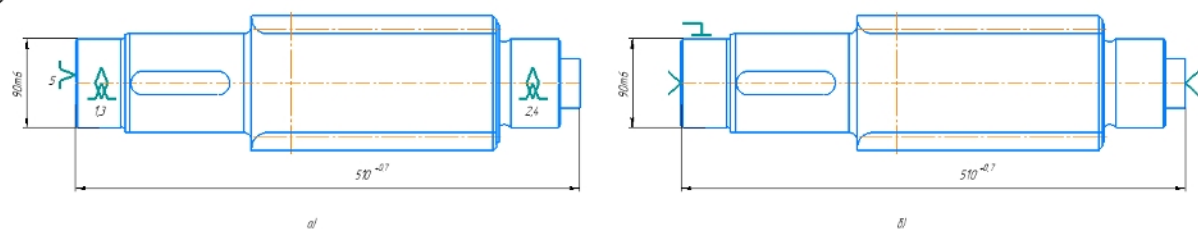


Рисунок 3.4 – Схема базування валу в центрах  
а) теоретична; б) умовна

Змн.	Арк.	№ докум.	Підпис	Дата

Таблиця 3.3–Вибір послідовності обробки поверхонь

№ поверхні, розмір	Найменування переходів	Шорсткість Ra, мкм	Точність IT	Допуск Т, мм
1	2	3	4	5
1, 12 $510^{+1,1}$	1. Поковка 2.Фрезерування чорнове	50 12,5	15 13	2,8 1,1
2 $\varnothing 50 h14$	1. Поковка 2.Токарна чорнова	50 12,5	15 14	1,0 0,62
3 $20H14$	1. Поковка 2.Токарна чорнова	50 12,5	15 14	0,84 0,52
4, 11 $\varnothing 90 m6$	1. Поковка 2.Токарна чорнова 3.Токарна напівчистова 4.Токарна чистова 5.Термообробка 6.Шліфування	50 12,5 3,2 1,6 0,8	15 13 10 8 6	1,4 0,54 0,14 0,054 0,022
6 $\varnothing 136_{-0,63}$	1. Поковка 2.Токарна чорнова 3.Токарна напівчистова 4. Термообробка	50 12,5 3,2	15 14 13	1,6 1,0 0,63
7 $178_{-0,63}$	1. Поковка 2Токарна чорнова	50 12,5	15 13	1,6 0,63
9 $\varnothing 100 h6$	1. Поковка 2.Токарна чорнова 3.Токарна напівчистова 4.Токарна чистова 5.Термообробка 6.Шліфування	50 12,5 3,2 1,6 0,8	15 13 10 8 6	1,4 0,54 0,14 0,054 0,022
$13$ $24^{+0,052}$	1.Фрезерування	3,2	9	0,052

Змн.	Арк.	№ докум.	Підпис	Дата	Арк.

Продовження таблиці 3.3

1	2	3	4	5
14 m=4, z=32	1. Поковка 2.Фрезерування чорнове 3.Фрезерування напівчистове 3.Фрезерування чистове	50 12,5 3,2 1,6	15 13 10 8	1,6 0,63 0,16 0,063
15 $250_{-0,72}$	1. Поковка 2.Токарна чорнова 3.Токарна напівчистова 4.Токарна чистова 5.Термообробка	50 12,5 3,2 1,6	15 12 10 8	1,85 0,46 0,185 0,072
16 28H12	1.Фрезеруванн	6,3	12	0,21
17 M16×2 $\varnothing 22 h14$	1. Поковка 2.Свердлення 3.Розсвердлення 4.Нарізання різьби	50 12,5 12,5 3,2	15 14 14 7	0,84 0,43 0,52 0,018
18 M8–7H	1. Поковка 2.Свердлення 3.Нарізання різьби	50 12,5 12,5	15 12 7	0,5 0,15 0,015

## 3.3 Розробка маршрутно-операційної технології обробки деталі

Таблиця 3.4—Розробка маршруту обробки валу—шестерні

№ операції	Найменування операції	Поверхні, що оброблюються	Поверхні, що базують	Тип, модель верстата
1	2	3	4	5
005	Фрезерно–центрувальна	1, 12	4, 11, 15	Фрезерно–центрувальний MP–71
010	Токарна чорнова 1 установ 2 установ	2, 3, 4, 15 11, 9, 7, 6	1, 11, 12 1, 4, 12	Токарний 16К20

Продовження таблиці 3.4

015	Токарна: 1 установ: (напівчистова) перехід 1 перехід 2 2 установ: (чистова) перехід 1 перехід 2	4, 15, 5 4, 15 11, 9, 6, 10 8 11, 9	1, 11, 12 1, 4, 12	Токарний з ЧПК 16К20Ф3
020	Фрезерна	13	4, 11, 15	6Б76ПФ2
025	Зубофрезерна	14	1, 11, 12	6Р82
030	Свердлильна	18	4, 11, 12	2М614
035	Термообробка			
040	Зачистка центрів			
045	Круглошлифувальна 1 установ 2 установ	4 11, 9	1, 12 1, 12	3М151Ф2
050	Фрезерування пазу	16	4, 11, 15	6Б76ПФ2
055	Контрольна			

## 3.4 Розробка технологічних операцій

Для всіх операції вибираємо модель верстатного устаткування і необхідний ріжучий інструмент і заносимо дані у таблицю 3.4.

Таблиця 3.5—Розробка технологічних операцій

№ операції	1.Назва операції 2. Тип верстату 3. Зміст переходів технологічної операції	Верстатний пристрій	Інструмент (різальний, допоміжний, вимірювальний)	4
				1
005	1.Фрезерно–центрувальна. 2. Фрезерно–центрувальний МР–71. 3.Встановити, закріпiti, зняти. 4.Фрезерувати торці 1 і 12 в розмір $510^{+0,7}$ .	Призми	Фреза торцева Т5К10 $\varnothing 100$ , 2214–0153; 2214–0154 ДСТУ ГОСТ 9473–80 Свердло центрове А $\varnothing 6,3$ Р6М5, 2317– 0105 ДСТУ ГОСТ 14952–80	2

Змн.	Арк.	№ докум.	Підпис	Дата	Арк.

## Продовження таблиці 3.5

1	2	3	4
010	<p>5. Свердлiti центровi отвори Ø6,3.</p> <p>1. Токарна чорнова.      2. Токарний з ЧПК      Токарний 16K20      3. Установ А      – встановити, закрiпити, зняти; точити шийку 2 в розмiр 1; пiдрiзати торець 3 в розмiр 2; точити шийку 4 в розмiр 3; пiдрiзати торець 15 в розмiр 4.      Установ Б      – переустановити, закрiпити, зняти; точити шийку 11 в розмiр 1; точити шийку 9 в розмiр 2; пiдрiзати торець 7 в розмiр 3; точити шийку 6 в розмiр 4.</p>	Трьохкулачковий патрон та заднiй центр, що обертається	<p>Державка      PSSNR2525M12      Пластина      SNMG120416-GH</p>
015	<p>1. Токарна напiвчистова і чистова.      2. Токарний з ЧПК 16K20Ф3      3. Установ А      4. Встановити, закрiпити, зняти;      5. Переход 1      – точити шийку 4 в розмiр 1; пiдрiзати торець 15 в розмiр 2; точити фаски 2,5×45° i 4×45°; точити канавку 5.      6. Переход 2      – точити начисто шийку 4 в розмiр 3; пiдрiзати начисто торець 15 в розмiр 4.</p>	Трьохкулачковий патрон та заднiй центр, що обертається	<p>Державка      DTGNR2525M16      Пластина      TNMG160408-MP</p> <p>Державка      SDJCR2525M11      Пластина      DCMT11T308-SV</p>

Змн.	Арк.	№ докум.	Пiдпис	Дата	Арк.

Продовження таблиці 3.5

1	2	3	4
	<p>7.Установ Б      8.Переустановити,      закріпiti, зняти;      9. Перехід 1      – точити шийку 11 в розмір      1; точити шийку 9 в розмір      2;      точити шийку 6 в розмір      Зточiti фаски <math>2,5 \times 45^\circ</math> i  <math>5 \times 5^\circ</math>;      точити канавки 10, 8;</p> <p>10. Перехід 2      – точити начисто шийку 11      в розмір 4; точити начисто      шийку 9 в розмір 5      5.Свердлити отвір 17 в      розмір <math>\varnothing 14</math>, L=34.      6.Розсвердлити отвір 18 в      розмір <math>\varnothing 22</math>, L=<math>8^{+0,22}</math>.      7.Нарізання різьби M16,      L=28</p>		<p>Державка      SDJCR2525M11      Пластина      DCMT11T308-SV      Державка      GYPR2525M00-K25      Пластина      0800K080N-MM      Державка      SDJCR2525M11      Пластина      DCMT11T308-SV</p> <p>Свердло SD203-14.0-      37-14R5      Мітчик      MTH-      M16X2.00ISO6H-BC-      P002      Свердло      SD101-22.00-40-25R7      Накінечник      SD100-22.00-P</p>
020	<p>1.Фрезерна      2. Фрезерний 6Б76ПФ2      3.Встановити, закріпiti,      зняти.</p> <p>4.Фрезерувати шпонковий      паз 13 в розмір 1.</p>	Призми	<p>Чорнова:      Фреза      MS4MCD1600E      Чистова:      Фреза      MS8MHD2000E</p>
020	<p>1.Фрезерна      2. Фрезерний 6Б76ПФ2      3.Встановити, закріпiti,      зняти.</p> <p>4.Фрезерувати шпонковий      паз 13 в розмір 1.</p>	Призми	<p>Чорнова:      Фреза      MS4MCD1600E      Чистова:      Фреза      MS8MHD2000E</p>

Змн.	Арк.	№ докум.	Підпис	Дата	Арк.

Продовження таблиці 3.5

1	2	3	4
025	1.Зубофрезерна. 2.Зубофрезерний напівавтомат для циліндричних коліс 6Р82. 3.Встановити, закріпiti, зняти. 4.Фрезерувати зубці $z=32$ , $m=4$ начорно і начисто.	Трьохкулаковий патрон та задній центр, що обертається	Дискова модульна фреза Р18 ( $z=12$ , $D=90$ , $d=27$ )
030	1.Свердлильна. 2. Фрезерний 2М614. 3.Встановити, закріпiti, зняти. 4.Свердлити два отвори 18 в розміри $\varnothing 6,8$ , $L=17$ . 5.Нарізити різьбу М8–7Н.	Призми	Свердло SD203А-6.8-25-8R5 Мітчик МТН-М8Х1.25ISO6H-ВС-Р001
035	1.Термообробка. 2.ТВЧ. 3.Гартування.		
040	Зачистка центрів		
045	1.Круглошліфувальна. 2. Круглошліфувальний ЗМ151Ф23. Установ А а) встановити, закріпiti, зняти; б) шліфувати шийку 4 в розмір $\varnothing 90\text{m}6$ ; 4. Установ Б а) переустановити, закріпiti, зняти; б)шліфувати шийку 11 в розмір $\varnothing 90\text{m}6$ ; в)шліфувати шийку 9 в розмір $\varnothing 100\text{h}6$ .	Центра, повідковий патрон	Шліфувальний круг ( $b=50$ , $D=350$ , $d=76$ ) 24A40C1K ДСТУ ГОСТ 2424-83

Змн.	Арк.	№ докум.	Підпис	Дата	Арк.

Продовження таблиці 3.5

1	2	3	4
050	1.Фрезерування пазу. 2. Фрезерний 6Б76ПФ2. Встановити, закріпити, зняти. 4.Фрезерувати паз 16 в розмір 28Н12	Призми	Чорнова: Фреза VFSFPRD2000 та Чистова: Фреза MSMHVD2000E

## 3.5 Вибір розмірів і припусків на обробку

Таблиця 3.6 – Вибір міжопераційних розмірів і припусків на обробку

№ поверхні, розмір	Найменування переходів	Шорсткість, Ra	Точність IT	Допуск T	Припуск t	Між операційний розмір з допуском
1	2	3	4	5	6	7
1, 12 510 <sup>+1,1</sup>	1. Поковка 2.Фрезерування чорнове	25 12,5	15 13	2,8 1,1	28 28	538 <sup>+13</sup> <sub>-13</sub> 510 <sup>+1,1</sup>
2 Ø50h1 4	1. Поковка 2.Токарна чорнова	25 12,5	15 14	1,0 0,62	13 13	Ø116 <sup>+3</sup> <sub>-3</sub> Ø50 <sub>-0,62</sub>
3 20H14	1. Поковка 2.Токарна чорнова	25 12,5	15 14	0,84 0,52	1 1	21 <sup>+0,46</sup> <sub>-0,38</sub> 20 <sup>+0,52</sup>
4, 11 Ø90m 6	1. Поковка 2.Токарна чорнова 3.Токарна напівчистова 4.Токарна чистова 5.Шліфування	25 12,5 3,2 1,6 0,8	15 12 10 8 6	1,4 0,54 0,14 0,054 0,022	16 15,6 7,8 2,6 0,04	Ø116 <sup>+3</sup> <sub>-3</sub> Ø100,4 <sup>+0,363</sup> <sub>+0,013</sub> Ø92,6 <sup>+0,153</sup> <sub>+0,013</sub> Ø90,04 <sup>+0,067</sup> <sub>+0,013</sub> Ø90 <sup>+0,035</sup> <sub>+0,013</sub>
6 Ø136 <sub>-0,6</sub>	1. Поковка 2.Токарна чорнова 3.Токарна напівчистова	25 12,5 3,2	15 14 13	1,6 1,0 0,63	19 11,4 7,6	Ø155 <sup>+1,0</sup> <sub>-0,6</sub> Ø143,6 <sub>-1,0</sub> Ø136 <sub>-0,63</sub>

Змн.	Арк.	№ докум.	Підпис	Дата	Арк.

Продовження таблиці 3.6

1	2	3	4	5	6	7
7 178 <sub>-0,63</sub>	1. Поковка 2.Токарна чорнова	25 12,5	15 13	1,6 0,63	3 3	181 <sub>-6</sub> 178 <sub>-0,63</sub>
9 Ø100h6	1. Поковка 2.Токарна чорнова 3.Токарна напівчистова 4.Токарна чистова 5.Шліфування	25 12,5 3,2 1,6 0,8	15 13 10 8 6	1,4 0,54 0,14 0,054 0,022	16 9,6 4,8 1,1 0,5	Ø116 <sub>-3</sub> Ø106,4 <sub>-0,54</sub> Ø101,6 <sub>-0,14</sub> Ø100,5 <sub>-0,054</sub> Ø100 <sub>-0,022</sub>
13 24 <sup>+0,052</sup>	1.Фрезерування	3,2	9	0,052	24	24 <sup>+0,052</sup>
14 m=32, z=4	1.Фрезерування чорнове 3.Фрезерування чистове	3,2 1,6	9 8	0,087 0,054	2,5×2 3	Ø93 <sub>-0,087</sub> Ø91 <sub>-0,054</sub>
15 250 <sub>-0,72</sub>	1. Поковка 2.Токарна чорнова 3.Токарна напівчистова 4.Токарна чистова	25 12,5 3,2 1,6	15 12 10 8	1,85 0,46 0,185 0,072	27 16,2 8,1 2,7	277 <sub>-6</sub> 260,8 <sub>-0,03</sub> 252,7 <sub>-0,65</sub> 250 <sub>-0,072</sub>
15 250 <sub>-0,72</sub>	1. Поковка 2.Токарна чорнова 3.Токарна напівчистова 4.Токарна чистова	25 12,5 3,2 1,6	15 12 10 8	1,85 0,46 0,185 0,072	27 16,2 8,1 2,7	277 <sub>-6</sub> 260,8 <sub>-0,03</sub> 252,7 <sub>-0,65</sub> 250 <sub>-0,072</sub>
16 28H12	1.Фрезеруванн я	6,3	12	0,21	28	28 <sup>+0,21</sup>
17 M16×2 Ø22h14	1.Свердлення 2.Розсвердлен ня 3.Нарізання різьби	50 12,5 12,5 3,2	15 14 14 7	0,84 0,43 0,52 0,018	14 8 2	Ø14 <sup>+0,43</sup> Ø22 <sub>-0,52</sub> M16 × 2 <sup>(+0,21)</sup>

Змн.	Арк.	№ докум.	Підпис	Дата	Арк.
					KNU.KBR.13124.1-06.03.ПТП

## Продовження таблиці 3.6

1	2	3	4	5	6	7
18 M8-7H	1.Свердлення 2.Нарізання різьби	12,5 12,5	12 7	0,15 0,015	6,8 1,2	$\varnothing 6,8^{+0,15}$ $M8^{(+0,015)}$

## 3.6 Розрахунок режимів різання

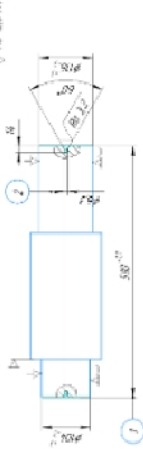
Проведемо розрахунок режимів різання для операції 015:

Вал-шестерня N=180	σσ=780 Мпа	Оберти: 35-1600	D	L	t	S	V	n	i	To	Tдел	Тобс, 10^3	Тпт	Тпт.к	Інструмент	Пластина	Матеріал
Операції і переходи																	
1. Токарня з ЧПК	16K20Ф3									36,22	20,36	14,15	70,73	71,235		9	
<b>Установка A</b>																	
Переход 1																	
Точити шайку в розмір 1	90,00	91	0,90	0,51	79	280,0	1	0,67	0	0	0				DTGCR2525M16	TNMG160408-MP	UE6105
Переход 2																	
Точити шайку в розмір 4 начисто	90,00	62	0,13	0,25	178	630,0	1	0,42	0	0	0				SDJCR2525M11	DCMT11T308-SV	UE6105
<b>Установка B</b>																	
Переход 1																	
Точити шайку в розмір 1	100,00	451	3	0,26	111,5	355,0	1	4,99	0	0	0				DTGCR2525M16	TNMG160408-MP	UE6105
Переход 2																	
Точити шайку в розмір 6 начисто	100,00	178	0,4	0,22	175,9	560,0	1	1,48	0	0	0				SDJCR2525M11	DCMT11T308-SV	UE6105
Точити шайку в розмір 7 начисто	100,00	178	0,4	0,22	175,9	560,0	1	1,48	0	0	0				SDJCR2525M11	DCMT11T308-SV	UE6105

Рисунок 3.5 – Рохраховані режими різання

Змн.	Арк.	№ докум.	Підпис	Дата	КНУКБР.13124.1-06.03.ПТП	Арк.

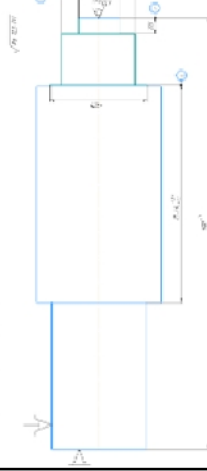
Таблиця 3.7 Режими різання і норми часу на технологічні операції

Номер операції	1. Найменування операції	Ескіз операції	Норми часу	Режими різання												
				D	1	t	s	V	n	i	T <sub>o</sub>	T <sub>e</sub>	T <sub>он</sub>			
1	2	3	4	5	6	7	8	9	10	11	12	13	14	15	16	17
005	1. Фрезерно-центральна. 2. Фрезерно-центральний МР-71.		Фреза торцева Т5К10 Ø100, 2214- 0153; 2214- 0154 ДСТУ ГОСТ 9473-80 Свердло центрое А Ø6,3 Р6М5, 2317-0105 ДСТУ ГОСТ 14952-80	100	90	4	0,15	106,8	340	1	0,28					
	3. Встановити, закріпiti, зняти. 4. Фрезерувати торці розмір 1 (510 <sup>+1,-1</sup> ). 5. Свердлити центрові отвори в розмір 2 (Ø6,3).															

Змн.	Арк.	№ докум.	Підпис	Дата

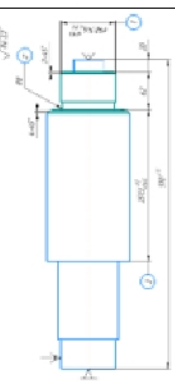
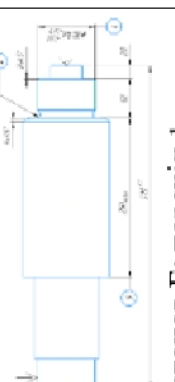
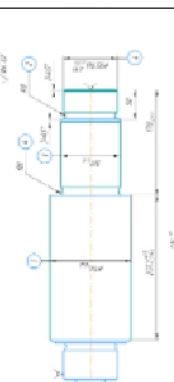
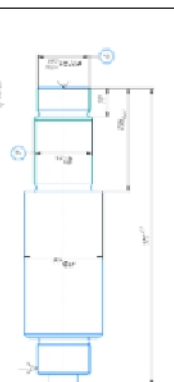
КНУ.КБР.13124.1-06.03.ПП

Арк.

1	2	3	4	5	6	7	8	9	10	11	12	13	14	15	16	17
010	1.Токарна чорнова. 2.Токарний 16К20. 3.Установ A — встановити, закріпити, зняти; — точити шийку в розмір 1; — підрізати горець в розмір 2; — точити шийку в розмір 3; — підрізати горець в розмір 4.	Установ A 														

Змн.	Арк.	№ докум.	Підпис	Дата

Продовження таблиці 3.7

1	2	3	4	5	6	7	8	9	10	11	12	13	14	15	16	17
015 1.Токарна напівчистова і чистова. 2.Токарний з ЧПК 16K20Ф3. 3.Установ А 4. Встановити, закріпiti, зняти; 5. Перехід 1 — точини фаску $2,5 \times 45^\circ$ ; — точини шийку в розмір 1; — точини канавку в розмір 2; — підрізати торець в розмір 3; — точини фаску $4 \times 45^\circ$ . 6. Перехід 2 — точини начисто шийку в розмір 4; — підрізати начисто торець в розмір 5. 7.Установ Б 8. Переустановити, закріпiti, зняти;	Установ А: перехід 1  перехід 2 	Державка DTGNR25 25M16 Пластина TNMG160 90 91 0,9 0,51 79,2 280 1 0,67 408-MP	4,4	12	1,2	13,2	13,2									
Установ Б: перехід 1  перехід 2 	Державка SDJICR252 5M11 Пластина DCMT11Г 308-ASAAA	90 62 0,1 0,25 178,630 1 0,42 3	4,4	12	1,2	13,2	13,2									

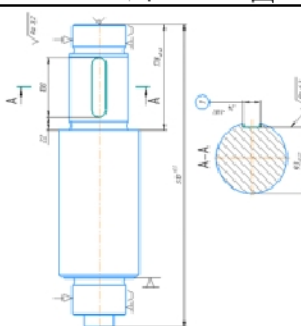
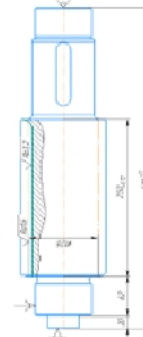
Змн.	Арк.	№ докум.	Підпис	Дата

## Продовження табліці 3.7

1	2	3	4	5	6	7	8	9	10	11	12	13	14	15	16	17
015	- точити фаску $2,5 \times 45^\circ$ ; - точити пійку в розмір 1; - точити канавку в розмір 2; - точити фаску $5 \times 5^\circ$ ; - точити пійку в розмір 3; - точити канавку в розмір 4; - точити пійку в розмір 5.		Державка DTGNR25 25M16													
			Пластина TNMG160 408- MP													
				100	178	0,4	0,22	111	560	1	1,48					
					Державка SDJCR252 5M11											
					Пластина DCMT11T 308-SV											

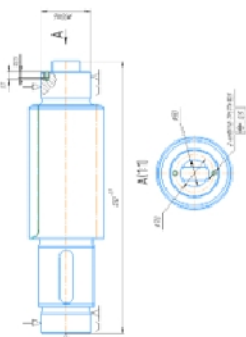
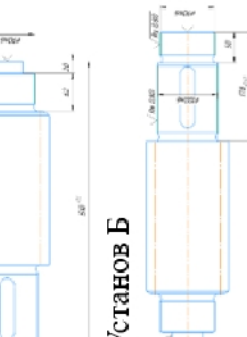
Змн.	Арк.	№ докум.	Підпис	Дата

Продовження таблиці табліці 3.7

1	2	3	4	5	6	7	8	9	10	11	12	13	14	15	16	17
020	1. Шпонково-Фрезерна. 2. Фрезерний широко універсальний інструментальний 6Б76ПФ2. 3. Встановити, закріпити, зняти. 4. Фрезерувати шпонковий паз в розмір 1.	 Чорнова. Фреза MS4MCD1600E Чистова: Фреза MS8MH2000E														
025	1. Зубофрезерна. 2. Зубофрезерний напівавтомат для циліндричних коліс 53A80. 3. Встановити, закріпити, зняти. 4. Фрезерувати зубці z=32, m=4 начорно і начисто.															

Змн.	Арк.	№ докум.	Підпис	Дата

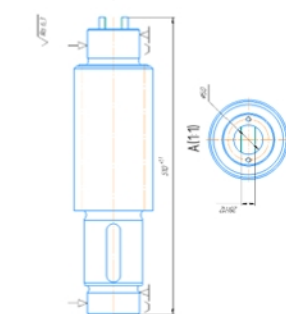
## Продовження таблиці 3.7

	1	2	3	4	5	6	7	8	9	10	11	12	13	14	15	16	17
030	1. Свердлильна. 2. Горизонтально-роздочний 2М614. 3. Встановити, закріпiti, зняти. 4. Свердлili дva отвори в розмiрі Ø6,8, L=17. 5. Нарізати рiзьбу M8-7H.			Свердlo SD203A- 6.8-25-8R5 Мітчик MTH- M8X1.25I SO6H-BC- P001	6,8	17	3,4	0,12	16	750	1	0,21	0,1 8	1,64	0,08	1,72	1,76
035	1. Термообробка. 2. ТВЧ. 3 Гаргування.																
040	Зачистка центрів.																
045	1. Круглошлифувальна. 2. Круглошлифувальний 3M151Ф2. 3. Установ A а) встановити, закріпiti, зняти; б) шліфувати пiйку в розмiр Ø90m6; 4. Установ		Установ A  Установ B 	Шліфувал бний крут (b=50, D=350, d=76) 24A40C1K ДСТУ ГОСТ 2424-83	90	62	0,1	0,12	22,6	80	1	1	0,2 7	2,86	0,14	3	3,04

Змн.	Арк.	№ докум.	Підпис	Дата

Продовження таблиці 3.7

	1	2	3	4	5	6	7	8	9	10	11	12	13	14	15	16	17
	а) переустановити, закріпiti, зняти;																
	б) шліфувати шийку В розмір Ø90мм;																
	в) шліфувати шийку В розмір Ø100мм.																
050	1. Фрезерування пазу. 2. Фрезерний широкого універсальний консольний 6Р81Ш. 3. Встановити, закріпiti, зняти. 4. Фрезерувати паз (28H12)																
055	Контрольна																



Чорнова:  
Фреза  
SFPRD200C  
та  
Чистова:  
Фреза  
MSMHVD  
2000E

Змн.	Арк.	№ докум.	Підпис	Дата

**4 ВИБІР РІЖУЧИХ ТА ДОПОМІЖНИХ ІНСТРУМЕНТІВ ЗА  
МІЖНАРОДНИМИ СТАНДАРТАМИ**

**4.1 Вибір типу інструментів з обробки поверхонь деталі**

З урахуванням кількості і змісту раніше передбачених технологічних методів обробки поверхонь, обираємо сучасні типи інструментів, що запропоновані вітчизняними та іноземними виробниками. До кожної поверхні деталі підбираємо та обґрутовуємо тип інструменту та представляємо його ескіз. Дані занесені в таблицю 4.1.

**Таблиця 4.1 - Вибір типів інструментів по обробці поверхонь деталі**

№ з/п	Найменування операції	Тип інструменту	Примітка
1	2	3	4
1,21	Чорнове підрізання торця	Підрізний різець	-
2,17	Чорнове точіння	Прохідний різець	-
3	Чорнове точіння Пів чистове точіння Чистове точіння Попереднє шліфування	Прохідний різець Шліфувальний круг	-
4,7,14	Чорнове точіння	Канавковий різець	-
5	Чорнове точіння Пів чистове точіння	Прохідний різець	-
6	Чорнове точіння Пів чистове точіння Чистове точіння Попереднє шліфування	Прохідний різець Шліфувальний круг	-
8,13	Чорнове підрізання торцю	Підрізний різець	-
9	Чорнове точіння Пів чистове точіння Чистове точіння	Прохідний різець	-
10	Чорнове точіння	Прохідний різець	-

Змн.	Арк.	№ докум.	Підпис	Дата
Розроб.	Журавель			
Перевір.	Цвінда			
Реценз.				
Н. Контр.	Рязанцев			
Зав. каф.	Нечасєв			

*КНУ.КБР.131.24.1-06.04.ВРТД/*

*Вибір ріжучих та  
допоміжних  
інструментів*

Літ.	Арк.	Аркушів
<i>Кафедра ТМ, гр. ГМ-20</i>		

Продовження таблиці 4.1

1	2	3	4
11,3	Чорнове підрізання торцю	Підрізний різець	-
12	Чорнове точіння	Прохідний різець	-
15	Чорнове точіння	Прохідний різець	-
16	Чорнове підрізання торцю	Підрізний різець	-
17	Чорнове точіння Пів чистове точіння Чистове точіння Попереднє шліфування	Прохідний різець Шліфувальний круг	-
19	Чорнове підрізання торцю	Підрізний різець	-
20	Чорнове точіння	Прохідний різець	-
22	Чорнове фрезерування Пів чистове фрезерування Чистове фрезерування	Кінцева фреза	-
23	Чорнове фрезерування Пів чистове фрезерування Чистове фрезерування	Шпонкова фреза	-
24	Чорнове свердління	Свердло	-
25	Чорнове свердління Цекування Нарізання різьблення	Свердло Цековка Мітчик	-
26	Чорнове свердління Цекування Нарізання різьблення	Свердло Цековка Мітчик	-
27	Зубонарізання	Дискова модульна фреза	-

#### 4.2 Вибір сучасного металорізального інструменту

З урахуванням фізико-механічних властивостей матеріалу деталі, виду обробки і використаних металорізальних верстатів для прийнятих типів металорізальних інструментів, призначаємо матеріал різальної частини, геометричні параметри, матеріал державки (корпусу, хвостовика) інструменту, які виготовлені вітчизняними та іноземними виробниками. Дані занесено в таблицю 4.2

Змн.	Арк.	№ докум.	Підпис	Дата	Арк.
					КНУ.КБР.13124.1-06.04.ВРТДІ

Позиції: 3,4,6,7,8,9,10,11,15 – чорнове точіння:

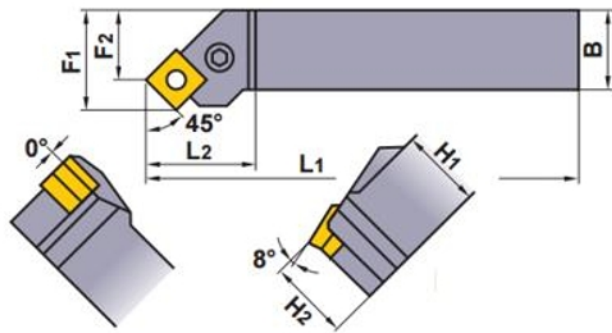


Рисунок 4.1 - Державка PSSNR2525M12 [5, с. 258]

Геометричні параметри:  $H_1 = 25$  мм,  $B = 25$  мм,  $L_1 = 150$  мм,  $L_2 = 31$  мм,  $H_2 = 25$  мм.  $F_1 = 32$  мм.  $F_2 = 24$  мм.

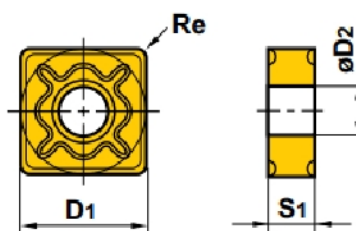


Рисунок 4.2 – Пластина SNMG120416-GH;

CVD покриття: UE6105 [5, с. 126]

Геометричні параметри:  $D_1 = 12,7$  мм,  $S_1 = 4,76$  мм,  $R_e = 1,6$  мм,  $D_2 = 5,16$  мм.

Позиції: 3,4,6,7,8,9,10,11,15 – пів чистове точіння:

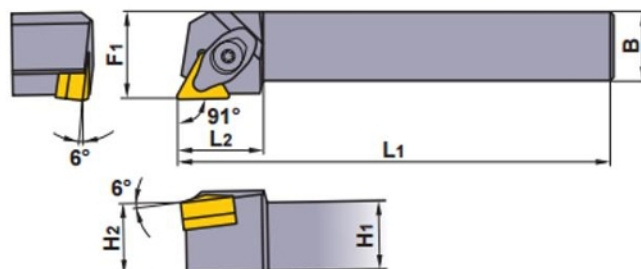


Рисунок 4.3 - Державка DTGNR2525M16 [5, с. 261]

Геометричні параметри:  $H_1 = 25$  мм,  $B = 25$  мм,  $L_1 = 150$  мм,  $L_2 = 25$  мм,  $H_2 = 25$  мм.  $F_1 = 32$  мм.

Змн.	Арк.	№ докум.	Підпис	Дата	Арк.
					KНУКБР.13124.1-06.04.ВРТДІ

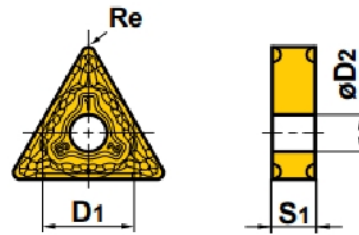


Рисунок 4.4 – Пластина TNMG160408-MP;

CVD покриття: UE6105 [5, с. 130]

Геометричні параметри:  $D_1 = 12,7$  мм,  $S_1 = 4,76$  мм,  $R_e = 0,8$  мм,  
 $D_2 = 3,81$  мм.

Позиції: 3,5,6,9,17 – чистове точіння:

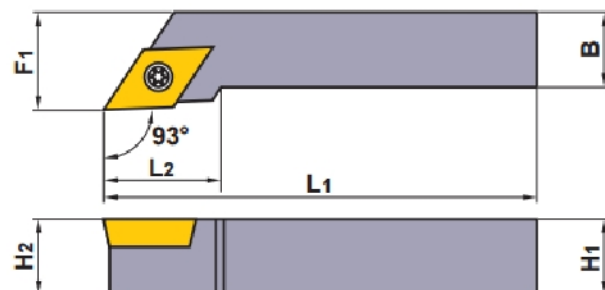


Рисунок 4.5 - Державка SDJCR2525M11 [5, с. 269]

Геометричні параметри:  $H_1 = 25$  мм,  $B = 25$  мм,  $L_1 = 150$  мм,  $L_2 = 25$  мм,  
 $H_2 = 25$  мм.  $F_1 = 32$  мм.

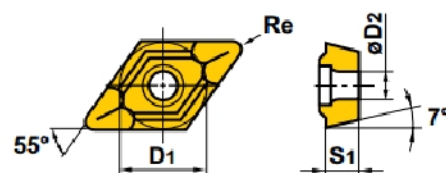


Рисунок 4.6 – Пластина DCMT11T308-SV;

CVD покриття: UE6105 [5, с. 153]

Геометричні параметри:  $D_1 = 9,525$  мм,  $S_1 = 3,97$  мм,  $R_e = 0,8$  мм,  
 $D_2 = 4,4$  мм.

Змн.	Арк.	№ докум.	Підпис	Дата	КНУКБР.13124.1-06.04.ВРТДІ	Арк.

Позиції 5,8,10

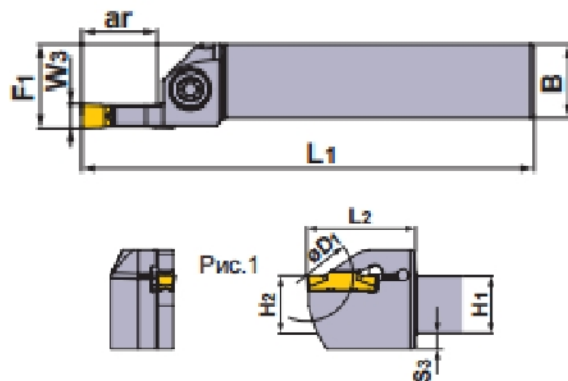


Рисунок 4.7 – Державка GYPR2525M00-K25 [5, с. 386];

Геометричні параметри:  $H_1 = 25$  мм,  $B = 25$  мм,  $L_1 = 170$  мм,  $L_2 = 47$  мм,  $H_2 = 32$  мм,  $F_1 = 28$  мм,  $S_3 = 7$  мм.,  $ar = 25$  мм.,  $D_1 = 50$  мм.

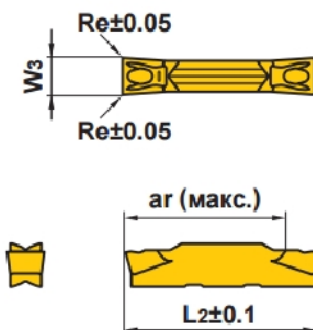


Рисунок 4.8 – Пластина 0800K080N-MM

PVD покриття: VP10RT [5, с. 372];

Геометричні параметри:  $W_3 = 8$  мм,  $R_e = 0,8$  мм,  $L_2 = 30$ , мм.

Позиція 16 (Чорнове фрезерування)

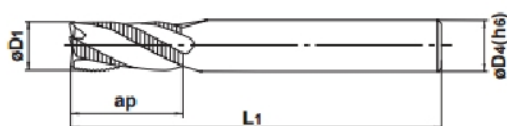


Рисунок 4.9 – Фреза VFSFPRD2000; Матеріал – UWC;

VF покриття [5, с. 723]

Змн.	Арк.	№ докум.	Підпис	Дата	КНУКБР.13124.1-06.04.ВРТДІ	Арк.

Геометричні параметри:  $D_1 = 20$  мм,  $ap = 38$  мм,  $L_1 = 100$ , мм,  $D_4 = 20$  мм, 4 зуба.

Позиція 16 (Чистове фрезерування)

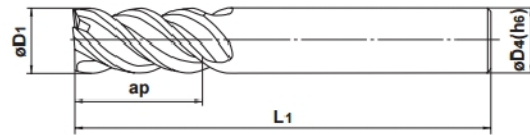


Рисунок 4.10 – Фреза MSMHVD2000E; Матеріал – UWC;

MS покриття [5, с. 692]

Геометричні параметри:  $D_1 = 20$  мм,  $ap = 45$  мм,  $L_1 = 110$ , мм,  $D_4 = 20$  мм, 4 зуба.

Позиція 13 (Чорнове фрезерування шпонкового паза)

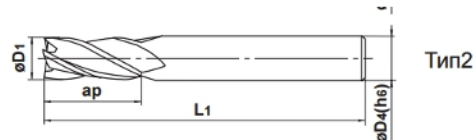


Рисунок 4.11 – Шпонкова фреза MS4MCD1600E; Матеріал – UWC;

MS покриття [5, с. 680]

Геометричні параметри:  $D_1 = 16$  мм,  $ap = 32$  мм,  $L_1 = 90$ , мм,  $D_4 = 16$  мм, 4 зуба.

Позиція 13 (Чистове фрезерування шпонкового паза)

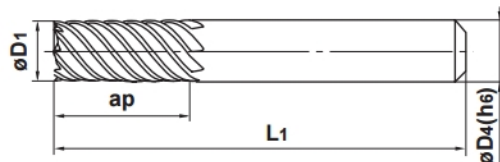


Рисунок 4.12 – Фреза MS8MHD2000E; Матеріал – UWC;

MS покриття [5, с. 685]

Геометричні параметри:  $D_1 = 20$  мм,  $ap = 36$  мм,  $L_1 = 100$ , мм,  $D_4 = 20$  мм, 8 зубів

Змн.	Арк.	№ докум.	Підпис	Дата	КНУКБР.13124.1-06.04.ВРТДІ	Арк.

## Позиція 17

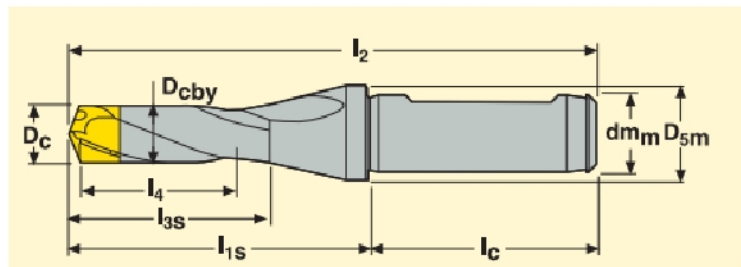


Рисунок 4.13 – Свердло SD101-22.00-40-25R7 [6, с. 78]

Геометричні параметри:  $l_2 = 129,5$  мм,  $l_{1s} = 73,5$  мм,  $l_c = 56$  мм,  $l_{3s} = 53,5$  мм,  $D_{cby} = 21,5$ ,  $dm_m = 25$  мм,  $D_{5m} = 31$  мм,  $D_c = 22 - 24$  мм.



Рисунок 4.14 – Накінечник SD100-22.00-P [6, с. 86]

Покриття PVD: TiAlN

Геометричні параметри:  $D = 22$  мм,  $a = 15,2$  мм.

## Позиція 17

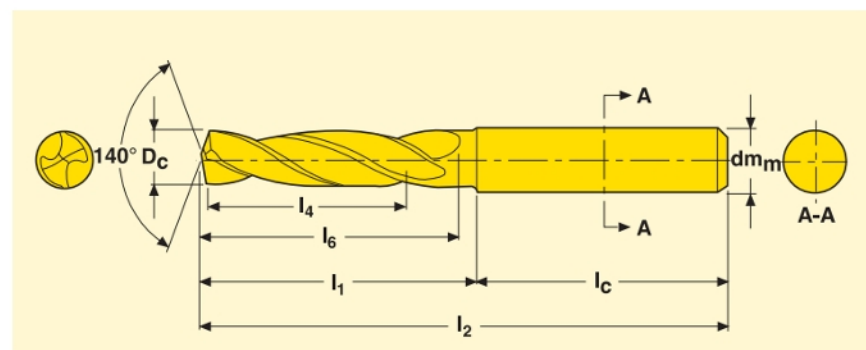


Рисунок 4.15 – Свердло SD203-14.0-37-14R5 [6, с. 26]

Покриття: TiAlN + TiN

Геометричні параметри:  $D_c = 14$  мм,  $l_4 = 38$  мм,  $l_2 = 107$  мм,  $l_1 = 62$  мм,  $l_c = 45$  мм,  $l_6 = 60$  мм,  $dm_m h6 = 14$  мм

Змн.	Арк.	№ докум.	Підпис	Дата	Арк.
					КНУКБР.13124.1-06.04.ВРТДІ

## Позиція 17

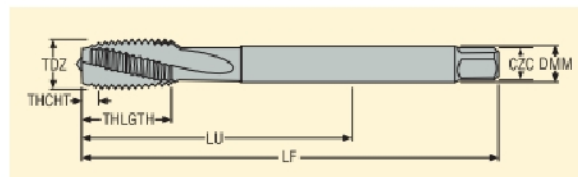


Рисунок 4.16 – Мітчик MTH-M16X2.00ISO6H-BC-P002 [7, с. 190]

Покриття: TiAlN

Геометричні параметри: TDZ = M16, Шаг = 2 мм, DMM = 12 мм,  
 LU = 68 мм, THLGTH = 25 мм, LF = 110 мм, CZC = 12.00 × 9.00 мм.

## Позиція 18

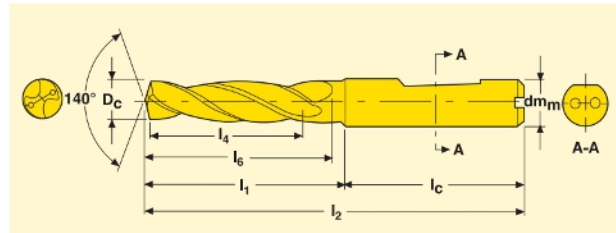


Рисунок 4.18 – Свердло SD203A-6.8-25-8R5 [7, с. 32]

Покриття: TiAlN + TiN.

Геометричні параметри: D<sub>c</sub> = 6,8 мм, l<sub>4</sub> = 25 мм, l<sub>2</sub> = 79 мм, l<sub>1</sub> = 43 мм,  
 l<sub>c</sub> = 36 мм, l<sub>6</sub> = 34 мм , dm<sub>m</sub>h6 = 8 мм.

## Позиція 18

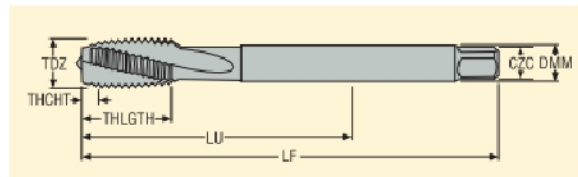


Рисунок 4.16 – Мітчик MTH-M8X1.25ISO6H-BC-P001 [7, с. 188]

Покриття: TiAlN

Геометричні параметри: TDZ = M8, Шаг = 1,25 мм, DMM = 10 мм,

Змн.	Арк.	№ докум.	Підпис	Дата	Арк.
					КНУКБР.13124.1-06.04.ВРТДІ

Таблиця 4.2 - Вибір параметрів різальної частини інструментів

№ пов.	Тип інструменту	Матеріал різальної частини інструменту	Матеріал державки (корпуса, хвостовика) інструменту	Геометричні параметри різальної частини інструмента
1	2	3	4	5
2,17	Прохідний різець	Чорнова - UE6105	Сталь 40	$\varepsilon = 90^\circ$
3	Прохідний різець	Чорнова - UE6105 П/ч - UE6105 Чистова - UE6105	Сталь 40	$\varepsilon = 90^\circ$ $\varepsilon = 60^\circ$ $\varepsilon = 55^\circ$
3,8,10	Канавковий різець	VP10RT	Сталь 40	-
5	Прохідний різець	Чорнова - UE6105 П/ч - UE6105	Сталь 40	$\varepsilon = 90^\circ$ $\varepsilon = 60^\circ$
6	Прохідний різець	Чорнова - UE6105 П/ч - UE6105 Чистова - UE6105	Сталь 40	$\varepsilon = 90^\circ$ $\varepsilon = 60^\circ$ $\varepsilon = 55^\circ$
8,13	Підрізний різець		Сталь 40	$\varepsilon = 90^\circ$
9	Прохідний різець	Чорнова - UE6105 П/ч - UE6105 Чистова - UE6105	Сталь 40	$\varepsilon = 90^\circ$ $\varepsilon = 60^\circ$ $\varepsilon = 55^\circ$
10	Прохідний різець	Чорнова - UE6105	Сталь 40	$\varepsilon = 90^\circ$
11,12	Підрізний різець	Чорнова - UE6105	Сталь 40	$\varepsilon = 90^\circ$
13	Прохідний різець	Чорнова - UE6105	Сталь 40	$\varepsilon = 90^\circ$
14	Прохідний різець	Чорнова - UE6105	Сталь 40	$\varepsilon = 90^\circ$
17	Прохідний різець	Чорнова - UE6105 П/ч - UE6105 Чистова - UE6105	Сталь 40	$\varepsilon = 90^\circ$ $\varepsilon = 60^\circ$ $\varepsilon = 55^\circ$

Змн.	Арк.	№ докум.	Підпис	Дата	Арк.

Продовження таблиці 4.2

1	2	3	4	5
19	Підрізний різець	Чорнова - UE6105	Сталь 40	$\varepsilon = 90^\circ$
20	Прохідний різець	Чорнова - UE6105	Сталь 40	$\varepsilon = 90^\circ$
16	Кінцева фреза	Чорнова - UWC Чистова - UWC	У10	-
13	Шпонкова фреза	Чорнова - UWC Чистова - UWC	У10	-
17	Свердло	Чорнова - PVD: TiAlN	У10	-
17	Свердло Цековка Мітчик	Чорнове – TiAlN + TiN Цекування – Наріз. різьби – TiAlN	У10	-
18	Свердло Цековка Мітчик	Чорнове – TiAlN + TiN Цекування – Наріз. різьби – TiAlN	У10	-

#### 4.3 Вибір типорозміру різальних інструментів

З урахуванням виду обробки, типу інструмента, параметрів різальної частини і габаритів, визначених за умовою міцності, призначаються типорозміри металорізальних інструментів, які виготовлені вітчизняними та іноземними виробниками. Приводимо ескіз вибраного ріжучого інструменту відповідно до оброблюваної поверхні. Дані занесено в таблицю 2.3.

Таблиця 4.3 - Вибір типорозміру різальних інструментів

№ пов.	Тип інструменту і пластини	Основні розміри інструменту, пластини	Матеріал різальної частини інструменту	Шифр інструменту (державки, пластини) за міжнародними стандартами
1	2	3	4	5
3,4,6,7,8, 9,10,11,	Прохідний різець для зовнішнього точіння	H1=25мм, B=25мм. L1=150мм, L2=31мм, H2=25мм,F1=32мм, F2=24мм. та D1=12,7мм,S1=4,76мм, Re=1,6мм,D2=5,16мм.	Чорнова - UE6105	Державка PSSNR2525M12 Пластина SNMG120416-GH
3,5,6,9,	Прохідний різець для зовнішнього точіння	H1=25мм, B=25мм. L1=150мм, L2=25мм, H2=25мм,F1=32мм, та D1=12,7мм,S1=4,76мм ,	Пів чистова- UE6105	Державка DTGNR2525M16 Пластина TNMG160408-MP
3,5,6,9,	Прохідний різець для зовнішнього точіння	H1=25мм, B=25мм. L1=150мм, L2=25мм, H2=25мм,F1=32мм, та D1=9,525мм,S1=3,97мм ,	Чистова - UE6105	Державка SDJCR2525M11 Пластина DCMT11T308-SV

Змн.	Арк.	№ докум.	Підпис	Дата	Арк.

Продовження таблиці 4.3

1	2	3	4	5
3,8,10	Канавковий різець	H1=25мм, В=25мм, L1=170мм, L2=47мм, H2=32мм, F1=28мм, S3=7мм, ar=25мм, D1=50мм та W3=8мм, Re=0,8мм, L2=30мм	Точіння канавок - VP10RT	Державка GYPR2525M00-K25 Пластина 0800K080N-MM
16	Торцева фреза	D1=20мм, ap=38мм, L1=100мм, D4=20мм, 4 зуба та D1=20мм, ap=45мм, L1=110мм, D4=20мм, 4 зуба	Чорнове фрезерування - VF Чистове фрезерування - MS	Чорнове – Фреза VFSFPRD2000 та Чистове – Фреза MSMHVD2000E
13	Шпонкова фреза	D1=16мм, ap=32мм, L1=90мм, D4=16мм, 4 зуба та D1=20мм, ap=36мм, L1=100мм, D4=20мм, 8 зубів	Чорнове фрезерування - VF Чистове фрезерування - MS	Чорнове – Фреза MS4MCD1600E Чистове – Фреза MS8MHD2000E
17	Свердло	l2=129,5мм, l1s=73,5мм lc=56мм, l3s=53,5мм Dcby=21,5мм, dmm=25мм, D5m=31мм, Dc=22мм. та D=22 мм, a=15,2 мм.	Чорнове свердління- PVD: TiAlN	Свердло SD101-22.00-40-25R7 Накінечник SD100-22.00-P

Змн.	Арк.	№ докум.	Підпис	Дата	Арк.

Продовження таблиці 4.3

1	2	3	4	5
17	Свердло Мітчик	l4=38мм,l2=107мм l1=62мм,lc=45мм l6=60мм, dmmh6=14мм,Dc=14мм; та TDZ=M16,Шаг=2 мм, THLGTH=25мм, DMM=12мм, LU=68мм,LF=110мм, CZC=12.00×9.00мм.	Чорнове свердління- TiAlN + TiN Нарізання різби- TiAlN	Свердло SD203- 14.0-37-14R5 Мітчик MTH- M16X2.00ISO6 H-BC-P002
18	Свердло Мітчик	l4=25мм,l2=79мм l1=43мм,lc=36мм l6=34мм, dmmh6=8мм,Dc=6,8мм; та TDZ=M8,Шаг=1,25 мм, THLGTH=20мм, DMM=10мм, LU=20мм,LF=100мм, CZC=10.00×8.00мм.	Чорнове свердління- TiAlN + TiN Нарізання різби- TiAlN	Свердло SD203A-6.8-25- 8R5 Мітчик MTH- M8X1.25ISO6H -BC-P001

$$P_{z\text{жорс}} = \frac{3fEJ}{l^3} = \frac{3 * 0,1 * 10^{-3} * 2 * 10^{11} * 3,25 * 10^{-8}}{(65 * 10^{-3})^3} = 7100 \text{ Н} \quad (4.1)$$

Де: f=0,1 – допустима стріла прогину при чорновому точенні;

E –  $2 * 10^{11}$  Па – модуль пружності матеріалу державок;

J – момент інерції прямокутного перетину державки;

$$J = \frac{bh^3}{12} = \frac{25 * 25^3}{12} = 32500 \text{ Н.}$$

Перевірка різця на міцність і жорсткість:

$$P_{z\text{доп}} > P_z < P_{z\text{жорс}} \quad (4.2)$$

$$8000 > 3540 < 7100$$

Умова виконана. Різець володіє достатньою міцністю і жорсткістю.

Змн.	Арк.	№ докум.	Підпис	Дата	КНУКБР.13124.1-06.04.ВРТДІ	Арк.

#### 4.4. Вибір типорозміру допоміжних інструментів

Враховуючи параметри поверхонь посадочних місць верстата під Різальний інструмент та параметри поверхонь посадочних місць різальних інструментів, призначаємо типи допоміжних інструментів за міжнародними стандартами до кожного обраного різального інструменту. Дані занесемо в таблицю 4.4.

Таблиця 4.4 - Вибір типу допоміжного інструменту

№ пов	Металорізальний верстат (тип, модель)	Параметри Посадочного місця верстата під інструмент	Тип ріжучого інструменту (Шифр інструменту)	Параметри посадочного місця ріжучого інструменту, мм	Допоміжний інструмент (Шифр інструменту) за міжнародними стандартами
1	2	3	4	5	6
3,4,6,7, 8,9,10, 11,15	16K20	VDI40	PSSNR 2525M12	b=25; h=25	Різцетримач осьовий короткий, тип С1: Т.C1- 40Х25Х85
3,5,6, 9, 12,15, 17,20	16K20Ф3	VDI40	PSSNR 2525M12	b=25; h=25	Різцетримач осьовий короткий, тип С1: Т.C1- 40Х25Х85
3,5,6, 9,17	16K20Ф3	VDI40	DTGNR 2525M16	b=25; h=25	Різцетримач осьовий короткий, тип С1: Т.C1- 40Х25Х85
3,5,6, 9,17	16K20Ф3	VDI40	SDJCR 2525M11	b=25; h=25	Різцетримач осьовий короткий, тип С1: Т.C1- 40Х25Х85

Змн.	Арк.	№ докум.	Підпис	Дата	Арк.

Продовження таблиці 4.4

1	2	3	4	5	6
4,7,14	16K20Ф3	VDI40	GYPR 2525M00-K25	b=25; h=25	Різцетримач осьовий короткий, тип C1: T.C1-40X25X85
17	HAAS UMC-1000	BT 40 ISO	MSMHVD2000E	Ø20	Гідропластовий патрон E341458342090
23	6Б76ПФ2	BT 40 ISO	MS4MCD1600E	Ø16	Гідропластовий патрон E341458341690
12	6Б76ПФ2	BT 40 ISO	MS8MHD2000E	Ø20	Гідропластовий патрон E341458342090
13	HAAS UMC-1000	BT 40 ISO	SD101-22.00-40- 25R7	Ø25	Weldon – DIN 1835 E34145842590
16	HAAS UMC-1000	BT 40 ISO	SD203-14.0-37- 14R5	Ø14	Гідропластовий патрон E341458341490
17	2M614	BT 40 ISO	MTH- M16X2.00ISO6H- BC-P002	DMM=12	Мітч. патрон E4041586725130 та Цанги ER 25 393.14- 25D120X090
18	2M614	BT 40 ISO	SD203A-6.8-25- 8R5	Ø8	Гідропластовий патрон E341458340890
18	2M614	BT 40 ISO	MTH- M8X1.25ISO6H- BC-P001	DMM=10	Мітч. патрон E4041586725130 та Цанги ER 25 393.14- 25D100X080

Змн.	Арк.	№ докум.	Підпис	Дата	Арк.
					КНУ.КБР.13124.1-06.04.ВРТДІ

#### 4.5 Проектування пристрою для шпонково-фрезерної операції

Розрахуємо похибку базування [12]:

$$\varepsilon_1 = 1,21T_d = 1,21 \cdot 0,022 = 0,02662 \text{ мм.}$$

Сила різання  $P_z$  буде дорівнювати:

$$\begin{aligned} P_z &= 60037 \cdot N_{\text{рез}} & (4.3) \\ P_z &= 60037 \cdot \frac{1,1}{22,6} = 2022 \text{ Н;} \\ P_H &= (1,1 \dots 1,2) \cdot P_z = 1,1 \cdot 2022 = 2224 \text{ Н;} \\ P_V &= (0,2 \dots 0,3) \cdot P_z = 0,25 \cdot 2022 = 506 \text{ Н;} \end{aligned}$$

Враховуємо сили, які діють на вал від затиску:

$$F_{\text{затиску}} - 2 \cdot R \cdot \cos 45^\circ = 0,$$

Отже:

$$R = \frac{F_{\text{затиску}}}{2 \cos 45^\circ} = 0,707 \cdot F_{\text{затиску}};$$

Знаходимо коефіцієнти надійності і закріплення за таблицями 19.1 і 19.2 [12]:

$$\begin{aligned} K &= 1,5 \cdot K_1 \cdot K_2 \cdot K_3 \cdot K_4 \cdot K_5 \cdot K_6 & (4.4) \\ K &= 1,5 \cdot 1 \cdot 1,3 \cdot 1 \cdot 1,2 \cdot 1 \cdot 1 = 2,34; \end{aligned}$$

З'ясовуємо силу затиску, приймаючи при цьому умови надійності:

$$K \cdot P_H = 0,6 \cdot F_{\text{затиску}}^H \quad (4.5)$$

$$K \cdot P_V \cdot l_2 = F_{\text{затиску}}^V \cdot l_1 \quad (4.6)$$

Звідки:

$$F_{\text{затиску}} = F_{\text{затиску}}^H + F_{\text{затиску}}^V = 1,1 \cdot K \cdot P_z / 0,6 + 0,25 \cdot P_z \cdot K \cdot l_2 / l_1 \quad (4.6)$$

$$F_{\text{затиску}} = 2022 \cdot 2,34 \left( \frac{1,1}{0,6} + 0,25 \cdot 2,34 \cdot \frac{470}{285} \right) = 13240 \text{ Н}$$

Обираємо гайку для затискача:

$$W_r = \frac{F_{\text{затиску}} b}{a \eta} = \frac{13240 \cdot 2}{0,95} = 27,8 \text{ кН}$$

Обираємо гайку [12]

Змн.	Арк.	№ докум.	Підпис	Дата	Арк.
					КНУКБР.13124.1-06.04.ВРТДІ

## 5 ПРОЕКТУВАННЯ СПЕЦІАЛЬНОГО ІНСТРУМЕНТУ

### 5.1 Розрахунок геометричних параметрів спеціального інструменту

На основі аналізу методів обробки поверхонь та вибраних типів ріжучих інструментів виконуємо розрахунок спеціального ріжучого інструменту – дискова-модульна фреза

Вихідні дані:

$m=4$  мм;

кут зачеплення  $\alpha_d = 20^\circ$ ;

кількість зубців нарізуваного колеса  $z=32$ ;

коєфіцієнт зміщення вихідного контура  $\varepsilon=0,04$ ;

припуск під наступну операцію  $\Delta S=0,22$  мм;

ступінь точності 7-С;

клас точності А;

матеріал: сталь 40Х;

твердість 261-269 НВ;

Порядок розрахунку:

5.1.1 Визначення радіуса [13] основного кола колеса:

$$r_b = \frac{mz}{2} \cos \alpha_d = \frac{4 \cdot 32}{2} \cos 20^\circ = 60,14 \text{ мм.} \quad (5.1)$$

5.1.2 Визначення кута тиску [13] в будь-якій точці профілю: найвища точка профілю знаходиться на радіусі виступів, тобто

$$r_{12} = r_a = r_o + h_a = \frac{mz}{2} + (h_a + \varepsilon) = \frac{4 \cdot 32}{2} + (1 + 0,04) \cdot 4 = 68,16 \text{ мм;}$$

$$\cos \alpha_x = \frac{r_b}{r_x}; \quad (5.2)$$

$$\cos \alpha_1 = \frac{60,14}{68,16} = 1 \quad \alpha_1 = \arccos 1 = 0^\circ;$$

$$\cos \alpha_2 = \frac{60,14}{60,809} = 0,989 \quad \alpha_2 = \arccos 0,989 = 8,5^\circ$$

5.1.3) Визначення половини кутової ширини западини [13] на ділильному колі:

					<i>КНУ.КБР.131.24.1-06.05.ПСІ</i>		
Змн.	Арк.	№ докум.	Підпис	Дата			
Розроб.	Журавель						
Перевір.	Цвінда						
Реценз.							
Н. Контр.	Рязанцев						
Зав. каф.	Нечасєв						
<i>Проектування спеціального інструменту</i>					Lіт.	Арк.	Аркушів
					<i>Кафедра ТМ, гр. ГМ-20</i>		

$$\delta_d = \frac{\pi}{2z} - \frac{2\varepsilon \cdot \operatorname{tg}\alpha_d}{z} + \frac{\Delta S_d}{mz} = \frac{\pi}{2 \cdot 32} - \frac{2 \cdot 0,03 \cdot \operatorname{tg}20^\circ}{32} + \frac{0,22}{4 \cdot 32} = 0,0494 \text{ рад;} \quad (5.3)$$

$\Delta S_d$  – потоншення зубців колеса чи потовщення зубців інструмента для утворення бокового проміжку

5.1.4 Визначення половини кутової ширини [13] на колі радіуса  $r_x$ :

$$\delta_x = (\delta_d + \operatorname{inv}\alpha_x - \operatorname{inv}\alpha_d) \cdot 57,29578, \text{град.}; \operatorname{inv}20^\circ = 0,014904 \quad (5.4)$$

$$\delta_1 = (0,0494 + \operatorname{inv}0^\circ - \operatorname{inv}20^\circ) \cdot 57,29578 = 1,978^\circ;$$

5.1.5 Визначення координат [13] профільних точок інструменту:

$$\begin{aligned} \text{абциса } x_x &= r_x \sin \delta_x; \\ \text{ордината } y_x &= r_x \cos \delta_x; \end{aligned} \quad (5.5)$$

$$\begin{aligned} x_1 &= 60,14 \cdot \sin 1,978^\circ = 2,07 \text{ мм.}; & y_1 &= 60,14 \cos 1,978^\circ = 60,1 \text{ мм.}; \\ x_2 &= 60,809 \cdot \sin 2,04101^\circ = 2,16; & y_2 &= 60,14 \cos 2,04101^\circ = 60,77 \text{ мм.} \end{aligned}$$

5.1.6 Ширина западин [13] колеса  $S = 2x$ :

$$\begin{aligned} S_1 &= 2 \cdot 2,07584 = 4,15168 \text{ мм.}; \\ S_2 &= 2 \cdot 2,165692 = 4,331384 \text{ мм.} \end{aligned} \quad (5.6)$$

5.1.7 Висота профілю [13] зубця:

$$h = y - r_f; \quad (5.7)$$

$r_f$  – радіус кола западин;

$$r_f = \frac{mz}{2} - (h_f + C - \varepsilon) \cdot m = \frac{4 \cdot 32}{2} - (1 + 0,25 - 0,04) \cdot 4 = 59,16 \text{ мм.}; \quad (5.8)$$

$$\begin{aligned} h_1 &= 60,10449 - 59,16 = 0,9444 \text{ мм.}; \\ h_2 &= 60,77006 - 59,16 = 1,61 \text{ мм.} \end{aligned}$$

5.1.8 Визначення ширини [13] фрези:

$$B = (1 + 0,01b) \cdot S_{max} = (1 + 0,01 \cdot 21) \cdot 9,814 = 11,88 \text{ мм.} \quad (5.9)$$

Приймаємо  $B = 13$  мм.

Змн.	Арк.	№ докум.	Підпис	Дата	Арк.
					KHUKBR.13124.1-06.05.PC

5.1.9 Задній вершинний кут  $\alpha_B = 10^\circ$ :

Приймаємо  $\alpha_B = 10^\circ$ ;

5.1.10) Визначення [12] величини затилування для шліфованої ділянки:

$$K_{ш} = \frac{\pi \cdot D}{z} \cdot \operatorname{tg} \alpha_B = \frac{\pi \cdot 90}{12} \cdot \operatorname{tg} 10^\circ = 4,15 \text{ мм}; \quad (5.10)$$

Де D – діаметр фрези; z- кількість зубців фрези; D і z приймають із стандартного ряду значень

5.1.11 Визначення [13] величини затилування нешліфованої ділянки:

$$K_{нш} = (1,2 \dots 1,35) K_{ш} = (1,25 \dots 1,35) \cdot 4,15 = 4,98 - 5,6 \text{ мм}; \quad (5.11)$$

Приймаємо  $K_{нш} = 5,4 \text{ мм}$ .

5.1.12 Визначення [13] глибини остружкових рівців:

$$H = h_{max} + (3 \dots 5) = 8,15 + (3 \dots 5) = 11,15 - 13,15 \text{ мм} \quad (5.13)$$

5.1.13 Визначення розмірів шпонкового рівця з допусками за стандартом

Для d=27H5(+0,004) мм;

$$b=7H9(+0,09); \quad d+t=29,8H12(+0,21) \text{ мм}; \quad r=0,9+0,3 \text{ мм.}$$

5.1.14 Вибір матеріалу для виготовлення фрези.

Приймаємо швидкорізальну сталь Р18, HRC 62-65

Всі розрахунки зводимо до таблиць 5.1, 5.2, 5.3, 5.4, 5.5, 5.6 та 5.7

Змн.	Арк.	№ докум.	Підпис	Дата	КНУКБР.131.24.1-06.05.ЛС1	Арк.

Таблиця 5.1

$\cos\alpha_1$	1
$\cos\alpha_2$	0,98901
$\cos\alpha_3$	0,97826
$\cos\alpha_4$	0,96774
$\cos\alpha_5$	0,95744
$\cos\alpha_6$	0,94736
$\cos\alpha_7$	0,93749
$\cos\alpha_8$	0,92783
$\cos\alpha_9$	0,91836
$\cos\alpha_{10}$	0,90908
$\cos\alpha_{11}$	0,89999
$\cos\alpha_{12}$	0,89108

Таблиця 5.2

$\alpha_1$	0°
$\alpha_2$	8,502394°
$\alpha_3$	11,96945°
$\alpha_4$	14,5934°
$\alpha_5$	16,77571°
$\alpha_6$	18,67279°
$\alpha_7$	20,36529°
$\alpha_8$	21,90142°
$\alpha_9$	23,31275°
$\alpha_{10}$	24,62134°
$\alpha_{11}$	25,84335°
$\alpha_{12}$	26,99105°

Таблиця 5.3

$\delta_1$	1,97805°
$\delta_2$	2,04101°
$\delta_3$	2,15527°
$\delta_4$	2,30203°
$\delta_5$	2,47445°
$\delta_6$	2,66849°
$\delta_7$	2,88137°
$\delta_8$	3,11103°
$\delta_9$	3,35588°
$\delta_{10}$	3,61458°
$\delta_{11}$	3,88606°
$\delta_{12}$	4,16938°

Таблиця 5.4

$x_1$	2,07584 мм.
$x_2$	2,165692 мм.
$x_3$	2,312001 мм.
$x_4$	2,496204 мм.
$x_5$	2,711909 мм.
$x_6$	2,955528 мм.
$x_7$	3,224709 мм.
$x_8$	3,51777 мм.
$x_9$	3,833438 мм.
$x_{10}$	4,170716 мм.
$x_{11}$	4,528793 мм.
$x_{12}$	4,907 мм.

Змн.	Арк.	№ докум.	Підпис	Дата

КНУКБР.131.24.1-06.05.ПСІ

Арк.

Таблиця 5.5

$y_1$	60,10449 мм.
$y_2$	60,77006 мм.
$y_3$	61,43345 мм.
$y_4$	62,09509 мм.
$y_5$	62,75498 мм.
$y_6$	63,41302 мм.
$y_7$	64,06906 мм.
$y_8$	64,72294 мм.
$y_9$	65,37448 мм.
$y_{10}$	66,02348 мм.
$y_{11}$	66,66975 мм.
$y_{12}$	67,31308 мм.

Таблиця 5.6

$S_1$	4,15168 мм.
$S_2$	4,331384 мм.
$S_3$	4,624002 мм.
$S_4$	4,992408 мм.
$S_5$	5,423818 мм.
$S_6$	5,911056 мм.
$S_7$	6,449418 мм.
$S_8$	7,035539 мм.
$S_9$	7,666876 мм.
$S_{10}$	8,341431 мм.
$S_{11}$	9,057586 мм.
$S_{12}$	9,814 мм.

Таблиця 5.7

$h_1$	0,944492 мм
$h_2$	1,610056 мм
$h_3$	2,27345 мм
$h_4$	2,935093 мм
$h_5$	3,594983 мм
$h_6$	4,25302 мм
$h_7$	4,909063 мм
$h_8$	5,562943 мм
$h_9$	6,21448 мм
$h_{10}$	6,86348 1мм
$h_{11}$	7,509747 мм
$h_{12}$	8,153075 мм

Координати робочого профілю зубчатого колеса на рисунку 5.1, а креслення дискової модульної фрези – на рисунку 5.2

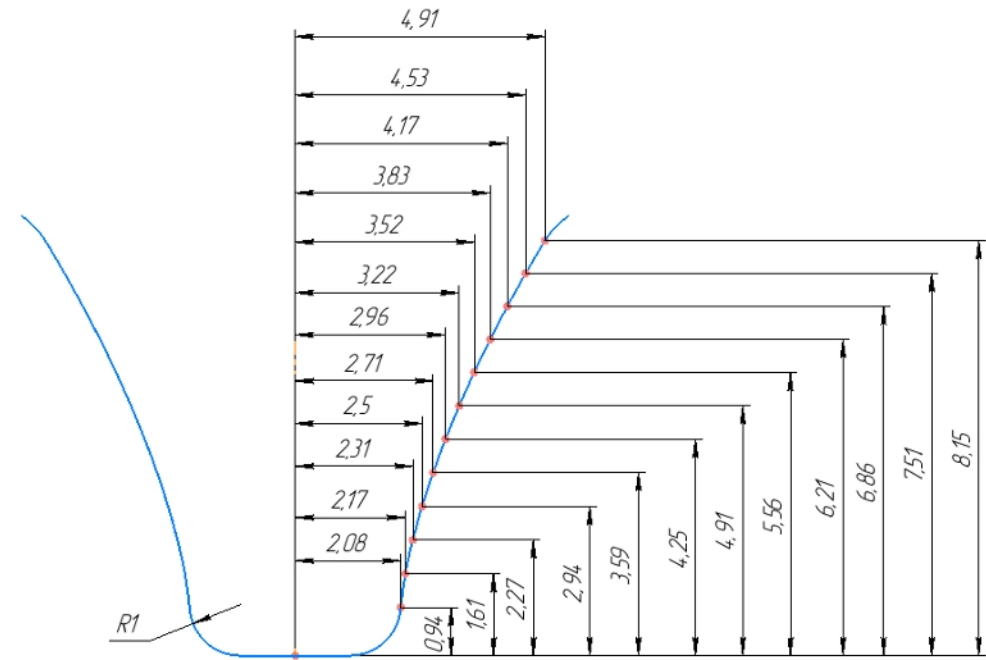


Рисунок 5.1 – Координати робочого профілю зубчатого колеса

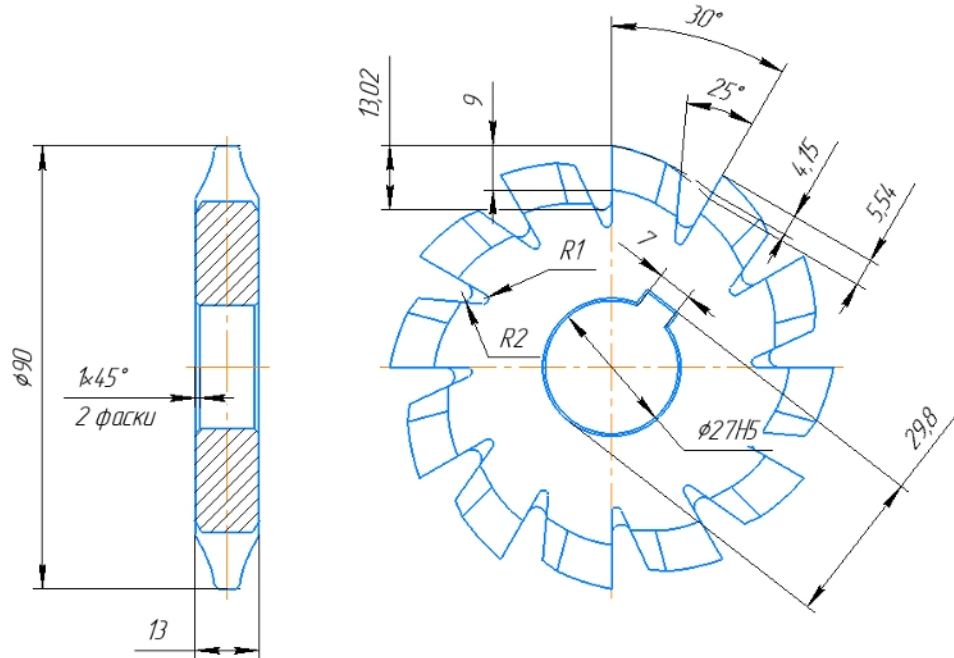


Рисунок 5.2 – Креслення дискової модульної фрези.

Змн.	Арк.	№ докум.	Підпис	Дата

## 6 РОЗРАХУНОК СПЕЦІАЛЬНОГО ІНСТРУМЕНТА В САЕ СИСТЕМІ SOLIDWORKS

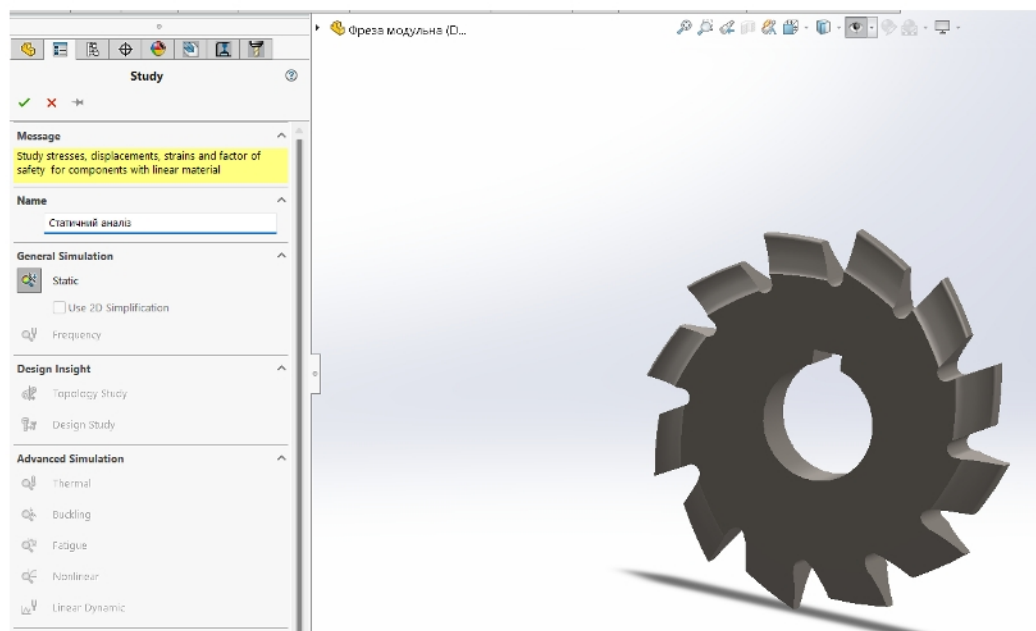


Рисунок 6.1 – Обираємо статичний аналіз [14]

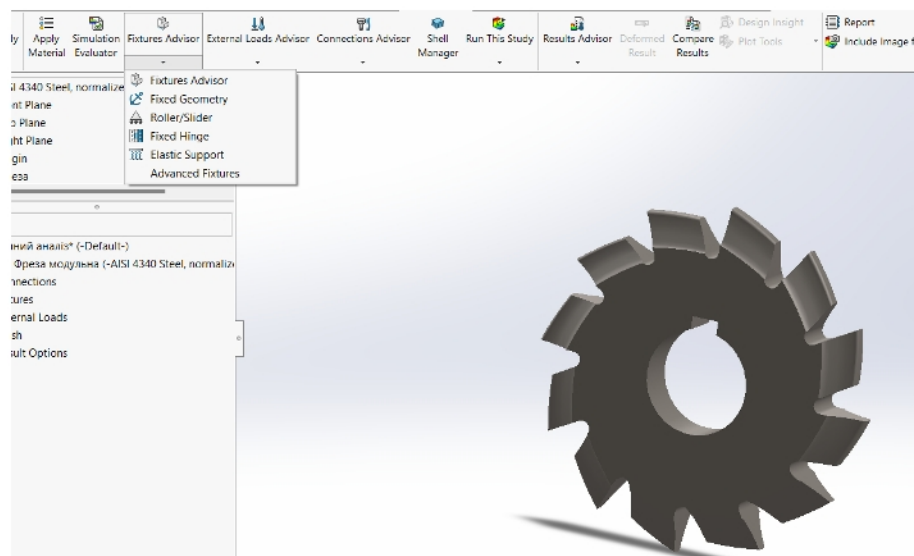


Рисунок 6.2 – Переходимо у вкладку «Фіксована геометрія» [14]

Змн.	Арк.	№ докум.	Підпис	Дата	КНУ.КБР.131.24.1-06.06.РС/САЕ		
Розроб.	Журавель				Лім.	Арк.	Аркушів
Перевір.	Цибінда						
Реценз.							
Н. Контр.	Рязанцев						
Зав. каф.	Нечасєв				Кафедра ТМ, гр. ГМ-20		

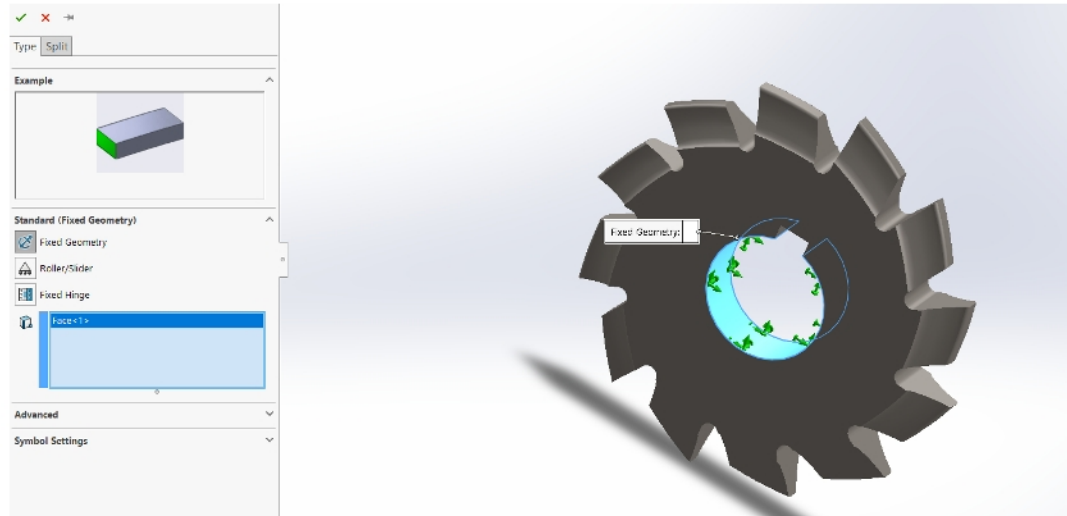


Рисунок 6.3 – Фіксуємо фрезу за посадкове місце [14]

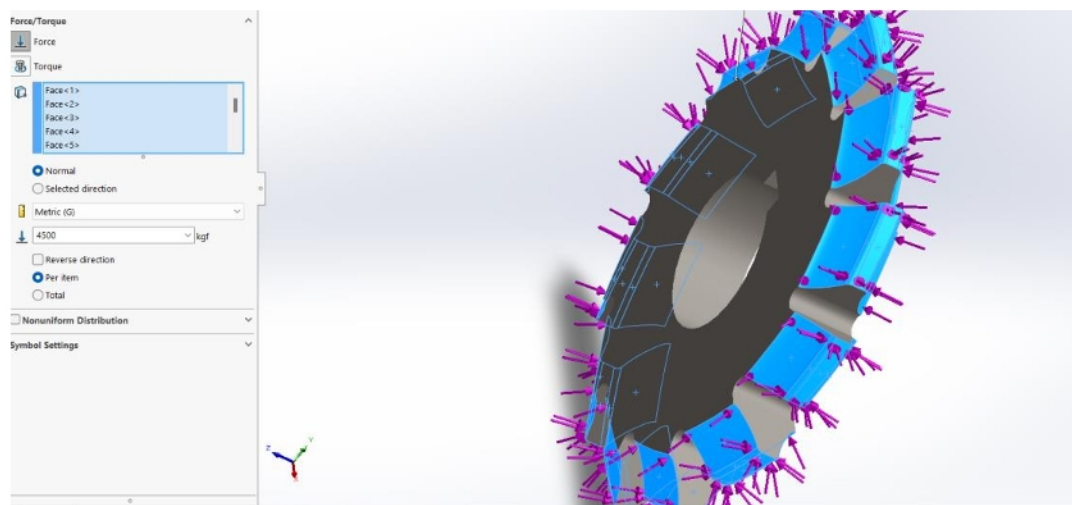


Рисунок 6.4 – Надаємо на кожен зуб зусилля [14]

Змн.	Арк.	№ докум.	Підпис	Дата
------	------	----------	--------	------

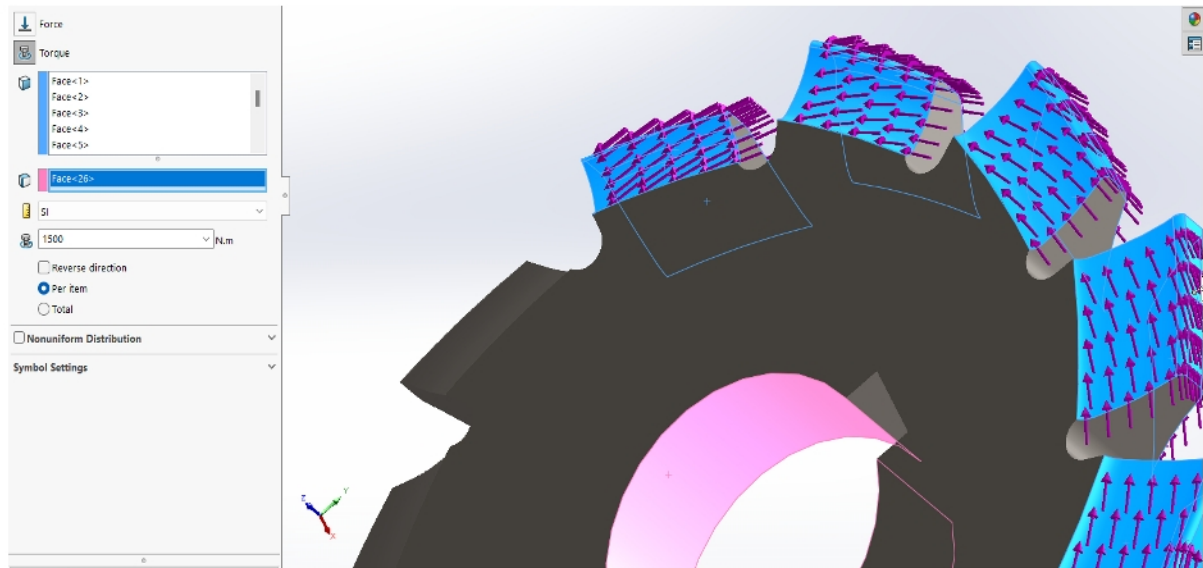


Рисунок 6.5 – Задаємо момент і також застосовуємо до кожного зуба фрези [14]

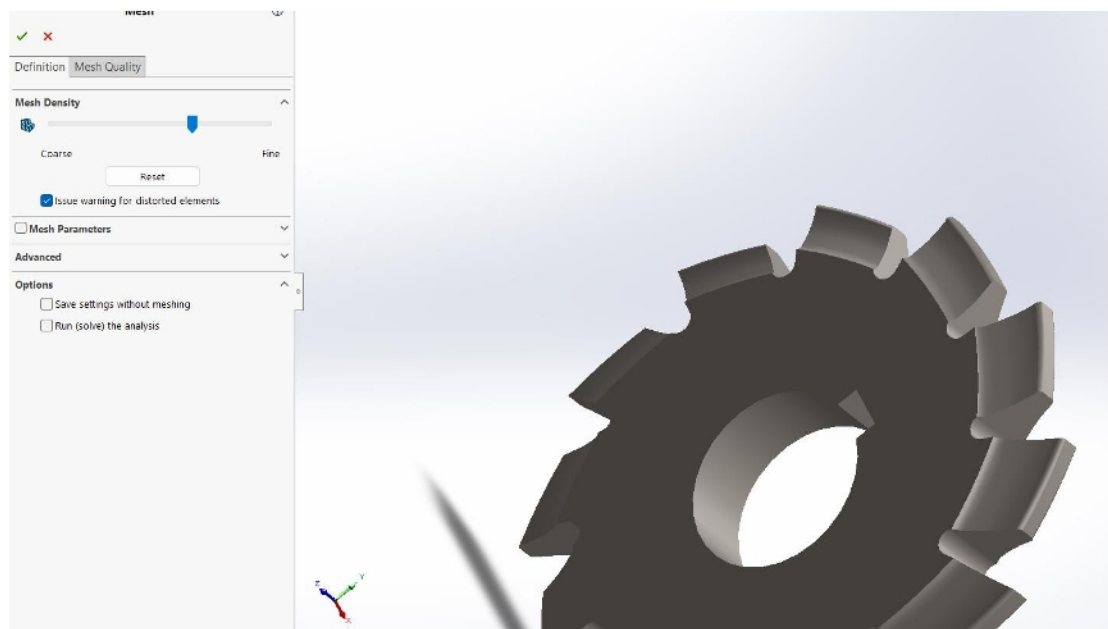


Рисунок 6.6 – Переходимо на вкладку створення сітки [14]

Змн.	Арк.	№ докум.	Підпис	Дата	КНУКБР.131.24.1-06.06.PC/САЕ	Арк.

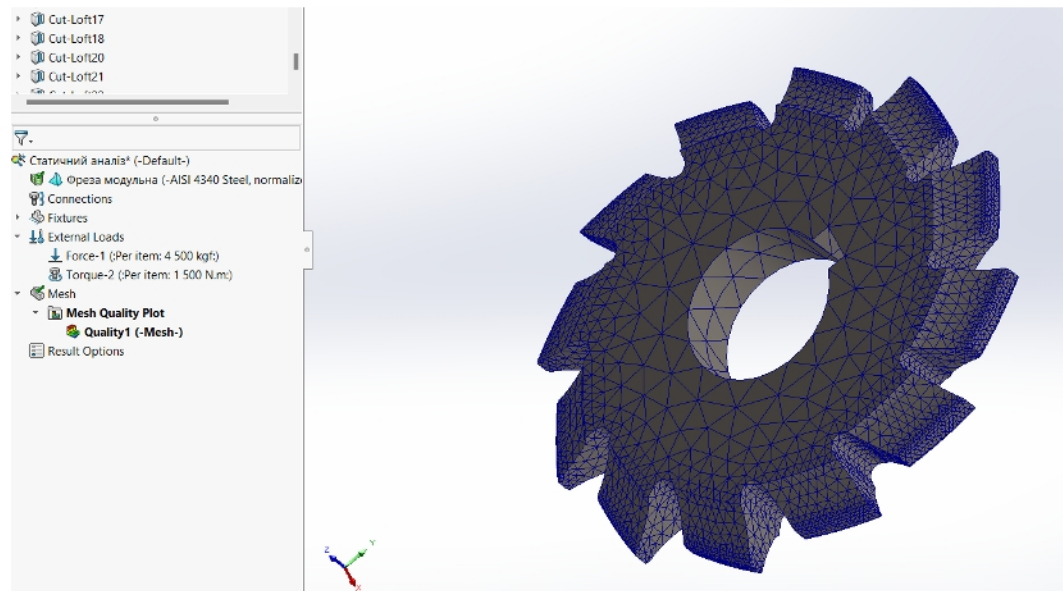


Рисунок 6.7 – Створюємо сітку та виконуємо розрахунок [14]

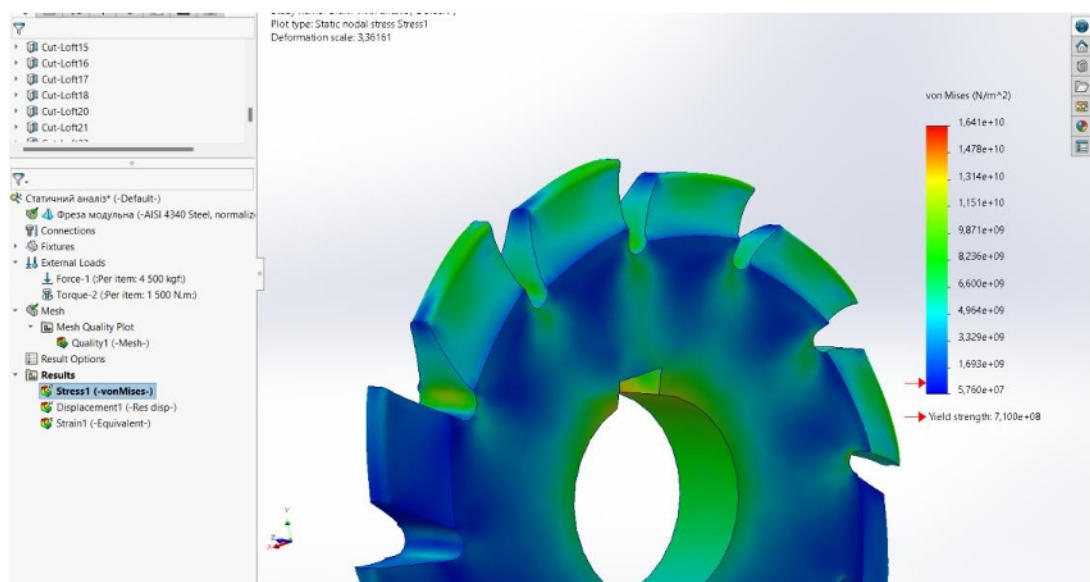


Рисунок 6.8 – Напруження фрези [14]

Змн.	Арк.	№ докум.	Підпис	Дата	Арк.

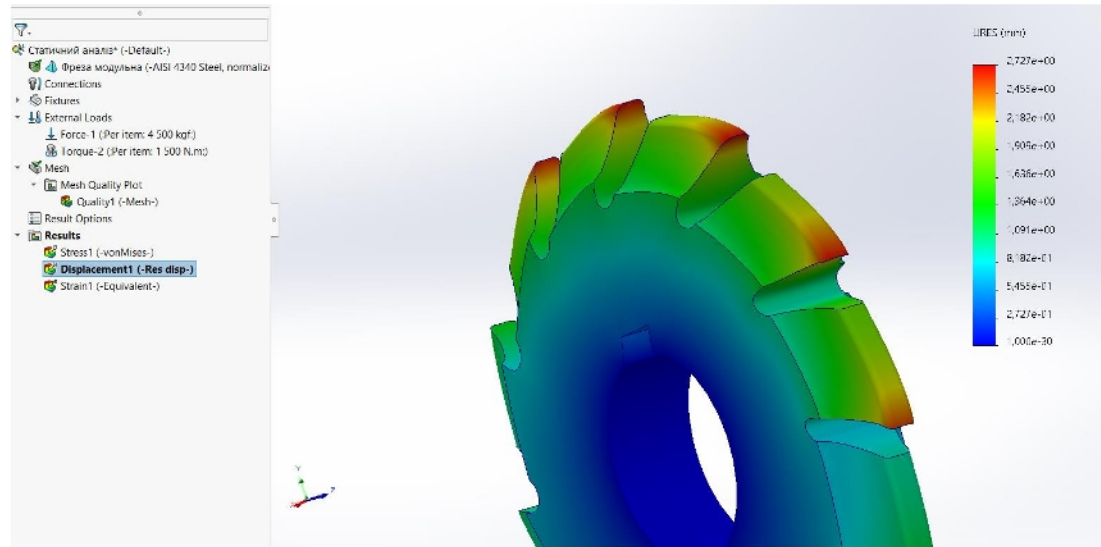


Рисунок 6.9 – Переміщення фрези [14]

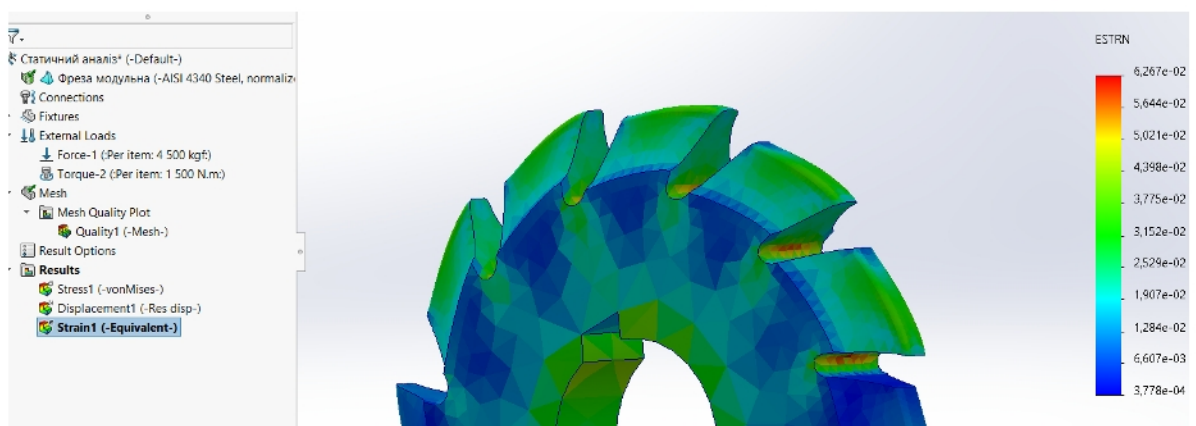


Рисунок 6.11 – Деформація фрези [14]

Змн.	Арк.	№ докум.	Підпис	Дата	Арк.

## 7 МОДЕЛЮВАННЯ ТА ПРОЕКТУВАННЯ ОПЕРАЦІЇ МЕХАНІЧНОЇ ОБРОБКИ

### 7.1 Проектування чистової токарної операції

Обираємо FutureCAM для моделювання. Напишемо за допомогою нього, код для напівчистової і чистової токарної обробки.

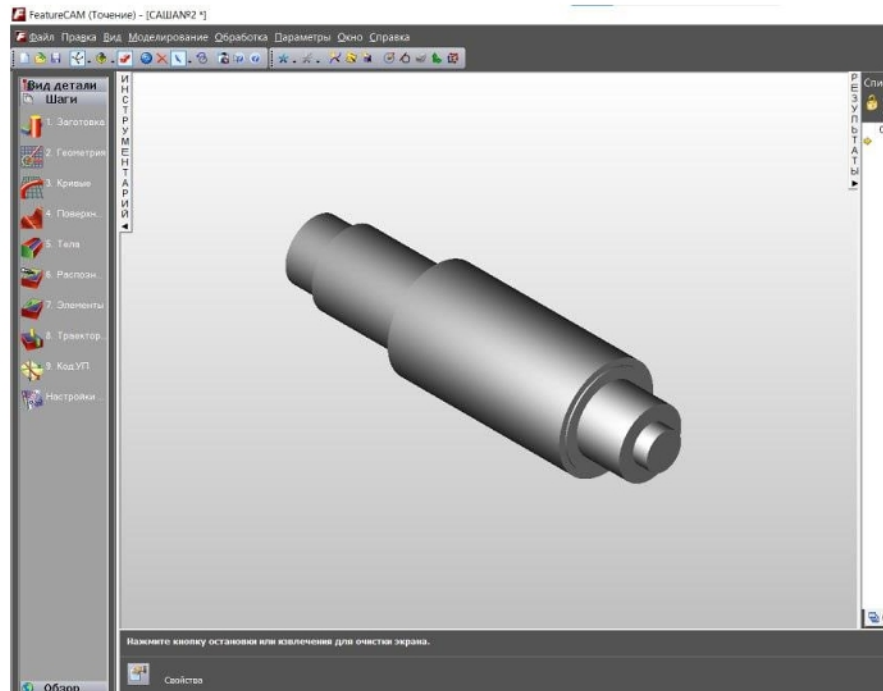


Рисунок 7.1 – Вал після чистової токарної обробки

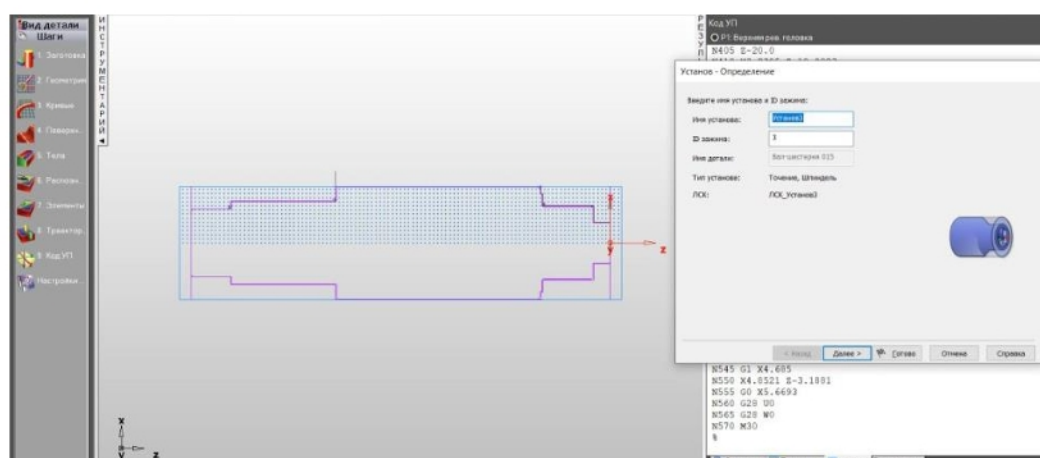


Рисунок 7.2 – Обираємо установ і креслимо контур обробки

Змн.	Арк.	№ докум.	Підпис	Дата	КНУ.КБР.131.24.1-06.07.МТПОМО			
Розроб.	Журавель				Моделювання та проектування операції механічної обробки	Літ.	Арк.	Аркушів
Перевір.	Цвінда							
Реценз.								
Н. Контр.	Рязанцев							
Зав. каф.	Нечасєв			Кафедра ТМ, гр. ГМ-20				

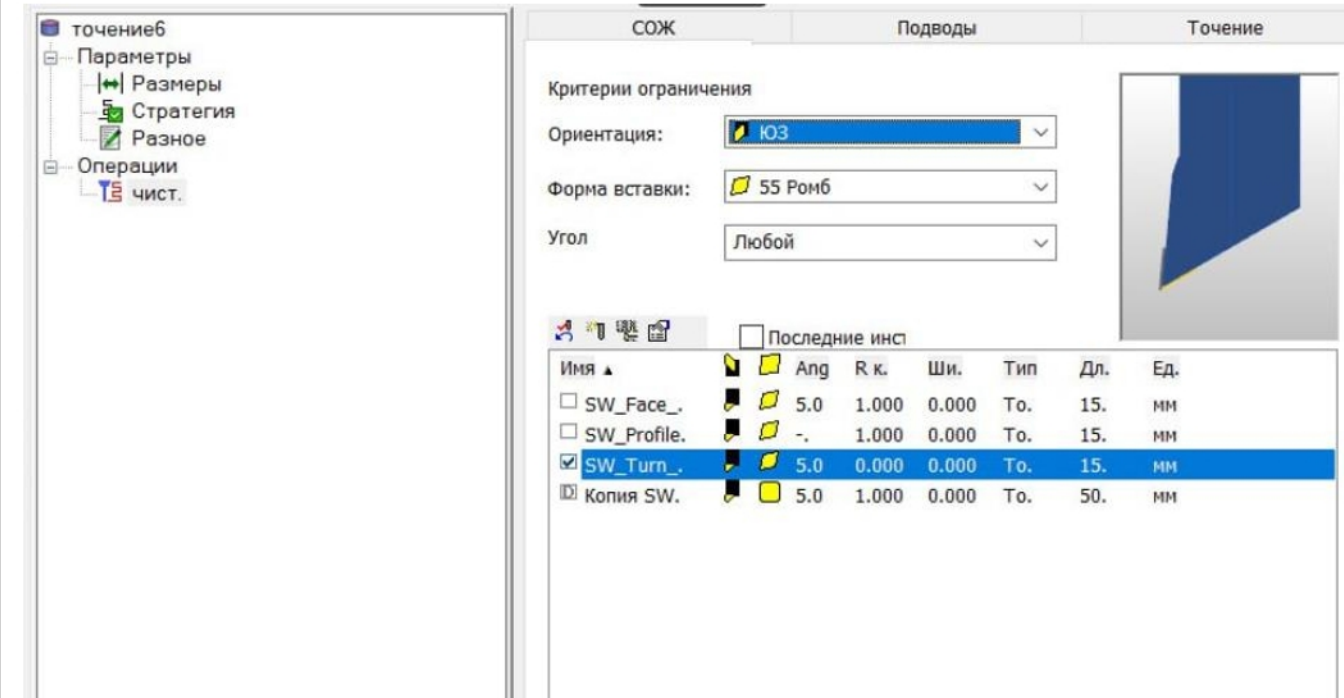


Рисунок 7.3 – Налаштовуємо параметри різця та режими обробки

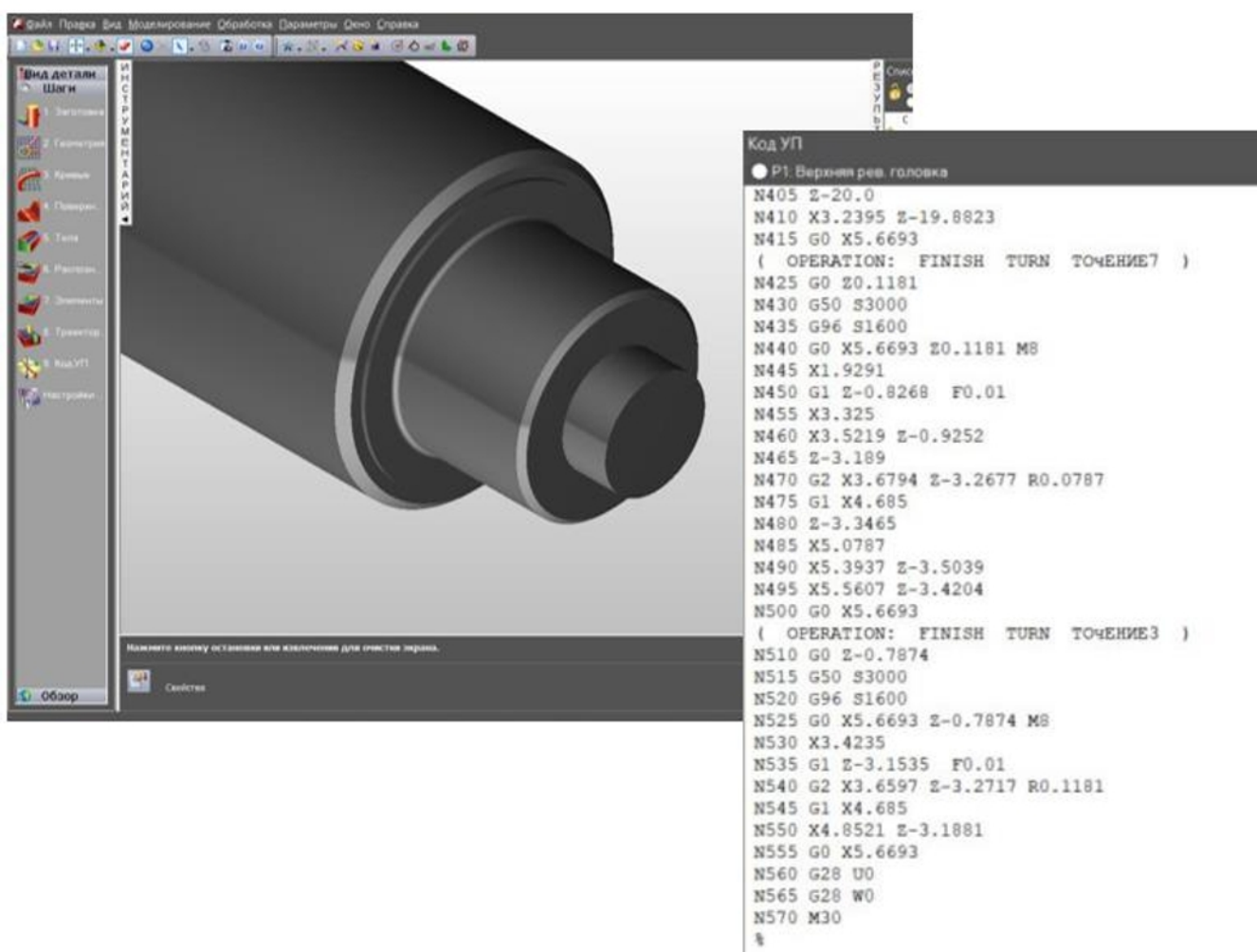


Рисунок 7.4 – Оброблений вал та код керуючої програми

					Арк.
Змн.	Арк.	№ докум.	Підпис	Дата	KHNU.KBR.131.24.1-06.07.МТПОМО

## 8 ОРГАНІЗАЦІЙНО-ЕКОНОМІЧНА ПІДГОТОВКА ВИРОБНИЦТВА

### 8.1 Охорона праці та екологія виробництва

Засоби нормалізації складу та параметрів повітря робочої зони. Головними напрямками щодо нормалізації складу та параметрів мікроклімату в цехах необхідно вважати: використання технологічних процесів і обладнання, які виключають утворення і надходження в повітря робочої зони повітря робочої зони теплового і холодного повітря, шкідливих парів, газів, аерозолів; механізацію, автоматизацію виробничих процесів і застосування дистанційного керування (пульти керування, кабіни операторів) робочими процесами з метою зменшення або запобігання надходження шкідливих домішок, виділення вологи, теплого і холодного повітря робочу В зону; застосування вентиляції, опалення, кондиціонування; використання засобів захисту від інфрачервоних (теплових) випромінювань (теплові екрани, сигналізація); застосування засобів захисту від високих і низьких температур навколошнього середовища, обладнання (теплоізоляція, огорожі, пристрой для обігріву або охолодження); застосування засобів індивідуального захисту (засоби захисту органів дихання, зору). Засобом забезпечення чистоти і допустимих

Ефективним засобом для забезпечення чистоти та допустимих параметрів повітря робочої зони є вентиляція, що полягає у видаленні з приміщень забрудненого й нагрітого повітря та подачі в нього свіжого. За способом переміщення повітря вентиляцію поділяють на природну (провітрювання, аерація), механічну та комбіновану. Природна вентиляція проста в експлуатації, економічна, але має низку істотних недоліків; вона застосовується тільки у виробничих приміщеннях, у яких немає великих видіlenь шкідливих речовин, припливне повітря в приміщення надходить необрбленим; не очищається від пилу та інших домішок, не підігрівається, не зволожується тощо.

За механічної вентиляції повіtroобмін забезпечується напором, створюваним вентилятором: відцентровим, осьовим. За напрямком руху повітря вентиляцію ділять на припливну, витяжну та припливно-витяжну. витяжну, а за організацією повіtroобміну - загальнообмінну та місцеву.

					КНУ.КБР.131.24.1-06.08.0ЕПВ		
Змн.	Арк.	№ докум.	Підпис	Дата	Літ.	Арк.	Аркушів
Розроб.	Журавель						
Перевір.	Цвінда						
Реценз.							
Н. Контр.	Рязанцев						
Зав. каф.	Нечасєв						
Організаційно-економічна підготовка виробництва				Кафедра ТМ, гр. ГМ-20			

Природна вентиляція проста в експлуатації, економічна, але має суттєві недоліки; вона застосовується тільки у виробничих приміщеннях, у яких немає великих видіlenь шкідливих речовин, припливне повітря до приміщення надходить необробленим, не очищується від пилу та інших домішок, не підігрівається, не зволожується тощо.

За механічної вентиляції повіtroобмін забезпечується напором, створюваним вентилатором: відцентровим, осьовим. За напрямком руху повітря вентиляцію поділяють на припливну, витяжну і припливно-витяжну, а за організацією повіtroобміну - загальнообмінну і місцеву.

Розрахунок вентиляції виробничих приміщень складається з трьох етапів. На першому етапі проводиться визначення необхідної кількості повітря для вентиляції приміщень за тими чи іншими шкідливостями, які виділяються.

З другого краю проводиться вибір системи вентиляції та розрахунок її параметрів, тобто перетинів отворів повітря. На третьому етапі, який відноситься тільки до механічної вентиляції, проводиться визначення потужності та типу електродвигуна, а також місця встановлення вентиляційної системи в приміщенні

Тепловиділення працюючих машин, механізмів, електродвигунів, верстатів, електродвигунів.

Найбільш поширеним двигуном машин, механізмів та верстатів є електродвигун, на валу якого відбувається перетворення електричної енергії на механічну.

Якщо електродвигуни знаходяться в окремому приміщенні, то тепловиділення від них складатимуть:

$$Q = 3600,6 \cdot N_{\text{вст}} \cdot (1 - 0),$$

Де  $Q$  – кількість тепла від електродвигунів, Дж;

$N_{\text{вст}}$  – встановча або номінальна потужність електродвигуна, Вт;

0 – ККД електродвигуна.

На кількість тепла, що виділяється, впливають спосіб охолодження верстатів, механізмів, електродвигунів, застосування емульсій для охолодження різців і т.д. Позначимо літерою  $a$  коефіцієнт, що враховує вплив всіх перерахованих факторів на тепловиділення працюючих верстатів, механізмів, електродвигунів. Тоді кількість тепла, що виділяється від них у приміщенні, буде дорівнює:

$$Q = 3600,6 \cdot a \cdot N_{\text{вст}}$$

Для механічних та механоскладальних цехів а приймається при середній потужності електродвигуна  $8 \cdot 10^3$  Вт – 0,23

Змн.	Арк.	№ докум.	Підпис	Дата	Арк.
					KNU.КБР.131.24.1-06.08.0ЕПВ

$20 \cdot 10^3$  Вт – 0,23. Для проміжних значень середніх потужностей  $a$  визначаємо за інтерполяцією

$$Q = 3600,6 \cdot 0,26 \cdot (4 + 7,5 + 11 + 2 + 10 + 1,89 + 11 + 13) = 56721 \text{ Дж}$$

## 8.2 Оцінка техніко-економічної ефективності виробництва

Дані	Базовий варіант				Новий варіант
	16К20	16К20	З верстат	4-ий верстат	16К20Ф3
<b>Деталі</b>					
Річний обсяг випуску деталей $N$ , шт.			180		
Кількість запусків партій деталей в рік, шт		12		12	
Тривалість випуску деталей $Z$ , років		3		3	
Штучний час обробки деталі $t_{шт}$ , хв.	16,5	16,5	0	0	13,24
Час наладки верстата, хв.	33	33	0	0	72,8
Вартість заготовки $S_{заг}$ , грн.		155			155
Вартість комплекту спеціальних пристосувань $K_{сп}$ , грн	0	0	0	0	0
Оптова ціна на прокат одного УСП, грн	0	0	0	0	0
Середній час налагодження за прибором одного інструменту поза верстатом, хв.	0	4	0	0	0
Середній період стійкості інструменту, хв.	45	45	0	0	90
Середня кількість граней пластиинки, шт.	1	1	0	0	3
Коефіцієнт, що враховує питому вагу основного часу в штучному $k_t$	0,083	0,083	0	0	0,2
Вартість розробки ПК $K_{пк}$ , грн.	0	0	0	0	340
<b>Працівники</b>					
Дані	Базовий варіант				Новий варіант
	16К20	16К20	З верстат	4-ий верстат	16К20Ф3
Сереньочасова заробітня плата, грн					
верстатника $H_{ср}$	33,6	33,6	0	0	30,1
наладчика $H_{нал}$	33,6	33,6	0	0	34,3
наладчика інструмента $H_{інк}$	31,1	31,1	0	0	0
контролера $H_k$		29,8			29,8
<b>Верстати</b>					
Клас точності верстата	H	H	H	0	A
Маса верстата, т	30	30	0	0	50
Категорія складності ремонту верстата ЕРС:					
механічної частини $R_m$	51	51	0	0	100
електротехнічної частини $R_e$	43	43	0	0	99
Кількість верстатів, що обслуговує один робочий $d$ , шт	1	1	0	0	3
Оптова ціна верстата $\Pi$ , грн.	16906	16906	0	0	42000
Коефіцієнт завантаження верстата $\eta_z$	0,75	0,75	0	0	0,95
Площа верстата за габаритами $A$ , м. кв.	25,0	25,0	0,0	0	60,0

					Арк.
Змн.	Арк.	№ докум.	Підпис	Дата	

Дані	Базовий варіант				Новий варіант
	16К20	16К20	3 верстат	4-ий верстат	
Площа пристрою ЧПК $A_y$ , м. кв.	0	0	0	0	0,25
Витрати на одну одиницю ЕРС верстата, грн.					
механічної частини $H_m$	401	401	0	0	272
електротехнічної частини $H_e$	86	86	0	0	60
Норматив річних витрат на поточне обслуговування та ремонт ПЧПК $Q$ , грн.	0	0	0	0	11950
Коеф., що враховує додаткову площину верстата, $\gamma$	2,5	2,5	0	0	2
Коеф., що враховує клас точності верстата, $\mu$	1	1	0	0	1,8
Ефективний річний фонд часу роботи верстата $\Phi_{об}$ , год	3975	3975	0	0	3850
<b>Виробничі та інші площи</b>					
Вартість 1 м. кв. площи механічної $\Pi_{мл.д.}$ , грн		500			500
Вартість 1 м. кв. площи службово-побутових приміщень $\Pi_{кл. поб.}$ , грн		1000			1000
Дані	Базовий варіант				Новий варіант
	16К20	16К20	3 верстат	4-ий верстат	16К20ФЗ
Площа служб.-побут. приміщень, що приходяться на одного робочого $A_b$ , м. кв.		7			7
Витрати на утримання та амортизаційні витрати на 1 м. кв. цеху $H_{пл.}$ , грн.	180	180	0	0	200
<b>Додаткові дані</b>					
Розряд	5				5
контролера					
верстатника	3	3	3	0	2
наладника	3	3	3	0	5
наладчика інструменту	0	0	0	0	4
Габарити верстата (довжина х ширина), м	5,495 x 4,55	5,495 x 4,55	0	0	9,4 x 6,4
Габарити пристрою ЧПК, м	0	0	0	0	0,5 x 0,5
Тип пристрою ЧПК	0	0	0	0	FANUC 0iMF
Строк служби верстата до капітального ремонту $T_{пп.}$ , років	7	7	0	0	15
Встановлена потужність всіх електродвигунів головного руху, кВт	10	10	0	0	50

Змн.	Арк.	№ докум.	Підпис	Дата	Арк.
<i>КНУ.КБР.131.24.1-06.08.0ЕПВ</i>					

Дані	Базовий варіант				Новий варіант 16К20ФЗ
	16К20	16К20	3-ий верстат	4-ий верстат	
<b>Розрахунок допоміжних показників</b>					
Трудомісткість обробки $T_{шт.}$ , год	16,5	16,5	0	0	13,24
Час наладки верстата впродовж року $T_n$ , год	6,6	6,60	0	0	14,56
Час наладки інструмента поза верстатом впродовж року $T_{н.ін.}$ , год	0	0,00	0	0	0
Час контролю деталей впродовж року $T_k$ , год	29,01	29,00	0,00	0,00	42,49
Кількість верстатників $P_{ст. чол.}$ (розр.)	1,00	1,00	0,00	0,00	1,00
дійсна	1	1	0	0	1
Кількість наладчиків верст. $P_n$ , чол. (розр.)	0,004	0,008	0,000	0,000	0,008
дійсна	1	1	0	0	1
Кількість наладчиків інстр. $P_{н.ін.}$ , чол. (розр.)	0,000	0,002	0,000	0,000	0,000
дійсна	0	1	0	0	0
Кількість контролерів $P_k$ , чол. (розр.)	0,02	0,01	0,00	0,00	0,02
дійсна		1			1
Додаткова кількість робочих по обслуговуванню верстатів з ЧПК $P_{дод. чол.}$	0,00	0,02	0,00	0,00	0,03
дійсна	0	1	0	0	1
Загальна кількість працівників на річну програму випуску деталей, чол.		7			4
Частка завантаження верстата обробкою деталі в обсязі річного випуску $\beta$	0,01	0,01	0,00	0,00	0,01

**Капітальні вкладення споживача**

$$K = K_b + K_{зд} + K_{сл} + K_{нез} + K_{пр} + K_{п.у.}$$

де  $K_b$  – балансова вартість верстата, грн;

$K_{зд}$  – вартість приміщення, яке займає верстат, грн.;

$K_{сл}$  – вартість службово-побутових приміщень, грн.;

$K_{нез}$  – обігові кошти в незакінченому виробництві, грн.;

$K_{пр}$  – вартість комплекту спеціальних пристосувань, які використовуються на верстатах при обробці деталей, грн.;

$K_{п.у.}$  – витрати на створення керуючої програми (КП), грн.

$$K_b \quad K_{зд} \quad K_{сл} \quad K_{нез} \quad K_{пр} \quad K_{п.у.}$$

$$K_1 = 115258 + 6780 + 63000 + 125700 + 0 + 2800 = 313538$$

$$K_2 = 286762 + 3740 + 28000 + 42980 + 0 + 5340 = 366821,56$$

Приведені витрати			
$3_1$	$= C_1 + E_n \cdot K_1$		
150973	103942	0,15	313538
$3_2$	$= C_2 + E_n \cdot K_2$		
107809	52785	0,15	366822

Річний економічний ефект			
$E$	$= 3_1 - 3_2$		
43164	150973	107809	

Строк окупності				
$T_{ок}$ =	$(K_2 - K_1) / (C_1 - C_2)$			
1,04	366822	313538	103942	52785,4

Змн.	Арк.	№ докум.	Підпис	Дата	Арк.

**Собівартість механічної обробки річного випуску деталей**

$$C = I_3 + I_n + I_{in} + I_{pk} + I_{pr} + I_{uspl} + I_a + I_{pl} + I_{sl} + I_p + I_y + I_k,$$

де  $I_3$  – зарплатня верстатника;

$I_n$  – зарплатня за наладку верстата;

$I_{in}$  – зарплатня налагоджувальника інструмента поза верстатом;

$I_{pk}$  – витрати на підготовку та поновлення керуючої програми;

$I_{pr}$  – витрати на ремонт та утримання спеціальних пристосувань;

$I_{uspl}$  – витрати на прокат універсально-збирних

$I_a$  – амортизаційні відрахування на повне відновлення обладнання;

$I_{pl}$  – витрати на утримання приміщення, яке займає верстат;

$I_{sl}$  – витрати на амортизацію і утримання службово-побутових приміщень;

$I_p$  – витрати на ремонт та технічне обслуговування обладнання;

$I_y$  – витрати на технічне обслуговування і ремонт ЧПК;

$I_k$  – зарплатня контролера

$$C_1 \text{ на деталь} = 577,46$$

$$C_2 \text{ на деталь} = 293,25$$

	$I_3$	$I_n$	$I_{in}$	$I_{pk}$	$I_{pr}$	$I_{uspl}$	$I_a$	$I_{pl}$	$I_{sl}$	$I_p$	$I_y$	$I_k$	
$C_1 =$	24490	+ 1298,15	+ 141,28	+ 933,33	+ 0	+ 0	+ 4610,34	+ 2440,70	+ 63000	+ 4906,7	+ 406,38	+ 1715,28	= 103942,19
$C_2 =$	3543	+ 785,31	+ 0,00	+ 1780,00	+ 0	+ 0	+ 11470,48	+ 1495,88	+ 28000	+ 3702,6	+ 741,73	+ 1266,26	= 52785,36

Змн.	Арк.	№ докум.	Підпис	Дата	КНЧ КБР. 131.24.1-06.08.0ЕПВ	Арк.

## ВИСНОВКИ

В кваліфікаційній бакалаврській роботі була здійснена конструкторсько-технологічна підготовка виготовлення вал-шестерні вузлу поворотного механізму кар'єрного екскаватора ЕКГ - 4.6.

Мета була досягнута за рахунок автоматизації КТП CAD CAM CAE технологій. За рахунок прийнятих змін у заводському технологічному процесі виготовлення деталі, а саме, заміни універсальні верстати на верстати з ЧПК, був зменшений штучно-калькуляційний час на виготовлення деталі на 35%.

Також розроблений маршрут обробки, приведена послідовність технологічних операцій, приведені розрахунки міжопераційних припусків на обробку, пронормовані технологічні операції.

Спроектована спеціальна фреза для фрезерування зубів та проведено її статичне дослідження.

Проведена конструкторсько-технологічна підготовка дала можливість застосувати програмні результати навчання за спеціальністю Прикладна механіка в повній мірі.(срок оупності)

Змн.	Арк.	№ докум.	Підпис	Дата
Розроб.	Журавель			
Перевір.	Цвінда			
Реценз.				
Н. Контр.	Рязанцев			
Зав. каф.	Нечасєв			

КНУКБР.13124.1-06.В

Висновки

Літ.	Арк.	Аркушів

Кафедра ТМ,  
гр. ГМ-20

## СПИСОК ВИКОРИСТАНИХ ДЖЕРЕЛ

1. Основи взаємозамінності, стандартизації і технічні вимірювання. Навчальний посібник/ Железна А.М.–К.: Кондор, 2011.–796 с
2. Ю.С. Рудь Основи конструювання машин: Підручник для студентів інженерно-технічних спеціальностей вищих навчальних закладів.2-е вид., переробл. - Кривий Ріг: Видавець ФО-П Чернявський Д.О., 2015. – 492 с.; з іл
3. <http://aratta.dp.ua/upload/file/%D0%93%D0%BE%D1%81%D1%82%207829-70.pdf>
4. [https://online.budstandart.com/ua/catalog/doc-page.html?id\\_doc=70418](https://online.budstandart.com/ua/catalog/doc-page.html?id_doc=70418)
5. [https://online.budstandart.com/ua/catalog/doc-page.html?id\\_doc=64466](https://online.budstandart.com/ua/catalog/doc-page.html?id_doc=64466)
6. Загальний каталог Mitsubishi, токарний інструмент, 2014-2015р.
7. Каталог SECO обробка отворів, 2008р.
8. Каталог нарізання різьби SECO, 2020р.
9. Різьбонарізний інструмент Gustav Stursberg GmbH,2020
10. FATPOL TOOLS Catalogue, 2020р
11. Каталог SECO «Оснащення та допоміжний інструмент», 2020р
12. Технологія машинобудування. Проектування технологічного спорядження: Посібник / Боженко Л.І.-Львів.Світ, 2001.-296 с.
- 13 Металорізальні інструменти. Проектування: Навч. посібник / Кукляк М.Л., Афтаназів І.С., Юрчишин І.І. – Львів: Видавництво Національного університету «Львівська політехніка», 2003. – 556 с.
14. SolidWorks Simulation Student Guide-ENG.pdf
15. Боженко, Л.І. Технологія виробництва заготовок у машинобудуванні [Текст] / Л.І. Боженко. – К.: НМК ВО, 1990. – 264 с.
16. Дикань С.А. Безпека людини [Текст]: підручник для студ.вищ.закл. / С. А. Дикань, І. О. Іваницька. – Полтава: ТОВ «ACMI», 2019. – 279 с.
17. Проектування технологічних процесів у машинобудуванні. Навчальний посібник/ Руденко П.О. – К:Вища школа, 1993.-414 с.
18. Технологія машинобудування. Проектування технологічного спорядження: Посібник / Боженко Л.І.-Львів.Світ, 2001.-296 с.
19. Залога В. О. Сучасні інструментальні матеріали у машинобудуванні Суми: СумДУ, 2013
20. Кіяновський М.В., Цивінда Н.І., Цівко Ф.В. Довідник нормувальника машинобудівного виробництва. – Кривий Ріг: Видавничий центр КТУ, 2008.
21. Дипломне проектування з технології машинобудування/ Григорук О.І, Брендуля МФ., Доценко С.М, Навчальний посібник. Львів., Новий світ-2008,- 860 с.
22. ДСТУ ISO 2768-1-2001. Основні допуски. Частина 1. Допуски на лінійні та кутові розміри без спеціального позначення допусків (ISO 2768-1:1989)
23. ДСТУ ISO 129.1: 2007 Кресленики технічні. Проставлення розмірів і допусків.

Змн.	Арк.	№ докум.	Підпис	Дата	КНЧ.КБР.131.24.1-06.СВД		
Розроб.		Журавель					
Перевір.		Цивінда					
Реценз.							
Н. Контр.		Рязанцев					
Зав. каф.		Нечасєв					
Список використаних джерел					Lіт.	Арк.	Аркушів
					Кафедра ТМ, гр. ГМ-20		

Дубл.							
Взам.							
Подл.							

Розроб.	Журавель						
Перев	Цивінда						

Согласов.

Т. контр.

Н. Контр.

«Затверджую»

Зав. кафедрою технології машинобудування

(Нечаєв В.П.)

«\_\_\_\_\_» 2024 р.

# ТЕХНОЛОГІЧНИЙ ПРОЦЕС

Виготовлення деталі вал-шестерня

Узгоджено:

Керівник \_\_\_\_\_ Цивінда Н.І. (\_\_\_\_\_)

Розробник \_\_\_\_\_ Журавель О.Г. (\_\_\_\_\_)

Н.контроль \_\_\_\_\_ Рязанцев А.О. (\_\_\_\_\_)

ПІ ТЕХНОЛОГІЧНИЙ ПРОЦЕС

МІНІСТЕРСТВО ОСВІТИ І НАУКИ УКРАЇНИ  
КРИВОРІЗЬКИЙ НАЦІОНАЛЬНИЙ УНІВЕРСИТЕТ  
ФАКУЛЬТЕТ МЕХАНІЧНОЇ ІНЖЕНЕРІЇ ТА ТРАНСПОРТУ  
КАФЕДРА ТЕХНОЛОГІЙ МАШИНОБУДУВАННЯ

## АЛЬБОМ КРЕСЛЕНЬ ТА ІНФОРМАЦІЙНО-ЗАСВІДЧУЮЧИХ АРКУШІВ

### КВАЛІФІКАЦІЙНОЇ БАКАЛАВРСЬКОЇ РОБОТИ

зі спеціальності 131 – Прикладна механіка

на тему: Конструкторсько-технологічна підготовка виготовлення деталі «Вал-шестерня» редуктору екскаватора та обґрунтування параметрів надійності процесу за допомогою CAD/CAM/CAE систем

Виконав здобувач гр. ПМ-20

\_\_\_\_\_

(підпис)

Журавель О.Г.

Керівник КБР

\_\_\_\_\_

(підпис)

Цивінда. Н.І.

Нормоконтроль

\_\_\_\_\_

(підпис)

Рязанцев А.О.

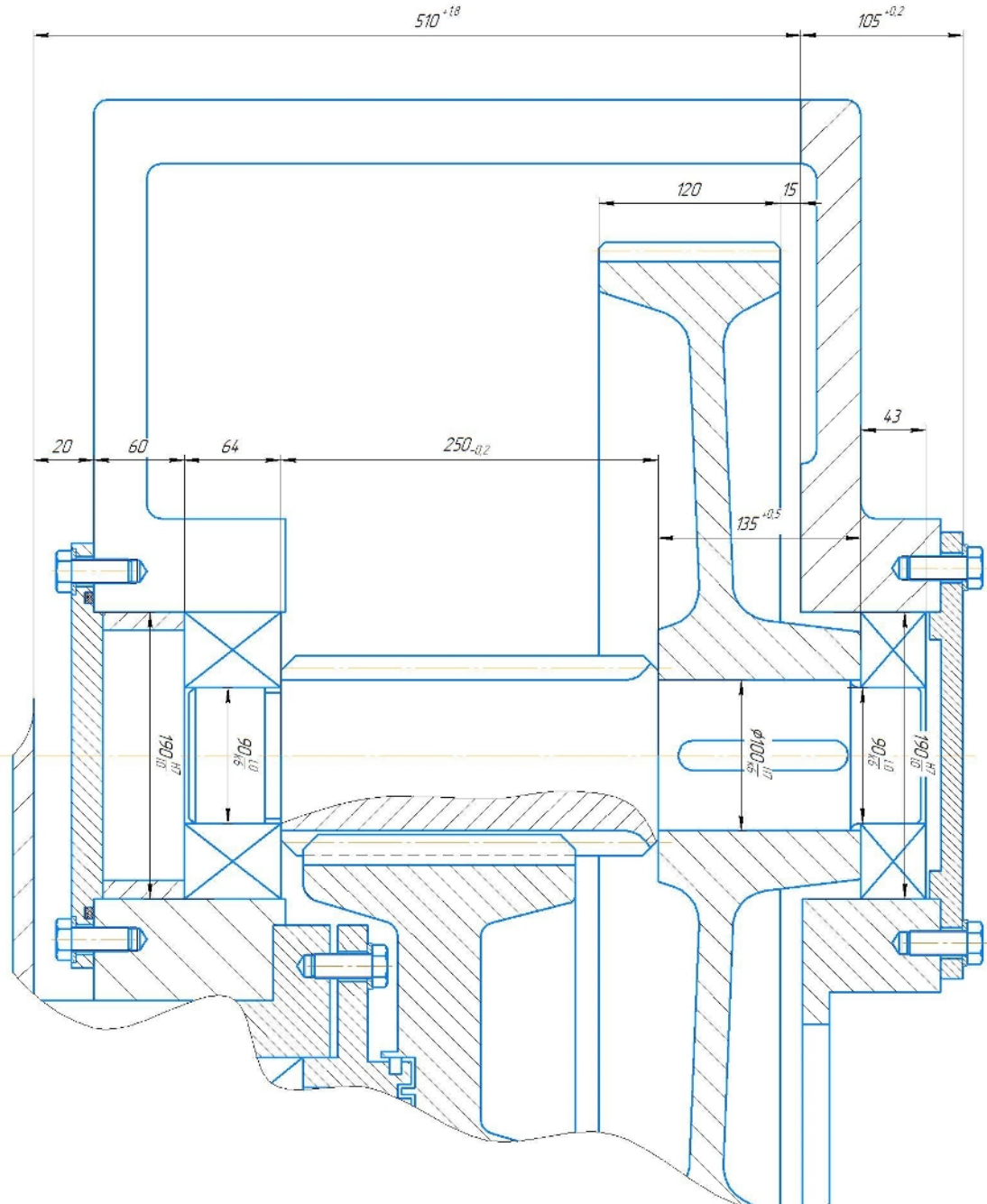
Завідувач кафедри

\_\_\_\_\_

(підпис)

Нечаєв В.П.

АИУ16Р/13124-1-06ФРП



**КНУКБР 13124-1-06.ФРП**

Фрагмент  
редуктор поворота

Исполн. I  
Картер ТМ  
ПМ-2Д

Исполн. II  
Фрикционный

Комплект

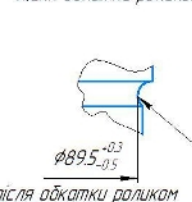
Ном № подшипника	Номинал подшипника	Номинал антифрикционного элемента	Номинал подшипника

Серия №	Номер группировки

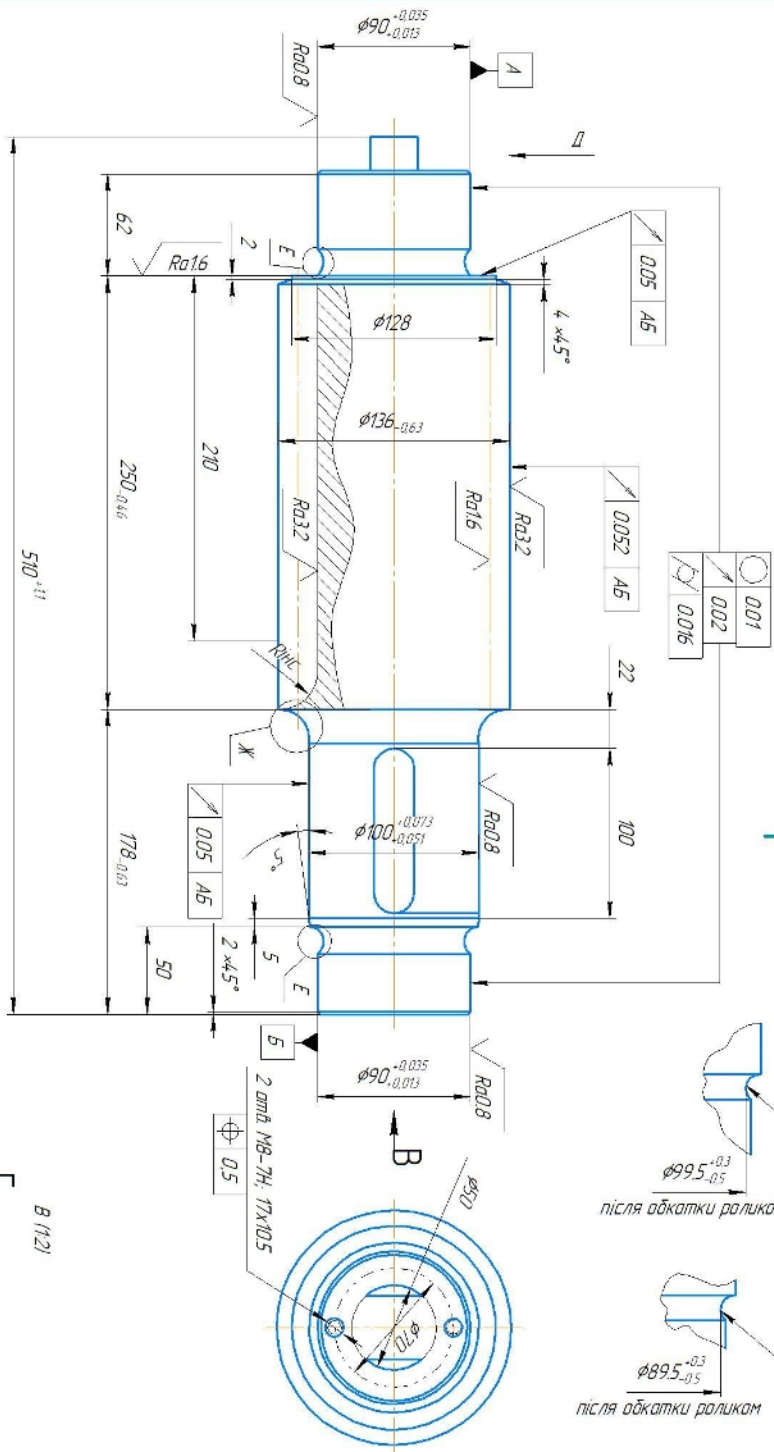
Фрикционный

Комплект

Составляющие

**Б**Х(11) R8  
Е(11) R8

після обкатки роликом  
після обкатки роликом

 $\sqrt{Ra125} | \checkmark |$ 


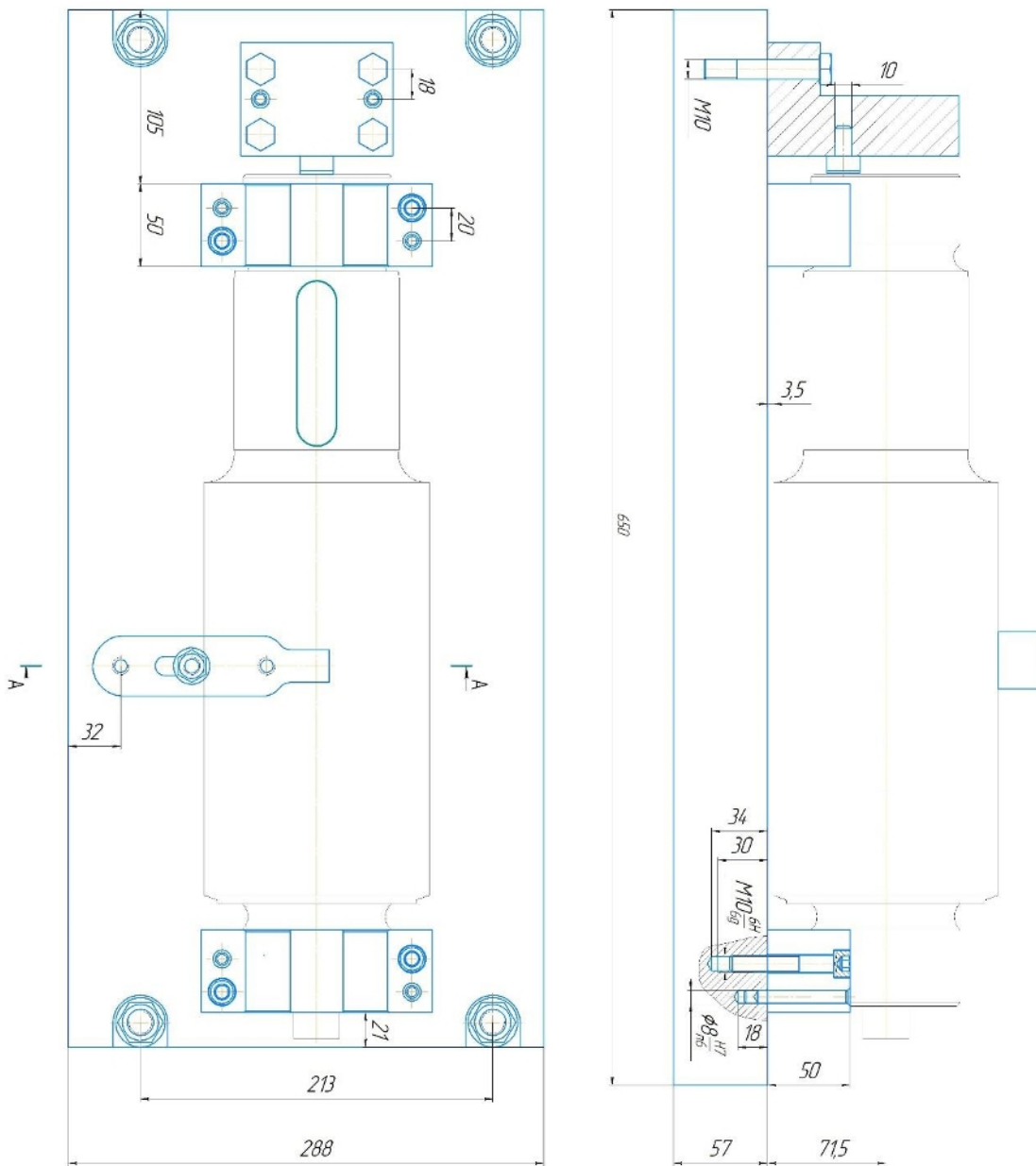
Модель	$m$	4
Число зварю	$Z$	32
Кут наклону зварю	$\beta_o$	-
Надримок зварю	-	-
Південно-західний контур	$E$	+0,3
Коефіцієнт зусім початкового контуру	$E_0$	+0,3
Ступінь точності ДСТУ ISO 1328-1:2006	-	Cm 8-B
Довжина зварюваної нарізки	$w$	47,07- <sup>0,18</sup> <sub>0,25</sub>
Довжина радіальніє більше зварюваного вимірювання	$E_0$	0,005
Довжина на копилення зварюваної нарізки	$\delta_W$	0,005
Довжина на різання кота кромі	$\delta_R$	0,036
Відхилення осьової координати	$\Delta f$	+0,036
Довжина на нарізання зварю	$\delta_f$	0,038
Надримок-поясниця зварю по пасивному ходу	$S_{\text{ж}}$	15,799
Вимірювання на висоту	$h_r$	10,125
Число окремо вимірюваних зварю	$X$	2
Діаметр більшого кола	$d_b$	128

1. Готовість R8 обкатками роликом. Зменшення діаметрів  
шайб φ895-<sup>0,3</sup> та φ995-0,3 має відповідати вимірюванням  
обкатуванням.  
2. Недоказані зварювані відмінені розміри є блокомірів  
нч, нч, нч інші по ГОСТ 4.2/2.

### КНУКБР.13124.1-06 ВШ2234

Лін.	Місце	Наклад
1	Лін. 1	Лін. 1
2	Лін. 2	Лін. 2
3	Лін. 3	Лін. 3
4	Лін. 4	Лін. 4
5	Лін. 5	Лін. 5
6	Лін. 6	Лін. 6
7	Лін. 7	Лін. 7
8	Лін. 8	Лін. 8
9	Лін. 9	Лін. 9
10	Лін. 10	Лін. 10
11	Лін. 11	Лін. 11
12	Лін. 12	Лін. 12

Инбр. № подл.	Подл. и дата	Взам. инбр. №	Инбр. № мкбр.л.	Подл. и дата	Справ. №	Перв. примен.																																										
АНУКБР.131.24.1-06.ВШП																																																
<p>1 Відповідно до 235-285 НВ      2 ГРЗ ДСТУ 7806:2015      3 Поковка не побуджена мати флокенів, тріщин та усадочних раковин      4 Контрольовано 50% деталей      5 Маркувати</p>																																																
<table border="1" style="width: 100%; border-collapse: collapse;"> <thead> <tr> <th>Ізм/Лист</th> <th>№ докум/</th> <th>Подл.</th> <th>Дата</th> <th>Лист</th> <th>Листов</th> <th>Масаж</th> </tr> </thead> <tbody> <tr> <td colspan="4" style="text-align: center;"><i>Вал-шестерня</i> <i>(Поковка)</i></td> <td style="text-align: center;">40</td> <td style="text-align: center;">11</td> <td></td> </tr> <tr> <td>Ізм/Лист</td> <td>№ докум/</td> <td>Подл.</td> <td>Дата</td> <td>Лист</td> <td>Листов</td> <td>Масаж</td> </tr> <tr> <td colspan="4"></td> <td></td> <td></td> <td></td> </tr> <tr> <td>Ізм/Лист</td> <td>№ докум/</td> <td>Подл.</td> <td>Дата</td> <td>Лист</td> <td>Листов</td> <td>Масаж</td> </tr> <tr> <td colspan="4"></td> <td></td> <td></td> <td></td> </tr> </tbody> </table>							Ізм/Лист	№ докум/	Подл.	Дата	Лист	Листов	Масаж	<i>Вал-шестерня</i> <i>(Поковка)</i>				40	11		Ізм/Лист	№ докум/	Подл.	Дата	Лист	Листов	Масаж								Ізм/Лист	№ докум/	Подл.	Дата	Лист	Листов	Масаж							
Ізм/Лист	№ докум/	Подл.	Дата	Лист	Листов	Масаж																																										
<i>Вал-шестерня</i> <i>(Поковка)</i>				40	11																																											
Ізм/Лист	№ докум/	Подл.	Дата	Лист	Листов	Масаж																																										
Ізм/Лист	№ докум/	Подл.	Дата	Лист	Листов	Масаж																																										
<table border="1" style="width: 100%; border-collapse: collapse;"> <thead> <tr> <th>Ізм/Лист</th> <th>№ докум/</th> <th>Подл.</th> <th>Дата</th> <th>Лист</th> <th>Листов</th> <th>Масаж</th> </tr> </thead> <tbody> <tr> <td colspan="4" style="text-align: center;"><i>Сталь 40Х</i> <i>ДСТУ 7806:2015</i></td> <td style="text-align: center;">1</td> <td style="text-align: center;">1</td> <td></td> </tr> <tr> <td>Ізм/Лист</td> <td>№ докум/</td> <td>Подл.</td> <td>Дата</td> <td>Лист</td> <td>Листов</td> <td>Масаж</td> </tr> <tr> <td colspan="4"></td> <td></td> <td></td> <td></td> </tr> <tr> <td>Ізм/Лист</td> <td>№ докум/</td> <td>Подл.</td> <td>Дата</td> <td>Лист</td> <td>Листов</td> <td>Масаж</td> </tr> <tr> <td colspan="4"></td> <td></td> <td></td> <td></td> </tr> </tbody> </table>							Ізм/Лист	№ докум/	Подл.	Дата	Лист	Листов	Масаж	<i>Сталь 40Х</i> <i>ДСТУ 7806:2015</i>				1	1		Ізм/Лист	№ докум/	Подл.	Дата	Лист	Листов	Масаж								Ізм/Лист	№ докум/	Подл.	Дата	Лист	Листов	Масаж							
Ізм/Лист	№ докум/	Подл.	Дата	Лист	Листов	Масаж																																										
<i>Сталь 40Х</i> <i>ДСТУ 7806:2015</i>				1	1																																											
Ізм/Лист	№ докум/	Подл.	Дата	Лист	Листов	Масаж																																										
Ізм/Лист	№ докум/	Подл.	Дата	Лист	Листов	Масаж																																										
<table border="1" style="width: 100%; border-collapse: collapse;"> <thead> <tr> <th>Ізм/Лист</th> <th>№ докум/</th> <th>Подл.</th> <th>Дата</th> <th>Лист</th> <th>Листов</th> <th>Масаж</th> </tr> </thead> <tbody> <tr> <td colspan="4" style="text-align: center;"><i>Кафедра ТМ</i> <i>ПМ-20</i></td> <td style="text-align: center;">1</td> <td style="text-align: center;">1</td> <td></td> </tr> <tr> <td>Ізм/Лист</td> <td>№ докум/</td> <td>Подл.</td> <td>Дата</td> <td>Лист</td> <td>Листов</td> <td>Масаж</td> </tr> <tr> <td colspan="4"></td> <td></td> <td></td> <td></td> </tr> <tr> <td>Ізм/Лист</td> <td>№ докум/</td> <td>Подл.</td> <td>Дата</td> <td>Лист</td> <td>Листов</td> <td>Масаж</td> </tr> <tr> <td colspan="4"></td> <td></td> <td></td> <td></td> </tr> </tbody> </table>							Ізм/Лист	№ докум/	Подл.	Дата	Лист	Листов	Масаж	<i>Кафедра ТМ</i> <i>ПМ-20</i>				1	1		Ізм/Лист	№ докум/	Подл.	Дата	Лист	Листов	Масаж								Ізм/Лист	№ докум/	Подл.	Дата	Лист	Листов	Масаж							
Ізм/Лист	№ докум/	Подл.	Дата	Лист	Листов	Масаж																																										
<i>Кафедра ТМ</i> <i>ПМ-20</i>				1	1																																											
Ізм/Лист	№ докум/	Подл.	Дата	Лист	Листов	Масаж																																										
Ізм/Лист	№ докум/	Подл.	Дата	Лист	Листов	Масаж																																										

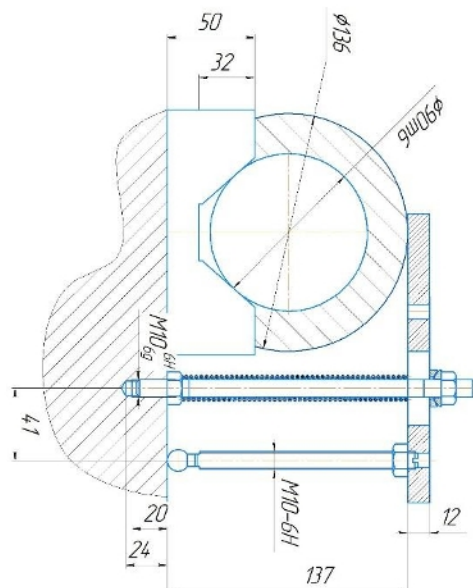


1) Допуск паралельності зошильної осі прями 7 відносно подовжні

A részletekkel

6

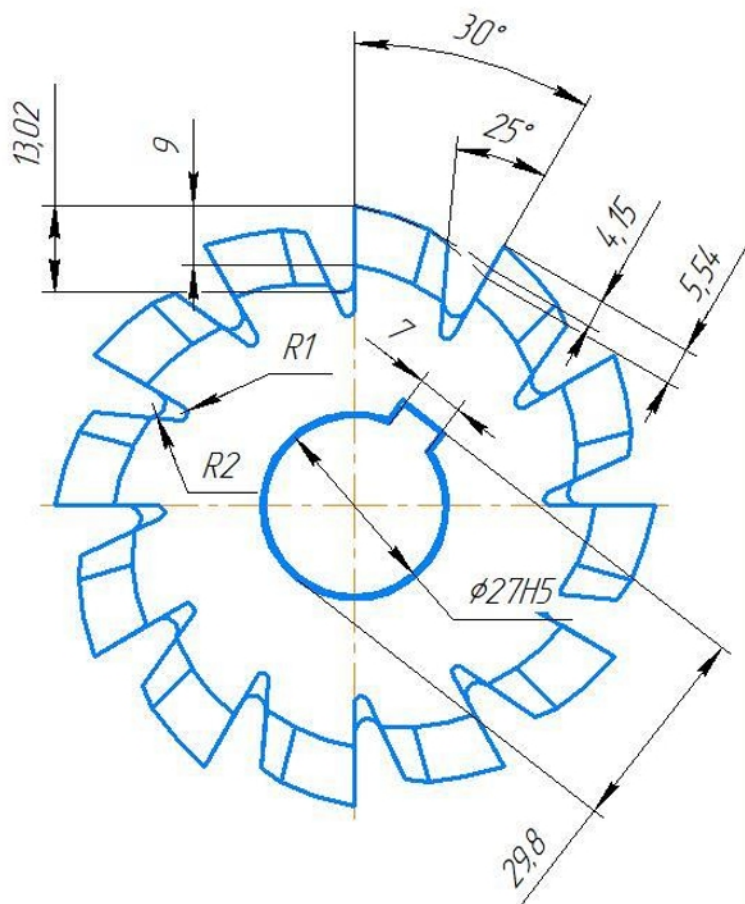
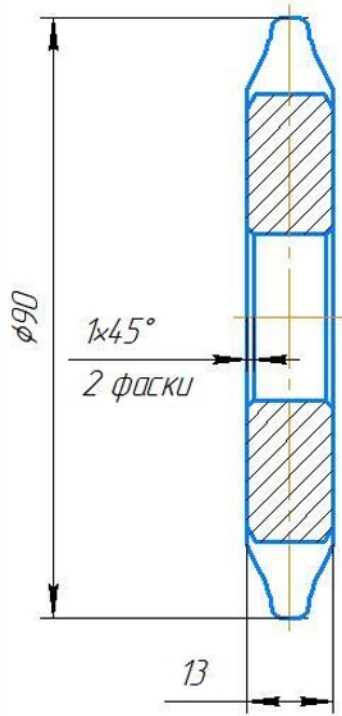
Б шок штокок 3 рівень 0,1 мм.  
3) Задіянути засувку на робочих підвергннях не допускається.



КНУ.КРБ.13124.1-06.ДМФ

Перв. примен.

Строй №



Инф. подл. Подл. и дата

Взам. инф. №

Инф. №

Подл. и дата

КНУ.КРБ.13124.1-06.ДМФ

Дисково-модульная  
фреза

Лит.	Масса	Масштаб
		1:1
Лист	Листов	
	1	

Инф. подл.

Изм. лист	№ докум.	Подп. дата
Разраб.	Журавель	
Проб.	Цывинда	
Т.контр.		
И.контр.	Рязанцев	
Утв.	Нечасев	

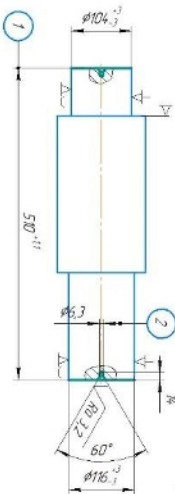
Сталь Р18  
ДСТУ 3833-98

Кафедра ТМ  
гр. ПМ-20

Не для коммерческого использования

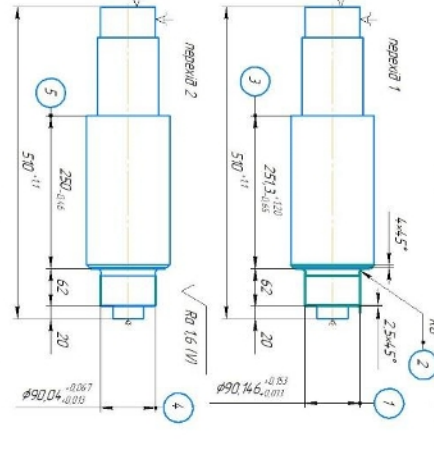
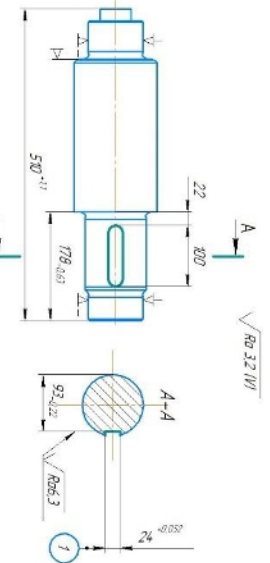
Копировал

Формат А4

$\sqrt{Ra 12.5 \text{ мк}}$ 

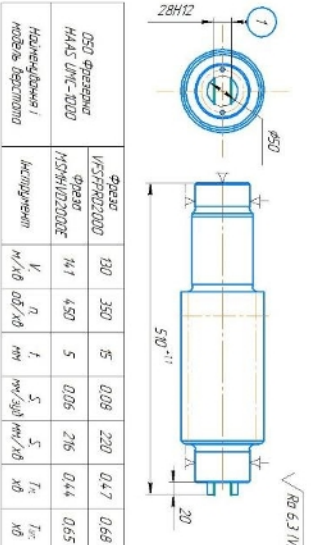
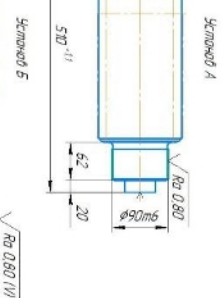
05-Фрезерование фасок	Фаска по углу 45°	865.9	340	4	0.05	51	0.28	0.65
05-Фрезерование под кр.-л.	Фреза №3 177x101x52x30	150	800	3.5	0.2	96	0.17	0.65
Направляющая /	Использование	V	n	t	s	T <sub>1</sub>	T <sub>2</sub>	T <sub>3</sub>
Модуль расстояния		m/кб	05/кб	мк	мк/зуб	мк/зуб	мк	мк

Чертеж № А

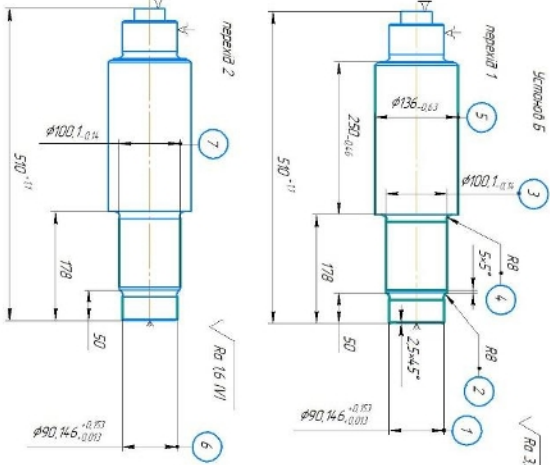
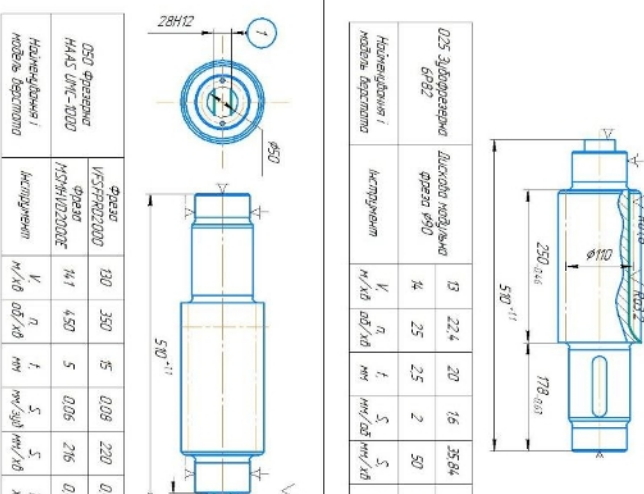
 $\sqrt{Ra 16 \text{ мк}}$ 

05-Фрезерование	Фреза	13	224	20	16	25.84	96	170.43
05-Фрезерование	Фреза	14	450	5	0.05	276	0.44	0.65
Направляющая /	Использование	V	n	t	s	T <sub>1</sub>	T <sub>2</sub>	T <sub>3</sub>
Модуль расстояния		m/кб	05/кб	мк	мк/зуб	мк/зуб	мк	мк

A

 $\sqrt{Ra 0.80 \text{ мк}}$ 

Чертеж № А

 $\sqrt{Ra 16 \text{ мк}}$ 

05-Красочное покрытие	Лакоматик 4002	226	60	0.1	0.02	96	0.27	3
Полотно	Полотно 320x200x2	18.9	60	0.1	0.02	54	0.27	
Направляющая /	Использование	V	n	t	s	T <sub>1</sub>	T <sub>2</sub>	T <sub>3</sub>
Модуль расстояния		m/кб	05/кб	мк	мк/зуб	мк/зуб	мк	мк

КНУКБР.1324.1-06.0

Параметр	Значение	Единица измерения	Номер	Номер
Параметр	178.1	мм	1	1

05-Токарение	Параметр	79.2	280	0.9	0.51	42.8	0.67	
Параметр	Параметр	178.1	630	0.13	0.25	57.5	0.42	0.28
Параметр	Параметр	175.9	560	0.4	0.22	123.2	148	
Направляющая /	Использование	V	n	t	s	T <sub>1</sub>	T <sub>2</sub>	T <sub>3</sub>
Модуль расстояния		m/кб	05/кб	мк	мк/зуб	мк/зуб	мк	мк

Нер. примен.	Формат	Зона	Поз.	Обозначение	Наименование	Кол.	Примечание
					Документация		
A4	1	КНУ.КРБ.131.23.1-06.П3		Пояснювальна записка		96	
<i>Креслення</i>							
A2	2	КНУ.КРБ.131.24.1-06.ВШ		Вал-шестерня		1	
A2	3	КНУ.КРБ.131.24.1-06.ІН		Інструментальне налагодження		1	
A4	4	КНУ.КРБ.131.24.1-06.ДМФ		Дискова-модульна фреза		1	
A3	5	КНУ.КРБ.131.24.1-06.ПДФО		Пристосування для фрезерної операції		1	
A3	6	КНУ.КРБ.131.24.1-06.ВШП		Вал-шестерня (Поковка)		1	
A1	7	КНУ.КРБ.131.24.1-06.ЕО		Ескізи операцій		1	
Инф. № подл.	Подл. и дата	Взам. инф. №	Инф. № обм.	Подл. и дата			
Изм. Лист	№ докум.	Подп.	Дата				
Разраб.	Журавель						
Проф.	Цибінда						
Н.контр.	Рязанцев						
Утв.	Нечаев						
<b>КНУ.КРБ.131.24.1-06.ВМКРБ</b>							
Відомість				Лит.	Лист	Листові	
матеріалів КРБ				1			
Кафедра ТМ							
гр. ПМ-20							
Не для коммерческого использования				Копировал			
					Формат	A4	

Спраб. №	Перф. примен.	Формат Зона Лінз.	Обозначене	Наименование	Кол.	Приме- чанне
A2	1	KHЧ.KБР.131.24.1-06.ФРП	Фрагмент редуктора повороту	1		
A2	2	KHЧ.KБР.131.24.1-06.ВШ	Вал-шестерня	1		
A2	3	KHЧ.KБР.131.24.1-06.ІН	Інструментальне налагодження	1		
A4	4	KHЧ.KБР.131.24.1-06.ДМФ	Дискова-модульна фреза	1		
A3	5	KHЧ.KБР.131.24.1-06.ПДФО	Пристосування для фрезерної операції	1		
A3	6	KHЧ.KБР.131.24.1-06.ВШП	Вал-шестерня (Поковка)	1		
A1	7	KHЧ.KБР.131.24.1-06.ЕО	Ескізи операцій	1		
A2						
A2						
Інд. № подл.						
Інд. № даних						
Взам. інф. №						
Подл. у данах						
Подл. у вимір.						
Інд. № подл.						
Ізм. Лист						
№ докум.						
Подп.						
Дата						
KHЧ.KБР.131.24.1-06.ВЕД						
Инд. № подл.	Ізм. Лист	№ докум.	Подп.	Дата	Лит.	Лист
Разраб.	Журавель				I	
Пров.	Цивінда					1
Н.контр.	Рязанцев					
Утв.	Нечасєв					
Відомість електронних					Листові	
документів ПК					ІН	
Кафедра ТМ						
гр. ПМ-20						